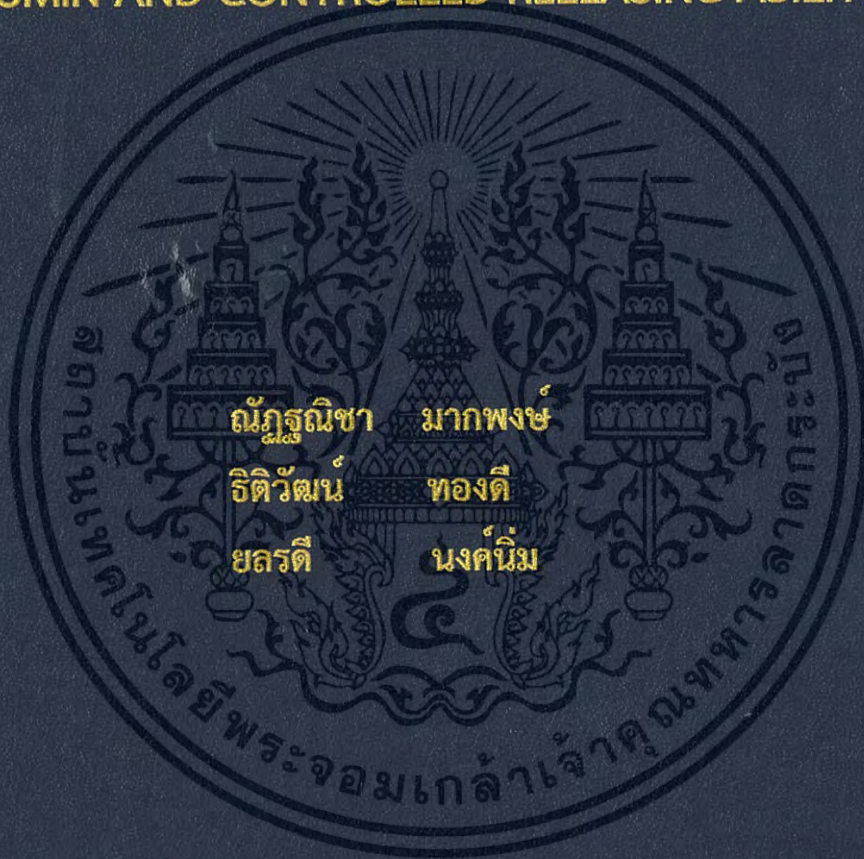


การเตรียมโคโตซานห่อหุ้มขมิ้นชันและความสามารถในการควบคุมการปลดปล่อย

PREPARATION OF CHITOSAN ENCAPSULATED
CURCUMIN AND CONTROLLED RELEASING ABILITY



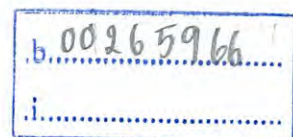
โครงการพิเศษนี้เป็นส่วนหนึ่งของการศึกษาตามหลักสูตร
ปริญญาวิทยาศาสตรบัณฑิต (เคมีอุตสาหกรรม)
ภาควิชาเคมี คณะวิทยาศาสตร์
สถาบันเทคโนโลยีพระจอมเกล้าเจ้าคุณทหารลาดกระบัง
ปีการศึกษา 2558

การเตรียมโคโตซานห่อหุ้มขมิ้นชันและความสามารถในการควบคุมการปลดปล่อย

PREPARATION OF CHITOSAN ENCAPSULATED CURCUMIN AND CONTROLLED RELEASING ABILITY



ณัฐธินิชา มากพงษ์
ธิติวัดน์ ทองดี
ยลรดี นงคินันท์



TB00248

โครงการพิเศษนี้เป็นส่วนหนึ่งของการศึกษาตามหลักสูตร
ปริญญาวิทยาศาสตรบัณฑิต (เคมีอุตสาหกรรม)
ภาควิชาเคมี คณะวิทยาศาสตร์
สถาบันเทคโนโลยีพระจอมเกล้าเจ้าคุณทหารลาดกระบัง

เอกสารนี้เป็นเอกสารที่สงวนไว้สำหรับการใช้งานภายในเท่านั้น ไม่อนุญาตให้นำไปใช้ประโยชน์ด้านการค้า
ไม่ว่ากรณีใดๆ ทั้งสิ้น อีกทั้งห้ามมิให้ดัดแปลงเนื้อหา และต้องอ้างอิงถึงเจ้าของเอกสารทุกครั้งที่มีการนำไปใช้

PREPARATION OF CHITOSAN ENCAPSULATED CURCUMIN AND CONTROLLED RELEASING ABILITY



A SPECIAL PROJECT SUBMITTED IN PARTIAL FULFILLMENT OF
THE REQUIREMENT FOR
THE DEGREE OF BACHELOR OF SCIENCE (INDUSTRIAL CHEMISTRY)
DEPARTMENT OF CHEMISTRY, FACULTY OF SCIENCE
KING MONGKUT'S INSTITUTE OF TECHNOLOGY LADKRABANG

เอกสารนี้เป็นเอกสารที่สงวนไว้สำหรับการศึกษาเท่านั้น
ACADEMIC YEAR 2015
อนุญาตให้นำไปใช้ประโยชน์ด้านการค้า
ไม่ว่ากรณีใดๆ ทั้งสิ้น อีกทั้งห้ามมิให้ดัดแปลงเนื้อหา และต้องอ้างอิงถึงเจ้าของเอกสารทุกครั้งที่มีการนำไปใช้

หัวข้อโครงการพิเศษ การเตรียมโคโตซานห่อหุ้มขมิ้นชันและความสามารถในการควบคุมการปลดปล่อย
Preparation of Chitosan Encapsulated Curcumin and Controlled Releasing Ability

ชื่อนักศึกษา นางสาวณัฏฐณิชา มากพงษ์ รหัสนักศึกษา 55050640
นายธิตวิวัฒน์ ทองดี รหัสนักศึกษา 55050687
นางสาวยลรดี นงคณิม รหัสนักศึกษา 55050777

ปริญญา วิทยาศาสตร์บัณฑิต (เคมีอุตสาหกรรม)
ภาควิชา เคมี
ปีการศึกษา 2558
อาจารย์ที่ปรึกษา ผศ.ดร.ปณณมา ศิริพันธ์โนน

คณะวิทยาศาสตร์ สถาบันเทคโนโลยีพระจอมเกล้าเจ้าคุณทหารลาดกระบัง (สจล.) อนุมัติให้โครงการพิเศษนี้เป็นส่วนหนึ่งของการศึกษาตามหลักสูตรปริญญาวิทยาศาสตรบัณฑิต (เคมีอุตสาหกรรม) ประจำปีการศึกษา 2558

คณะกรรมการสอบ	ลายมือชื่อ
รศ.ดร.อิทธิพล แจ่มจัต ประธานกรรมการ	
ผศ.ดร.สุภารัตน์ รักชลธิ กรรมการ	
ผศ.ดร.ปณณมา ศิริพันธ์โนน กรรมการและอาจารย์ที่ปรึกษา	

ลิขสิทธิ์ของคณะวิทยาศาสตร์

เอกสารนี้เป็นเอกสารที่สงวนลิขสิทธิ์ไว้เพื่อการศึกษาเท่านั้น มิอนุญาติให้นำไปใช้ประโยชน์ด้านการค้าไม่ว่ากรณีใดๆ ทั้งสิ้น อีกทั้งห้ามมิให้ดัดแปลงเนื้อหา และต้องอ้างอิงถึงเจ้าของเอกสารทุกครั้งที่มีการนำไปใช้

หัวข้อโครงการพิเศษ	การเตรียมโคโตซานห่อหุ้มขมื่นชั้นและความสามารถในการควบคุมการปลดปล่อย	
ชื่อนักศึกษา	นางสาวณัฐธนิชา มากพงษ์	รหัสนักศึกษา 55050640
	นายธิติวัดน์ ทองดี	รหัสนักศึกษา 55050687
	นางสาวยลรดี นงศ์นิม	รหัสนักศึกษา 55050777
ปริญญา	วิทยาศาสตร์บัณฑิต (เคมีอุตสาหกรรม)	
ภาควิชา	เคมี	
คณะ	วิทยาศาสตร์	
มหาวิทยาลัย	สถาบันเทคโนโลยีพระจอมเกล้าเจ้าคุณทหารลาดกระบัง (สจล.)	
ปีการศึกษา	2558	
อาจารย์ที่ปรึกษา	ผศ.ดร.ปยุตต์มา ศิริพันธ์โนน	

บทคัดย่อ

งานวิจัยนี้ศึกษาการเตรียมอนุภาคโคโตซานที่บรรจุขมื่นชั้น ในชั้นแรกเตรียมอนุภาคโคโตซานจากสารละลายโคโตซานเข้มข้น 6% (w/v) ในสารละลายกรดอะซิติกเข้มข้น 2% (v/v) สารละลายโคโตซานจะถูกหยดลงในสารเชื่อมโยง 2 ระบบ ได้แก่ โซเดียมไตรฟอสเฟต (STPP) และ โซเดียมโดเดซิลซัลเฟต (SDS) เข้มข้น 3 4 5 และ 6% (w/v) อนุภาคโคโตซานที่เตรียมได้ถูกนำไปทำแห้งแบบเยือกแข็ง (Freeze dry) เป็นเวลา 48 ชั่วโมง การบรรจุขมื่นชั้นลงในอนุภาคโคโตซานทำโดยนำอนุภาคโคโตซานแช่ลงในสารละลายขมื่นชั้นเข้มข้น 50 mg/l ในตัวทำละลายน้ำผสมเอทานอลสำหรับอนุภาคโคโตซานที่เชื่อมโยงด้วย STPP (Chi-STPP) และน้ำมันมะพร้าวสำหรับอนุภาคโคโตซานที่เชื่อมโยงด้วย SDS (Chi-SDS) เป็นเวลา 24 ชั่วโมง เมื่อนำอนุภาคโคโตซานบรรจุขมื่นชั้นมาตรวจวิเคราะห์ด้วยเทคนิคต่าง ๆ พบว่า ลักษณะสัณฐานวิทยาของ Chi-STPP มีลักษณะเป็นเม็ดทรงกลม สีขาวเหลืองขุ่น ขนาดเล็ก และมีความคงตัวของรูปร่าง ส่วน Chi-SDS มีลักษณะค่อนข้างเป็นทรงกลม สีเหลืองอ่อน มีการจับกันเป็นกลุ่มก้อน และมีบางส่วนมีลักษณะเป็นแผ่นฟิล์มบางเชื่อมอนุภาค ไม่มีความคงตัวของรูปร่าง จากการวิเคราะห์สมบัติทางความร้อนพบว่าค่า T_m พื้นที่ใต้พีคการหลอมเหลว และเสถียรภาพทางความร้อนของ Chi-STPP มีค่าสูงกว่า Chi-SDS ส่วนการเพิ่มความเข้มข้นของสารเชื่อมโยงทั้ง 2 ระบบไม่ส่งผลต่อการเปลี่ยนแปลงสมบัติทางความร้อนของอนุภาคโคโตซานอย่างมีนัยสำคัญ การบรรจุขมื่นชั้นลงในอนุภาคโคโตซานที่เตรียมได้ พบว่าอนุภาค Chi-STPP มีความสามารถในการบรรจุขมื่นชั้นได้มากกว่าอนุภาค Chi-SDS โดยเมื่อปรับเปลี่ยนความเข้มข้นของสารเชื่อมโยงทั้ง 2 ระบบพบว่า ความสามารถในการบรรจุขมื่นชั้นของอนุภาคโคโตซานไม่แตกต่างกันอย่างมีนัยสำคัญ เมื่อนำอนุภาคโคโตซานบรรจุขมื่นชั้นมาทำการทดสอบการปลดปล่อยขมื่นชั้นในสารละลายจำลองสภาวะน้ำย่อยในกระเพาะอาหาร (Simulated gastric fluid, SGF) ค่า pH 1.2 ที่อุณหภูมิ 37°C เป็นระยะเวลา 24 ชั่วโมง พบว่าอนุภาค Chi-STPP สามารถปลดปล่อยขมื่นชั้นได้ ~5% ส่วน Chi-SDS สามารถปลดปล่อยได้ ~50% ของปริมาณเริ่มต้น

คำสำคัญ : การเชื่อมโยง การบรรจุขมื่นชั้น การปลดปล่อย โคโตซาน

เอกสารนี้เป็นลิขสิทธิ์ของสถาบันเทคโนโลยีพระจอมเกล้าเจ้าคุณทหารลาดกระบัง ไม่อนุญาตให้นำไปใช้ประโยชน์ด้านการค้าไม่ว่ากรณีใดๆ ทั้งสิ้น อีกทั้งห้ามมิให้ดัดแปลงเนื้อหา และต้องอ้างอิงถึงเจ้าของเอกสารทุกครั้งที่มีการนำไปใช้

Title	Preparation of Chitosan Encapsulated Curcumin and Controlled Releasing Ability	
Students	Miss Natthanicha Makpong	Student ID 55050640
	Mr. Thitiwat Thongdee	Student ID 55050687
	Miss Yonradee Nongnim	Student ID 55050777
Degree	Bachelor of Science (Industrial Chemistry)	
Department	Chemistry	
Faculty	Science	
University	King Mongkut's Institute of Technology Ladkrabang (KMITL)	
Academic Year	2015	
Advisor	Asst.Prof.Dr. Punnama Siriphannon	

Abstract

This research studied on preparation of chitosan encapsulated curcumin. Firstly, the chitosan particles were prepared from 6% (w/v) chitosan solution in 2% (v/v) acetic acid solution. The chitosan solution was dropped in 2 crosslinking agents, i.e. sodium tripolyphosphate (STPP) and sodium dodecyl sulfate (SDS), having concentration of 3, 4, 5 and 6% (w/v). As-prepared chitosan particles were freeze-dried for 48 h. The curcumin loaded chitosan particles were performed by soaking particles in 50 mg/l curcumin solution in mixed solvent of water and ethanol for chitosan particles crosslinked with STPP (Chi-STPP) and in coconut oil for chitosan particles crosslinking with SDS (Chi-SDS) for 24 h. Morphology of Chi-STPP was small white-yellow opaque spherical particles having stability in shape. While, the Chi-SDS was pale-yellow spherical agglomerated particles and partially bind with thin film, no stability in shape. From DSC analysis, it was found that values of T_m , area under T_m peak and thermal stability of Chi-STPP were higher than those of Chi-SDS. The increase in concentration of crosslinking agents in both systems did not significantly affect on the changes of thermal properties of chitosan particles. In the loading of curcumin in the as-prepared chitosan particles, it was found that the Chi-STPP particles could load higher amount of curcumin than the Chi-SDS particles. The changes of concentration of both crosslinking agents did not significantly affect on the ability of curcumin loading. Curcumin releases from the curcumin loaded chitosan particles were tested by soaking the chitosan particles in simulated gastric fluid (SGF) with pH 1.2 at 37°C for 24 h. It was found that the Chi-STPP could release

เอกสารนี้เป็นเอกสารที่สงวนไว้สำหรับการใช้งานเพื่อการศึกษาเท่านั้น ไม่อนุญาตให้นำไปใช้ประโยชน์ด้านการค้า
ไม่ว่ากรณีใดๆ ทั้งสิ้น อีกทั้งห้ามมิให้ดัดแปลงเนื้อหา และต้องอ้างอิงถึงเจ้าของเอกสารทุกครั้งที่มีการนำไปใช้

5% of curcumin, however, the Chi-SDS could release about 50% of initial loaded amount.

Keywords : Crosslinking, Curcumin loading, Release, Chitosan



เอกสารนี้เป็นเอกสารที่สงวนไว้สำหรับการใช้งานเพื่อการศึกษาเท่านั้น ไม่อนุญาตให้นำไปใช้ประโยชน์ด้านการค้า
ไม่ว่ากรณีใดๆ ทั้งสิ้น อีกทั้งห้ามมิให้ดัดแปลงเนื้อหา และต้องอ้างอิงถึงเจ้าของเอกสารทุกครั้งที่มีการนำไปใช้

กิตติกรรมประกาศ

โครงการพิเศษฉบับนี้สำเร็จลุล่วงได้ด้วยดี เนื่องมาจากความกรุณาและความร่วมมือของทุก ๆ ท่าน ขอขอบพระคุณ ผศ.ดร.ปุณณมา ศิริพันธ์โนน ที่คอยให้คำปรึกษาดูแลอย่างใกล้ชิดและให้ความช่วยเหลือแนะนำที่ดีในการปรับปรุงข้อบกพร่องในการทำโครงการพิเศษ และขอขอบคุณกรรมการสอบโครงการพิเศษ คือ รศ.ดร.อิทธิพล แจ่มชัด และ ผศ.ดร.สุภารัตน์ รักชลธิ์ ที่ให้ข้อคิดเห็นและคำแนะนำช่วยเหลือในการทำโครงการพิเศษให้สำเร็จลุล่วงไปด้วยดี

ขอขอบพระคุณอาจารย์ภาควิชาเคมี คณะวิทยาศาสตร์ สถาบันเทคโนโลยีพระจอมเกล้าเจ้าคุณทหารลาดกระบัง ทุกท่านที่ประสิทธิ์ประสาทวิชาความรู้และให้คำปรึกษา

ขอขอบพระคุณนักวิทยาศาสตร์ เจ้าหน้าที่ภาควิชาเคมี และศูนย์เครื่องมือ คณะวิทยาศาสตร์ ทุกท่านที่เอื้อเฟื้อความสะดวกในเรื่องอุปกรณ์และสารเคมี ตลอดจนเครื่องมือต่าง ๆ

ขอขอบคุณศูนย์เครื่องมือวิทยาศาสตร์จุฬาลงกรณ์มหาวิทยาลัยที่ให้ความอนุเคราะห์ในการทดสอบ DSC

ขอขอบพระคุณ ครอบครัว พี่ ๆ เพื่อน ๆ และน้อง ๆ สำหรับกำลังใจ ความห่วงใย ความปรารถนาดีและทุก ๆ ความช่วยเหลือในขณะทำงานวิจัย ทำให้งานสำเร็จลุล่วงไปด้วยดี

ขอขอบคุณอย่างยิ่งสำหรับกำลังใจ ความเอาใจใส่ ความรักและแรงผลักดันจากบิดา มารดา สำหรับคุณงามความดีอันใดที่เกิดจากโครงการพิเศษฉบับนี้คณะผู้จัดทำขอมอบให้ทุก ๆ ความปรารถนาดีและความห่วงใยจากทุก ๆ ท่านที่มีต่อคณะผู้จัดทำตลอดมา

ณัฐธินิชา

ธิติวัดน์

ยลรดี

มากพงษ์

ทองดี

นงคินิม

สารบัญ

	หน้า
บทคัดย่อภาษาไทย.....	ก
บทคัดย่อภาษาอังกฤษ.....	ข
กิตติกรรมประกาศ.....	ง
สารบัญ.....	จ
สารบัญตาราง.....	ช
สารบัญรูป.....	ซ
บทที่ 1 บทนำ.....	1
1.1 ความสำคัญและที่มาของงานวิจัย.....	1
1.2 วัตถุประสงค์ของงานวิจัย.....	2
1.3 ขอบเขตของงานวิจัย.....	2
1.4 ประโยชน์ที่คาดว่าจะได้รับ.....	3
บทที่ 2 ทฤษฎีและงานวิจัยที่เกี่ยวข้อง.....	4
2.1 ไคโตซาน (Chitosan).....	4
2.1.1 สมบัติทางเคมีและสมบัติทางกายภาพ.....	5
2.1.2 การประยุกต์ใช้งานไคโตซาน.....	7
2.1.3 การปลดปล่อยสารจากอนุภาคไคโตซาน.....	8
2.2 สารเชื่อมโยง (Crosslinking agents).....	8
2.2.1 โซเดียมไตรพอลิฟอสเฟต (Sodium tripolyphosphate, STPP).....	8
2.2.2 โซเดียมโดเดซิลซัลเฟต (Sodium dodecyl sulfate, SDS).....	9
2.3 ขมิ้นชัน.....	11
2.4 กระบวนการห่อหุ้มสารให้อยู่ในรูปของแคปซูลด้วยพอลิเมอร์.....	13
2.5 งานวิจัยที่เกี่ยวข้อง.....	14
บทที่ 3 วิธีดำเนินการวิจัย.....	19
3.1 สารเคมี.....	19
3.2 เครื่องมือและอุปกรณ์.....	19
3.3 การดำเนินการทดลอง.....	20
3.3.1 การเตรียมอนุภาคไคโตซานที่เชื่อมโยงด้วย STPP และ SDS.....	20
3.3.2 การบรรจุขมิ้นชันในอนุภาคไคโตซาน.....	23
3.3.3 การปลดปล่อยขมิ้นชันจากอนุภาคไคโตซานบรรจุขมิ้นชัน.....	25
3.3.4 การตรวจวิเคราะห์ห้อนุภาคไคโตซานก่อนและหลังบรรจุขมิ้นชัน.....	25

เอกสารนี้เป็นเอกสารที่สงวนไว้สำหรับการใช้งานเพื่อการศึกษาเท่านั้น ไม่อนุญาตให้นำไปใช้ประโยชน์ด้านการค้า
ไม่ว่ากรณีใดๆ ทั้งสิ้น อีกทั้งห้ามมิให้ดัดแปลงเนื้อหา และต้องอ้างอิงถึงเจ้าของเอกสารทุกครั้งที่มีการนำไปใช้

สารบัญ(ต่อ)

	หน้า
บทที่ 4 ผลการทดลองและการอภิปรายผล	26
4.1 การเตรียมอนุภาคโคโตซาน	26
4.1.1 ลักษณะทางกายภาพและสัณฐานวิทยาของอนุภาคโคโตซาน	26
4.1.2 การตรวจวิเคราะห์ห้อนุภาคโคโตซานด้วยเทคนิคต่าง ๆ	32
4.2 การบรรจุขมึ้นชั้นในอนุภาคโคโตซาน	36
4.3 การปลดปล่อยขมึ้นชั้นของอนุภาคโคโตซาน	39
บทที่ 5 สรุปผลการวิจัยและข้อเสนอแนะ	43
5.1 สรุปผลการวิจัย	43
5.2 ข้อเสนอแนะ	43
เอกสารอ้างอิง	44



เอกสารนี้เป็นเอกสารที่สงวนไว้สำหรับการใช้งานเพื่อการศึกษาเท่านั้น ไม่อนุญาตให้นำไปใช้ประโยชน์ด้านการค้า
ไม่ว่ากรณีใดๆ ทั้งสิ้น อีกทั้งห้ามมิให้ดัดแปลงเนื้อหา และต้องอ้างอิงถึงเจ้าของเอกสารทุกครั้งที่มีการนำไปใช้

สารบัญตาราง

ตารางที่	หน้า
2.1 สมบัติของโซเดียมไตรฟอสเฟต	9
2.2 สมบัติของโซเดียมโตะเดซิลซัลเฟต.....	10
3.1 ตัวอย่างอนุภาคโคโตซานที่เชื่อมโยงด้วย SDS หรือ STPP	21
4.1 ตำแหน่งเลขคลื่นแสดงฟิสิกการสั่นของหมู่ฟังก์ชันสำคัญของอนุภาคโคโตซาน	33
4.2 อุณหภูมิหลอมเหลว (T_m) และพื้นที่ใต้ฟิสิกของอนุภาคโคโตซาน	34
4.3 ปริมาณไขมันชั้นที่บรรจุในอนุภาคโคโตซาน	37
4.4 การปลดปล่อยไขมันชั้นจากอนุภาคโคโตซานในสารละลาย SGF ที่ใช้สารเชื่อมโยงต่างชนิดกัน 2 ระบบ ที่เวลาต่าง ๆ.....	39
4.5 การปลดปล่อยไขมันชั้นจากอนุภาคโคโตซานในสารละลาย SGF ที่ใช้สารเชื่อมโยงต่างชนิดกัน 2 ระบบ เมื่อรวมระยะเวลา 24 ชั่วโมง	40



สารบัญรูป

รูปที่	หน้า
2.1 โครงสร้างทางเคมีของโคตินและโคโตซาน.....	4
2.2 โครงสร้างทางเคมีของโซเดียมไตรฟอสเฟต.....	9
2.3 โครงสร้างทางเคมีของโซเดียมโอดีซิลซัลเฟต.....	10
2.4 โครงสร้างทางเคมีของสารลดแรงตึงผิว	10
2.5 โครงสร้างทางเคมีของสารลดแรงตึงผิวในน้ำ.....	11
2.6 สูตรโครงสร้างเคมีของสารเคอร์คูมินอยด์	12
3.1 แผนภาพแสดงการเตรียมอนุภาคโคโตซานที่เชื่อมโยงโดย STPP หรือ SDS.....	22
3.2 แผนภาพแสดงการบรรจุชั้นในอนุภาคโคโตซาน.....	24
4.1 ลักษณะทางกายภาพหลังจากการทำแห้งแบบเยือกแข็งของ (A) Chi-T3, (B) Chi-T4, (C) Chi-T5, (D) Chi-T6, (E) Chi-S3, (F) Chi-S4, (G) Chi-S5 และ (H) Chi-S6.....	26
4.2 ลักษณะทางสัณฐานวิทยาจากกล้องจุลทรรศน์อิเล็กตรอนแบบส่องกราด (SEM) โดยแสดงพื้นผิวภายในและภายนอกของ (A-B) Chi-T3, (C-D) Chi-T4, (E-F) Chi-T5 และ (G-H) Chi-T6	28
4.3 ลักษณะทางสัณฐานวิทยาจากกล้องจุลทรรศน์อิเล็กตรอนแบบส่องกราด (SEM) โดยแสดงพื้นผิวภายในและภายนอกของ (A-B) Chi-S3, (C-D) Chi-S4, (E-F) Chi-S5 และ (G-H) Chi-S6.....	29
4.4 แผนภาพแสดงกลไกในการก่อตัวของอนุภาคโคโตซานทั้ง 2 ระบบที่ใช้สารเชื่อมโยง (A) STPP และ (B) SDS.....	31
4.5 สเปกตรัม FT-IR ของ (A) โคโตซานเริ่มต้น (B) อนุภาคโคโตซาน Chi-T3 และ (C) อนุภาคโคโตซาน Chi-S3.....	32
4.6 TGA เทอร์โมแกรมของอนุภาคโคโตซานที่เชื่อมโยงด้วย STPP	35
4.7 TGA เทอร์โมแกรมของอนุภาคโคโตซานที่เกิดจากสารเชื่อมโยง SDS	35
4.8 ลักษณะทางกายภาพอนุภาคโคโตซานบรรจุชั้นของ (A) Chi-T3, (B) Chi-T4, (C) Chi-T5, (D) Chi-T6, (E) Chi-S3, (F) Chi-S4, (G) Chi-S5 และ (H) Chi-S6.....	37
4.9 แผนภาพแสดงกลไกการบรรจุชั้นของอนุภาคโคโตซานทั้ง 2 ระบบที่ใช้สารเชื่อมโยง (A) STPP และ (B) SDS.....	38
4.10 กราฟมาตรฐานไขมันชั้นของ (A) ไขมันชั้นที่ละลายในน้ำมันมะพร้าว และ (B) ไขมันชั้นที่ละลายในน้ำผสมเอทานอล	40
4.11 การปลดปล่อยไขมันในสารละลาย SGF ของอนุภาคโคโตซานในระบบที่ใช้ STPP	41
4.12 การปลดปล่อยไขมันในสารละลาย SGF ของอนุภาคโคโตซานในระบบที่ใช้ SDS	41

เอกสารนี้เป็นเอกสารที่สงวนไว้สำหรับการใช้งานเพื่อการศึกษาเท่านั้น ไม่อนุญาตให้นำไปใช้ประโยชน์ด้านการค้าไม่ว่ากรณีใดๆ ทั้งสิ้น อีกทั้งห้ามมิให้ดัดแปลงเนื้อหา และต้องอ้างอิงถึงเจ้าของเอกสารทุกครั้งที่มีการนำไปใช้

บทที่ 1

บทนำ

1.1 ความสำคัญและที่มาของงานวิจัย

ระบบนำส่งยา (Drug delivery system) คือ การเตรียมยาในรูปแบบต่าง ๆ ที่สามารถควบคุมให้ปลดปล่อยยาในอัตราและปริมาณที่กำหนด และสามารถนำยาไปยังอวัยวะ หรือบริเวณเป้าหมายในร่างกายได้ตามต้องการ เพื่อทำให้เกิดผลสูงสุดในการรักษาและลดผลข้างเคียง [1] พอลิเมอร์นับเป็นองค์ประกอบสำคัญอันหนึ่ง ในระบบนำส่งยา ที่ช่วยควบคุมให้การปลดปล่อยยาเป็นไปตามต้องการ โดยทำหน้าที่ใน 3 ลักษณะใหญ่ ๆ คือ เป็นสารช่วยควบคุมการปลดปล่อยให้เกิดการปลดปล่อยอย่างช้า ๆ และคงที่ในปริมาณที่ต้องการ เป็นตัวช่วยป้องกัน และนำส่งยาไปยังบริเวณเป้าหมายในร่างกาย โดยไม่ทำให้เกิดการปลดปล่อย หรือตัวยาถูกทำลายไปก่อน ทั้งนี้พอลิเมอร์ที่เลือกใช้ต้องมีสมบัติทางชีวภาพสำคัญคือ มีความเข้ากันได้กับเนื้อเยื่อในร่างกาย และสามารถย่อยสลายในร่างกายได้ เมตาบอไลต์ (Metabolite) จากการย่อยสลายที่ไปเป็นองค์ประกอบของเนื้อเยื่อเกี่ยวพัน จึงทำให้ไม่เป็นพิษ [2]

สารพอลิเมอร์ธรรมชาติที่สนใจคือ ไคโตซานเป็นพอลิเมอร์ที่ไม่มีความเป็นพิษ สามารถย่อยสลายเองได้ตามธรรมชาติ และจัดเป็นอนุพันธ์หนึ่งของไคติน ไคโตซานมีสมบัติที่ไม่ละลายน้ำแต่ละลายได้ในกรดอ่อน [3] มีความอ่อนตัวสามารถขึ้นรูปเป็นเจล เม็ด เส้นใย หรือคอลลอยด์ รวมถึงสามารถนำไปใช้ประโยชน์ได้หลากหลาย เช่น การรักษาบาดแผล การลดระดับคอเลสเตอรอลในเลือด การกระตุ้นระบบภูมิคุ้มกัน และไคโตซานเป็นสารที่สามารถเข้ากันได้กับร่างกาย [4]

ในปัจจุบันขมิ้นชันเป็นสมุนไพรที่มีมาแต่โบราณและได้รับความนิยมเป็นอย่างมาก มีชื่อทางวิทยาศาสตร์ว่า *Curcuma longa* Linn อยู่ในวงศ์ Zingiberaceae นิยมนำมาใช้แต่งสีแต่งกลิ่น และรสชาติของอาหารให้มีความน่ารับประทานและมีคุณค่าทางโภชนาการมากยิ่งขึ้น การใช้ขมิ้นชันเป็นแหล่งสีธรรมชาติเนื่องจากให้ความปลอดภัย และยังมีวิตามิน แร่ธาตุหลายชนิดที่เป็นประโยชน์ต่อร่างกาย ตลอดจนเป็นสมุนไพรที่มีคุณค่าต่อสุขภาพและรักษาโรค เช่น สมานแผลในกระเพาะอาหาร ลดการอักเสบ ต้านการแพ้ ลดการบีบตัวของลำไส้ ลดอาการแน่นจุกเสียด ต้านแบคทีเรีย ต้านปรสิต ต้านเชื้อรา เป็นต้น เรียกได้ว่าเป็นทั้งอาหารและยา ที่มีความเป็นพิษต่ำ และผลข้างเคียงน้อย แต่ขมิ้นชันมีความสามารถในการละลายน้ำได้ต่ำทำให้เมื่อเข้าสู่ร่างกายมนุษย์จะดูดซึมได้ในปริมาณน้อย ไม่คงตัวในสถานะต่าง ถูกกำจัดโดยระบบต่าง ๆ ของร่างกายได้อย่างรวดเร็ว ทำให้ประสิทธิภาพของขมิ้นชันในทางการแพทย์ลดลง ทำให้ต้องใช้ขมิ้นชันในปริมาณมากและรับประทานบ่อยครั้ง [5]

เอกสารนี้เป็นเอกสารที่สงวนไว้สำหรับการใช้งานเพื่อการศึกษาเท่านั้น ไม่อนุญาตให้นำไปใช้ประโยชน์ด้านการค้า ไม่ว่าจะกรณีใดๆ ทั้งสิ้น อีกทั้งห้ามมิให้ดัดแปลงเนื้อหา และต้องอ้างอิงถึงเจ้าของเอกสารทุกครั้งที่มีการนำไปใช้

จากข้อจำกัดของไขมันชั้นข้างต้นงานวิจัยนี้จึงสนใจที่จะศึกษากระบวนการห่อหุ้มไขมันชั้นไว้ภายในโดยมีโคโตซานที่ผ่านการเชื่อมโยง (Crosslink) ทำหน้าที่เป็นเปลือกหุ้ม เพื่อรักษาไขมันชั้นที่บรรจุอยู่ภายในให้มีความคงตัว เนื่องจากโคโตซานที่มีการเชื่อมโยงด้วยสารเชื่อมโยงมีความคงตัวมากขึ้น ส่งผลให้ไขมันชั้นภายในเกิดการสลายตัวได้ยาก และสามารถควบคุมการปลดปล่อยไขมันชั้นที่อยู่ภายในออกมาในบริเวณที่ต้องการได้ โดยในงานวิจัยนี้สนใจศึกษาการปลดปล่อยไขมันชั้นที่กระเพาะอาหารซึ่งมีค่า pH 1.2

1.2 วัตถุประสงค์ของงานวิจัย

1. ศึกษาหาสภาวะและกระบวนการที่เหมาะสมในการเตรียมอนุภาคโคโตซานห่อหุ้มไขมันชั้น (Chitosan encapsulated curcumin, CEC)
2. ศึกษาความสามารถในการปลดปล่อยไขมันชั้นจากอนุภาค CEC ที่เตรียมได้

1.3 ขอบเขตของงานวิจัย

1. ศึกษากระบวนการเตรียมอนุภาคโคโตซานห่อหุ้มไขมันชั้น (CEC) โดยมีปัจจัยศึกษา ได้แก่
 - ชนิดสารเชื่อมโยง ได้แก่ สารละลายโซเดียมไตรพอลิฟอสเฟต (STPP) และสารละลายโซเดียมโดเดซิลซัลเฟต (SDS)
 - ความเข้มข้นสารเชื่อมโยง ได้แก่ 3 4 5 และ 6% (w/v)
 - ระบบการบรรจุไขมันชั้น
2. ศึกษาสภาวะและความสามารถในการปลดปล่อยไขมันชั้น
 - ทดสอบความสามารถในการปลดปล่อยไขมันชั้นจากกระบวนการเตรียมต่าง ๆ ในสารละลายจำลองสภาวะน้ำย่อยในกระเพาะอาหาร (Simulated gastric fluid, SGF) โดยควบคุมอุณหภูมิที่ 37°C
3. การตรวจวิเคราะห์อนุภาค CEC ที่เตรียมได้ด้วยเครื่องมือและวิธีการต่าง ๆ ได้แก่
 - เครื่องยูวี-วิสิเบิลสเปกโทรโฟโตมิเตอร์ (UV-Visible spectrophotometer, UV-Vis)
 - เครื่องฟูเรียรทรานสฟอร์มอินฟราเรดสเปกโทรโฟโตมิเตอร์ (Fourier transform-infrared spectrophotometer, FT-IR)
 - ดิฟเฟอเรนเชียลสแกนนิ่งแคลอริมิเตอร์ (Differential scanning calorimeter, DSC)
 - เครื่องวิเคราะห์การเปลี่ยนแปลงน้ำหนักของสารโดยอาศัยสมบัติทางความร้อน (Thermogravimetric analyzer, TGA)
 - กล้องจุลทรรศน์อิเล็กตรอนแบบส่องกราด (Scanning electron microscope, SEM)

เอกสารนี้เป็นเอกสารที่สงวนไว้สำหรับการใช้งานเพื่อการศึกษาเท่านั้น ไม่อนุญาตให้นำไปใช้ประโยชน์ด้านการค้าไม่ว่ากรณีใดๆ ทั้งสิ้น อีกทั้งห้ามมิให้ดัดแปลงเนื้อหา และต้องอ้างอิงถึงเจ้าของเอกสารทุกครั้งที่มีการนำไปใช้

1.4 ประโยชน์ที่คาดว่าจะได้รับ

1. สามารถพัฒนาการเตรียมอนุภาค CEC ด้วยวิธีการอย่างง่ายและเป็นมิตรต่อสิ่งแวดล้อม
2. ทราบถึงประสิทธิภาพในการบรรจุ และควบคุมการปลดปล่อยของอนุภาค CEC ที่เชื่อมโยงด้วยโซเดียมไตรฟอสเฟต และโซเดียมโตะเดซิลซัลเฟต
3. สามารถนำอนุภาค CEC ไปพัฒนาต่อยอดในทางการแพทย์



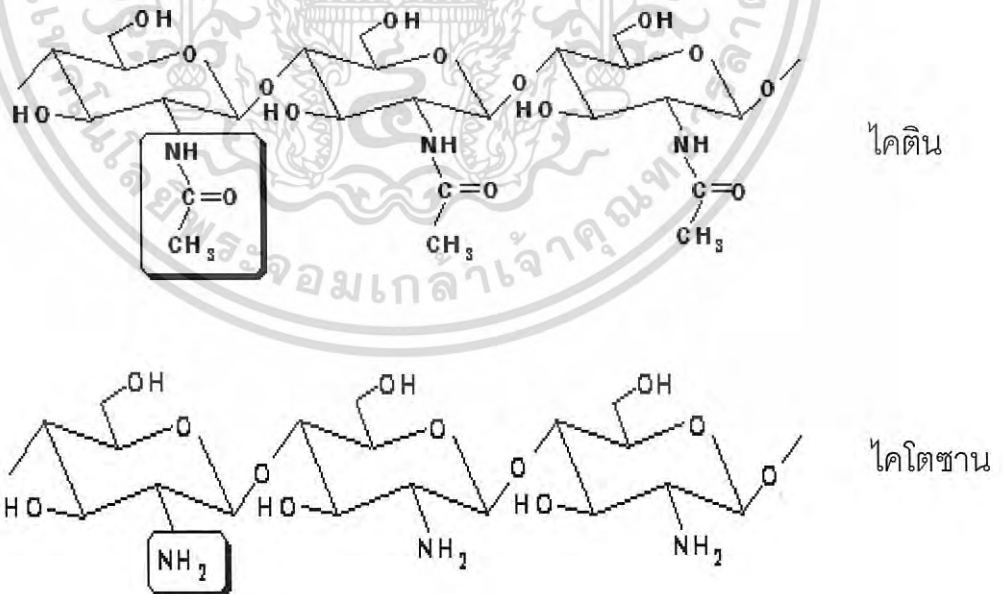
เอกสารนี้เป็นเอกสารที่สงวนไว้สำหรับการใช้งานเพื่อการศึกษาเท่านั้น ไม่อนุญาตให้นำไปใช้ประโยชน์ด้านการค้า
ไม่ว่ากรณีใดๆ ทั้งสิ้น อีกทั้งห้ามมิให้ดัดแปลงเนื้อหา และต้องอ้างอิงถึงเจ้าของเอกสารทุกครั้งที่มีการนำไปใช้

บทที่ 2

ทฤษฎีและงานวิจัยที่เกี่ยวข้อง

2.1 ไคโตซาน (Chitosan)

ไคโตซาน (Chitosan) เป็นสารพอลิเมอร์ธรรมชาติ ที่ไม่มีความเป็นพิษ สามารถย่อยสลายเองได้ตามธรรมชาติ และจัดเป็นอนุพันธ์หนึ่งของไคตินที่ผลิตได้จากการทำปฏิกิริยากับด่างเข้มข้นเพื่อกำจัดหมู่อะซิetyl (Acetyl) ปฏิกิริยาการกำจัดหมู่อะซิetyl เรียกว่า ดีอะซิetylเลชัน (Deacetylation) ไคตินจะพบมากในสิ่งมีชีวิตที่มีเปลือก หรือผนังแข็งหุ้มลำตัว เช่น กุ้ง ปู หอย แคนปลาหมึกแมลง เป็นต้น [6] โครงสร้างทางเคมีของไคตินและไคโตซานดังแสดงในรูปที่ 2.1 การกำจัดหมู่อะซิetylนี้มีผลต่อสมบัติและการทำงานของไคโตซานมีส่วนของโมเลกุลที่ว่องไวและมีหมู่ที่พร้อมจะทำปฏิกิริยาหลายหมู่นั้นคือ หมู่เอมีน (-NH₂) ตรงคาร์บอนตำแหน่งที่ 2 หมู่แอลกอฮอล์ (-OH) ตรงคาร์บอนตำแหน่งที่ 3 และ 6 ทำให้มีความสามารถในการรับโปรตอนจากสารละลายอื่นได้ง่ายขึ้น ไคโตซานมีสมบัติไม่ละลายน้ำแต่ละลายได้ในกรดอ่อน มีความอ่อนตัวสามารถขึ้นรูปเป็นเจล เม็ด เส้นใย หรือคอลลอยด์ รวมถึงสามารถนำไปใช้ประโยชน์ได้หลากหลาย เช่น การเร่งรักษาบาดแผล การลดระดับคอเลสเตอรอลในเลือด การกระตุ้นระบบภูมิคุ้มกัน เป็นต้น ไคโตซานมีความสามารถเข้ากันได้และสามารถสลายตัวได้ไม่เป็นอันตรายต่อร่างกาย [7]



รูปที่ 2.1 โครงสร้างทางเคมีของไคตินและไคโตซาน [6]

เอกสารนี้เป็นเอกสารที่สงวนไว้สำหรับการใช้งานเพื่อการศึกษาเท่านั้น ไม่อนุญาตให้นำไปใช้ประโยชน์ด้านการค้าไม่ว่ากรณีใดๆ ทั้งสิ้น อีกทั้งห้ามมิให้ดัดแปลงเนื้อหา และต้องอ้างอิงถึงเจ้าของเอกสารทุกครั้งที่มีการนำไปใช้

2.1.1 สมบัติทางเคมีและสมบัติทางกายภาพ

การละลาย (Solubility)

ไคโตซานประกอบด้วยหมู่เอมีโนจำนวนมากที่พร้อมจะทำปฏิกิริยากับกรดอินทรีย์ และกรดอนินทรีย์บางชนิด และเกิดเป็นเกลือที่ pH ประมาณ 6.5 กระบวนการเกิดปฏิกิริยาเกิดจากหมู่เอมีนของไคโตซานเข้ารับโปรตอนจากกรดแล้วเกิดเป็นพอลิแซ็กคาไรด์ที่มีประจุบวก (RNH_3^+) พร้อมได้เกลือของไคโตซานที่ละลายน้ำ ทั้งนี้ไคโตซานจะไม่ละลายในสารละลายที่เป็นกลางหรือมีความเป็นด่าง

สมบัติการละลายในกรดของไคโตซาน

1. ละลายได้น้อย เช่น กรดฟอร์มิก กรดอะซิติก กรดซาลิซิลิก และกรดโพรไพโอนิก
2. ละลายปานกลาง เช่น กรดลอริก กรดซิตริก กรดทาร์ทาริก กรดซัลฟูริก และกรดไฮโดรคลอริก
3. ละลายได้ดี เช่น กรดออกซาลิก กรดซัคซินิก และกรดเบนโซอิก [8]

ความสามารถในการตกตะกอน (Coagulating ability)

ไคโตซานเป็นตัวสร้างตะกอนและตัวตกตะกอนที่ดีเนื่องจากมีหมู่เอมีโนจำนวนมากที่สามารถแตกตัวเป็นประจุบวกและจับกับสารที่มีประจุลบได้ เช่น โปรตีน สีย้อมและพอลิเมอร์อื่น ๆ หรือโลหะหนักได้ โดยไนโตรเจนในหมู่เอมีนของไคโตซานจะทำหน้าที่เป็นตัวให้อิเล็กตรอนทำให้ออออนของโลหะสามารถสร้างพันธะเชิงซ้อนกับหมู่เอมีนได้ นอกจากนี้ยังพบว่าหมู่เอมีนในไคโตซานมีประสิทธิภาพในการจับกับไอออนของโลหะได้ดีกว่าหมู่เอมีนในไคติน ดังนั้นไคโตซานที่มีค่าองศาอะซิทิเลชันสูง จะมีอัตราการดูดซับหรือความสามารถในการจับกับไอออนของโลหะสูง ความสามารถในการดูดซับไอออนของไคโตซานยังขึ้นกับหลายปัจจัย เช่น ความเป็นผลึกและความสามารถในการดูดน้ำของไคโตซาน [8]

ค่าองศาอะซิทิเลชัน (Degree of Acetylation)

คุณลักษณะของไคโตซานถูกกำหนดไว้ด้วยค่าองศาอะซิทิเลชัน (Degree of acetylation, DA) ซึ่งมีความสัมพันธ์เกี่ยวกับสัดส่วนจำนวนของหมู่ N-acetylamine หรือค่าองศาดีอะซิทิเลชัน (Degree of deacetylation, DDA) ซึ่งมีความสัมพันธ์เกี่ยวกับสัดส่วนจำนวนของหมู่ D-glucosamine ในไคโตซาน ($\text{DDA} = 100 - \text{DA}$) โดยค่าองศาดีอะซิทิเลชันของไคตินที่มีค่าสูงกว่า 70% ขึ้นไปนับว่าเป็นไคโตซาน [9]

น้ำหนักโมเลกุล (Molecular weight)

ไคโตซานมีน้ำหนักโมเลกุลสูงมากคือประมาณ 1×10^5 ถึง 1.2×10^6 g/mol ในการหาค่าน้ำหนักโมเลกุลของไคโตซานซึ่งเป็นสารพอลิเมอร์จะต้องหาในรูปค่าเฉลี่ยของน้ำหนักโมเลกุล ซึ่งน้ำหนักโมเลกุลของไคโตซานจะมีผลต่อสมบัติของไคโตซานและมีความสำคัญอย่างมากต่อการนำไคโตซานไปประยุกต์ใช้ในด้านต่าง ๆ

เทคนิคที่ใช้ในการตรวจวัดค่าน้ำหนักโมเลกุลของโคโตซานมีหลายเทคนิค เช่น Size Exclusion Chromatography (SEC), Gel Permeation Chromatography (GPC) หรือ Gel Filtration Chromatography (GFC) [9]

ความหนืด (Viscosity)

ความหนืดของโคโตซานขึ้นอยู่กับหลายปัจจัย เช่น ค่าองค์การกำจัด หมู่อะซิทิล, น้ำหนักโมเลกุล, ความเข้มข้นของความแรงไอออน (Ionic strength), อุณหภูมิ โดยความหนืดของสารละลายพอลิเมอร์จะลดลงเมื่ออุณหภูมิสูงขึ้น และค่า pH โดยชนิดของกรดที่ใช้และการเปลี่ยนแปลงค่า pH ของสารละลายพอลิเมอร์จะให้ผลความหนืดที่แตกต่างกัน เช่น ความหนืดของโคโตซานในกรดอะซิติกจะเพิ่มขึ้นเมื่อสารละลายมีค่า pH ลดลง ในขณะที่ความหนืดของโคโตซานในกรดไฮโดรคลอริกจะเพิ่มขึ้นเมื่อ pH ของสารละลายเพิ่มขึ้น [8]

การเสื่อมสลาย (Degradation)

โคตินและโคโตซานมีการสลายตัวที่เหมือนพอลิเมอร์หรือพอลิแซ็กคาไรด์อื่นทั่วไปคือ เมื่อเกิดการเสื่อมสลายจะให้สายโซ่โมเลกุลที่สั้นลงเป็นโอลิโกเมอร์ (Oligomer) หรือโอลิโกแซ็กคาไรด์ (Oligosaccharide) และเป็นหน่วยย่อยที่เล็กที่สุดเรียกว่ามอโนเมอร์ (Monomer) หรือมอโนแซ็กคาไรด์ (Monosaccharide) ของโคตินและโคโตซานคือ N-acetyl-D-glucosamine และ D-glucosamine ตามลำดับ

1. โดยกรด (Acid hydrolysis) และด่าง (Alkaline degradation)

การเสื่อมสลายของสายโซ่โมเลกุลของโคโตซานเนื่องจากกรดจะเป็นแบบสุ่มผลิตภัณฑ์ที่ได้คือ โอลิโกเมอร์ขนาดต่าง ๆ และมอโนเมอร์ ขึ้นกับสภาวะที่ใช้ เช่น เวลา ชนิดของกรด อุณหภูมิ ชนิดพันธะของสาย โซ่โมเลกุลและชนิดของพอลิเมอร์โดยโคตินจะสามารถต้านทานต่อการเสื่อมสลายด้วยกรดได้ดีกว่าโคโตซานการเสื่อมสลายของสายโซ่โมเลกุลของโคโตซานในด่างจะเริ่มจากปลายสุดของสายโซ่โมเลกุล

2. โดยความร้อน (Thermal degradation)

ความร้อนมีผลต่อสมบัติทางกายภาพของโคโตซานจากการวิจัยพบว่าความร้อนจากเตาอบซึ่งเป็นความร้อนแบบแห้งที่อุณหภูมिन้อยกว่าหรือเท่ากับ 80°C มีผลทำให้สายโซ่โมเลกุลของโคโตซานมีความยืดหยุ่นมากขึ้น ค่าอุณหภูมิที่สภาวะคล้ายแก้ว (Glass transition temperature, T_g) ลดลง ความสามารถในการละลายเพิ่มขึ้นและภายหลังการอบที่อุณหภูมิมากกว่าหรือเท่ากับ 120°C ไม่สามารถทำให้เกิดการเปลี่ยนแปลงสมบัติทางกายภาพของโคโตซาน [8]

เอกสารนี้เป็นเอกสารที่สงวนไว้สำหรับการใช้งานเพื่อการศึกษาเท่านั้น ไม่อนุญาตให้นำไปใช้ประโยชน์ด้านการค้าไม่ว่ากรณีใดๆ ทั้งสิ้น อีกทั้งห้ามมิให้ดัดแปลงเนื้อหา และต้องอ้างอิงถึงเจ้าของเอกสารทุกครั้งที่มีการนำไปใช้

2.1.2 การประยุกต์ใช้งานโคโตซาน

ด้านการแพทย์และด้านสุขภาพ

โคโตซานเป็นสารที่มีสมบัติที่ดีที่สามารถนำมาใช้ในทางการแพทย์ได้หลายรูปแบบสามารถเตรียมได้ในรูปแบบเม็ดเจล แผ่นฟิล์มพองน้ำ เพลเลท แคปซูล และยาเม็ด เป็นต้น ใช้ทำไหมเย็บแผลได้ดีกว่าไหมเย็บแผลสังเคราะห์เพราะผูกเป็นปมง่าย แผลหายเร็ว สามารถย่อยสลายได้เองเมื่อแผลติดกัน ทำผิวหนังเทียม ใช้รักษาแผลแทนพลาสติกปิดแผล สามารถยับยั้งการแข็งตัวของเลือดและปลดปล่อย lipoprotein-lipase โดยนำมาประยุกต์ใช้ในขั้นตอนการฟอกเลือดเพื่อป้องกันการแข็งตัวของเลือด นอกจากนี้โคโตซานกับการปลดปล่อยใช้ทำเป็นแคปซูลยา เป็นตัวขนส่งยาจะป้องกันไม่ให้ยาปล่อยออกมาจนกระทั่งถูกย่อยในกระเพาะอาหาร และนำส่งยาเข้าสู่ระบบไหลเวียนโลหิต [10]

ด้านอุตสาหกรรม

นิยมนำโคโตซานผลิตเป็นอาหารเสริมเพื่อลดน้ำหนัก อาหารเสริมที่สามารถให้พลังงาน และช่วยลดปริมาณคอเลสเตอรอลชนิด LDL รวมถึงไขมันจำพวกไตรกลีเซอไรด์ในเลือดได้ดีด้วยการจับกับกลุ่มไขมันทำให้ลดการดูดซึมบริเวณลำไส้ โคโตซานสามารถป้องกันเชื้อจุลินทรีย์ในอาหารด้วยสมบัติของโคโตซานที่สามารถจับกับเซลล์เมมเบรนของจุลินทรีย์ ทำให้เกิดการรั่วไหลของโปรตีน และสารอื่น ๆ ออกมานอกเซลล์จนจุลินทรีย์ไม่สามารถเติบโตและลดจำนวนลง ใช้ทำแผ่นฟิล์มบรรจุอาหารซึ่งการใช้แผ่นฟิล์มพลาสติกชนิดโพลีเอทิลีนมีข้อเสียทำให้อาหารเน่าเสียเร็วเนื่องจากกักเก็บความชื้นไว้ภายใน แต่แผ่นฟิล์มจากโคโตซานสามารถยืดอายุอาหารได้ดีกว่าเนื่องจากสามารถถ่ายเทความชื้นจากอาหารสู่ภายนอกได้ดีกว่าใช้ทำสารเติมแต่งในน้ำผลไม้ด้วยการเติมสารโคโตซานช่วยเพิ่มประสิทธิภาพในการเป็น Fining agent และควบคุมสภาพความเป็นกรดของน้ำผลไม้ได้ดีด้านการเกษตร [10]

ด้านสิ่งแวดล้อม

ใช้ในการบำบัดน้ำเสีย โคโตซานมีความสามารถในการจับกับของแข็งแขวนลอยได้ดี จับกับอะตอมของโลหะหนัก และสารกัมมันตรังสี เช่น พลูโตเนียม และยูเรเนียมอีกด้วย อีกทั้งยังเป็นเยื่อกรองเนื่องจากสามารถขึ้นรูปอยู่เป็นแผ่นเยื่อบาง (Membrane) ได้ง่าย [10]

ทางด้านเครื่องสำอาง

เนื่องจากสมบัติของโคโตซานที่สามารถอุ้มน้ำได้ดี และการเป็นฟิล์มบาง ๆ คลุมผิวหนังป้องกันการเสียน้ำของผิว รวมถึงฤทธิ์ในการต้านเชื้อจุลินทรีย์จึงนิยมนำมาเป็นส่วนผสมของเครื่องสำอางหลายชนิด เช่น แป้งทาหน้า แป้งผัดหน้า สบู่ ยาสีฟัน ยาสระผม ครีมกันแดด ครีมบำรุงผิว ยาย้อมผม ยาเคลือบผม เป็นต้น [10]

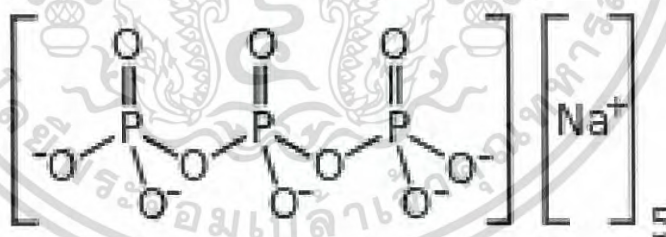
2.1.3 การปลดปล่อยสารจากอนุภาคของโคโตซาน

การปลดปล่อยสารแกนกลางจากอนุภาคโคโตซานขึ้นอยู่กับปัจจัยหลัก ๆ ได้แก่ ขนาดระดับการเชื่อมโยงของอนุภาคของโคโตซานขนาดของสารแกนกลาง และการเสื่อมสลายหรือการละลายของสารห่อหุ้ม โดยทั่วไปแล้วอนุภาคขนาดเล็กจะมีการปลดปล่อย สารได้เร็วกว่าเนื่องจากมีพื้นที่ผิวมากโดยกลไกการควบคุมการปลดปล่อยสารแกนกลางออกจากสารห่อหุ้ม (Control release mechanism) ภายใต้สภาวะแวดล้อมและเวลาที่เหมาะสม โดยการกำหนดอัตราการปลดปล่อยตามต้องการเป็นสิ่งสำคัญในการนำมาประยุกต์ใช้งานด้านต่าง ๆ เช่น การปลดปล่อยยาไปยังบริเวณที่ต้องการ เพื่อลดผลข้างเคียงโดยเมื่อมีการเปลี่ยนแปลงของค่าความเป็นกรดต่างอย่างเหมาะสมแคปซูลจะเกิดการยุบตัว (Collapse) และปลดปล่อยสารแกนกลางออกมา [11]

2.2 สารเชื่อมโยง (Crosslinking agents)

2.2.1 โซเดียมไตรพอลิฟอสเฟต (Sodium tripolyphosphate, STPP)

โซเดียมไตรพอลิฟอสเฟตเป็นเกลือโซเดียมของกรดไตรฟอสฟอริก มีลักษณะเป็นผง ละลายน้ำได้ ผลิตได้จากปฏิกิริยาระหว่างโซเดียมไฮดรอกไซด์กับกรดฟอสฟอริก โซเดียมไตรพอลิฟอสเฟตเป็นสารที่ทำให้เกิดการระคายเคืองเมื่อมีการสัมผัส สามารถเรียกชื่อได้อีกอย่างว่า เพนตะโซเดียมไตรฟอสเฟต (Pentasodium triphosphate) และโซเดียมไตรฟอสเฟต (Sodium triphosphate) [12] โครงสร้างทางเคมีของโซเดียมไตรพอลิฟอสเฟตดังแสดงในรูปที่ 2.2 และสมบัติของโซเดียมไตรพอลิฟอสเฟตดังแสดงในตารางที่ 2.1



รูปที่ 2.2 โครงสร้างทางเคมีของโซเดียมไตรพอลิฟอสเฟต [13]

เอกสารนี้เป็นเอกสารที่สงวนไว้สำหรับการใช้งานเพื่อการศึกษาเท่านั้น ไม่อนุญาตให้นำไปใช้ประโยชน์ด้านการค้าไม่ว่ากรณีใดๆ ทั้งสิ้น อีกทั้งห้ามมิให้ดัดแปลงเนื้อหา และต้องอ้างอิงถึงเจ้าของเอกสารทุกครั้งที่มีการนำไปใช้

ตารางที่ 2.1 สมบัติของโซเดียมไตรฟอสเฟต [13]

สมบัติ	โซเดียมไตรฟอสเฟต
สูตรโมเลกุล	$\text{Na}_5\text{P}_3\text{O}_{10}$
น้ำหนักโมเลกุล	367.864 g/mol
สถานะ	ผงสีขาว
ความหนาแน่น	2.52 g/cm^3
จุดเดือด	622°C
ความสามารถการละลายในน้ำ	14.5/100 g/ml ที่ 25°C

ประโยชน์การใช้งาน [12]

ใช้มากในการผลิตผลิตภัณฑ์ทำความสะอาดที่ใช้ทั้งในอุตสาหกรรมและบ้านเรือน ผลิตภัณฑ์อาหาร อาหารสัตว์ โลหะ สี เยื่อกระดาษ เซรามิก ส่วนใหญ่นิยมทำผงซักฟอก โดยโซเดียมไตรฟอสเฟตมีสมบัติลดความกระด้างของน้ำช่วยให้การซักล้างมีประสิทธิภาพมากขึ้น เป็นสารบัพเฟอร์ จับคราบสกปรกและกันไม่ให้สิ่งสกปรกย้อนกลับมา ติดกับพื้นผิวสำหรับในอุตสาหกรรมอาหารจะช่วยเพิ่มการอุ้มน้ำของเนื้อสัตว์และอาหารทะเล ป้องกันโปรตีนเสื่อมคุณภาพ รักษาสีสันของผลิตภัณฑ์

2.2.2 โซเดียมโดเดซิลซัลเฟต (Sodium dodecyl sulfate, SDS)

โซเดียมโดเดซิลซัลเฟตเป็นสารลดแรงตึงผิวที่มีประจุลบ (Anionic surfactant) ทำหน้าที่ช่วยให้แรงตึงผิวของของเหลวลดลงทำให้การกระจายตัวของอนุภาคของเหลวดีขึ้น [14] โครงสร้างทางเคมีของโซเดียมโดเดซิลซัลเฟตดังแสดงในรูปที่ 2.3 และสมบัติของโซเดียมโดเดซิลซัลเฟตดังแสดงในตารางที่ 2.2



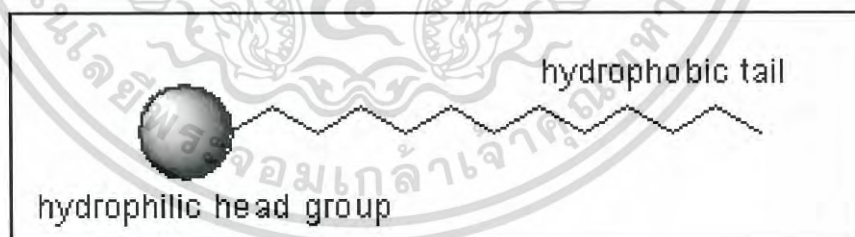
รูปที่ 2.3 โครงสร้างทางเคมีของโซเดียมโดเดซิลซัลเฟต [15]

เอกสารนี้เป็นเอกสารที่สงวนไว้สำหรับการใช้งานเพื่อการศึกษาเท่านั้น ไม่อนุญาตให้นำไปใช้ประโยชน์ด้านการค้า ไม่ว่าจะกรณีใดๆ ทั้งสิ้น อีกทั้งห้ามมิให้ดัดแปลงเนื้อหา และต้องอ้างอิงถึงเจ้าของเอกสารทุกครั้งที่มีการนำไปใช้

ตารางที่ 2.2 สมบัติของโซเดียมโดเดซิลซัลเฟต [15]

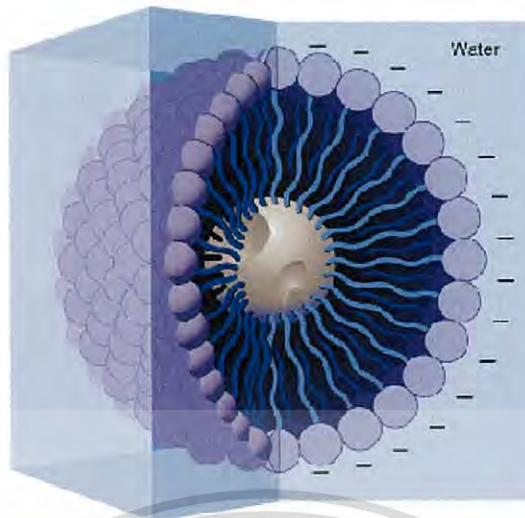
สมบัติ	โซเดียมโดเดซิลซัลเฟต
สูตรโมเลกุล	$\text{NaC}_{12}\text{H}_{25}\text{SO}_4$
มวลโมเลกุล	288.372 g/mol
สถานะ	ของแข็งสีขาวหรือสีเหลืองอ่อน
กลิ่น	ไม่มีกลิ่น
ความหนาแน่น	1.01 g/cm^3
จุดเดือด	206°C
ดัชนีหักเห (n_D)	1.461

สารลดแรงตึงผิวประกอบด้วย 2 ส่วนคือ ส่วนหัวเป็นส่วนที่ชอบน้ำหรือส่วนที่มีขั้ว (Hydrophilic group) และส่วนหางเป็นสารประกอบไฮโดรคาร์บอน คือมีธาตุคาร์บอนและไฮโดรเจน เป็นองค์ประกอบเป็นส่วนที่ไม่ชอบน้ำหรือส่วนที่ไม่มีขั้ว (Hydrophobic group) ดังแสดงในรูปที่ 2.4 เมื่อสารละลายสารลดแรงตึงผิวมีความเข้มข้นเกินค่าความเข้มข้นวิกฤตของการเกิดไมเซลล์ (Critical micelle concentration, CMC) กลุ่มโมเลกุลของสารลดแรงตึงผิวจะเข้ามารวมตัวกันเรียกว่า ไมเซลล์ (Micelle) โดยในระบบที่ตัวทำละลายเป็นน้ำ กลุ่มโมเลกุลจะหันส่วนที่ไม่มีขั้วเข้าสู่ศูนย์กลาง และหันส่วนที่มีขั้วออกสู่ด้านนอก [14] ดังแสดงในรูปที่ 2.5



รูปที่ 2.4 โครงสร้างของสารลดแรงตึงผิว [16]

เอกสารนี้เป็นเอกสารที่สงวนไว้สำหรับการใช้งานเพื่อการศึกษาเท่านั้น ไม่อนุญาตให้นำไปใช้ประโยชน์ด้านการค้า ไม่ว่าจะกรณีใดๆ ทั้งสิ้น อีกทั้งห้ามมิให้ตัดแปลงเนื้อหา และต้องอ้างอิงถึงเจ้าของเอกสารทุกครั้งที่มีการนำไปใช้



รูปที่ 2.5 การเรียงตัวของสารลดแรงตึงผิวในน้ำ [17]

ประโยชน์การใช้งาน [14]

โซเดียมโดเดซิลซัลเฟตมีสมบัติเป็นสารลดแรงตึงผิวจึงนิยมนำไปใช้เป็นส่วนประกอบในผลิตภัณฑ์ทำความสะอาด เช่น ผงซักฟอก สบู่ ยาสีฟัน ยาสระผม ครีมนวดผม ผลิตภัณฑ์ที่มีฟองเป็นส่วนประกอบในเครื่องสำอางและครีมกันแดด ใช้ผลิตยาในทางการแพทย์ ถูกนำมาใช้ในอุตสาหกรรมอื่น ๆ เช่น กระบวนการย้อมผ้า การเคลือบสีไม้หรือโลหะ การผลิตพลาสติก การทำหนังสือ สัตว์ การผลิตเนยเทียม เค้กและไอศกรีม ใช้ในการแก้ไขปัญหาสิ่งแวดล้อม เช่น บำบัดน้ำเสีย และบำบัดมลพิษทางดิน และใช้ในกระบวนการ สกัดแยก เช่น การสกัดแยกแร่ และการแยกน้ำมันออกจากน้ำ นอกจากนี้ยังมีการนำมาใช้ในเทคโนโลยีสมัยใหม่ เช่น อิเล็กทรอนิกส์ และเครื่องบันทึกแถบแม่เหล็ก เป็นต้น

2.3 ขมิ้นชัน

ลักษณะทางพฤกษศาสตร์ [18]

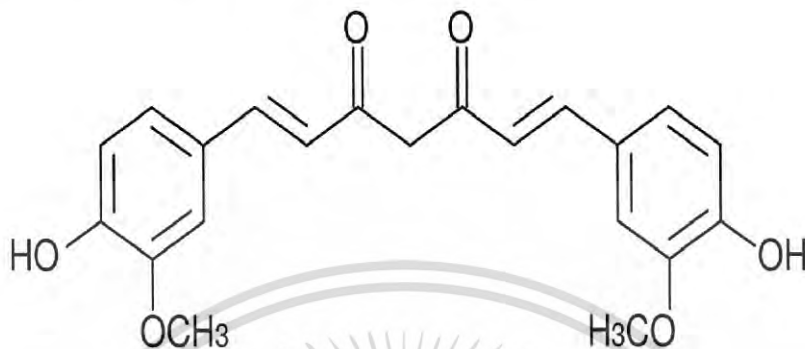
ขมิ้นชันมีชื่อทางวิทยาศาสตร์ว่า *Curcuma longa* Linn. อยู่ในวงศ์ Zingiberaceae มีชื่อสามัญอื่นอีกคือ ขมิ้นแกง (เชียงใหม่) ขมิ้นชัน (กลางใต้) ฯลฯ เป็นพืชล้มลุกมีเหง้าอยู่ใต้ดินรูปไขว้นสั้น เนื้อในของเหง้าขมิ้นชันมีสีเหลืองเข้มจนสีแสดจัด มีกลิ่นหอมเฉพาะตัวใบรูปรียาววาวปลายแหลมคล้ายใบพุทธรักษา

สารสำคัญในขมิ้นชัน [19]

สารเคมีที่พบส่วนมากจะมาจากส่วนของเหง้าขมิ้น ซึ่งถูกสกัดออกมาเป็นน้ำมันหอมระเหย โดยจะมีสารสำคัญอยู่ 2 กลุ่ม คือ เทอร์มิรอน (Termeron) ที่พบมากที่สุด และเคอร์คูมินอยด์ (Curcuminoids) ซึ่งเคอร์คูมินอยด์จะประกอบด้วยสารสำคัญ 3 ตัว คือ เคอร์คูมิน (Curcumin) เดสเมธอกซีเคอร์คูมิน (Desmethoxycurcumin) และบิสเดสเมธอกซีเคอร์คูมิน (Bisdsmethoxy-

เอกสารนี้เป็นเอกสารที่จัดทำขึ้นในโครงการวิจัยที่สนับสนุนโดยสำนักงานการวิจัยแห่งชาติ (วช.) กระทรวงการอุดมศึกษา วิทยาศาสตร์ วิจัยและนวัตกรรม ภายใต้การสนับสนุนของ วช. ไม่สามารถนำข้อมูลไปใช้โดยไม่ได้รับอนุญาตจาก วช. ได้

curcumin) โดยทั้งเคสเมธอกซีเคอร์คูมินและบิสเคสเมธอกซีเคอร์คูมิน เป็นอนุพันธ์ของเคอร์คูมิน เนื่องจากมีสารเคอร์คูมินในปริมาณมากที่สุดตั้งนั้นเพื่อความสะดวกในการเรียกชื่อจึงมักเรียกสารทั้งสามตัวนี้รวมกันว่าสารเคอร์คูมินมีสมบัติไม่ละลายน้ำแต่ละลายได้ดีในแอลกอฮอล์ และกรดอะซิติก โดยสูตรโครงสร้างของสารเคอร์คูมินพินอยด์ดังแสดงในรูปที่ 2.6



รูปที่ 2.6 สูตรโครงสร้างเคมีของสารเคอร์คูมินพินอยด์ [19]

ประโยชน์การใช้งาน

ขมิ้นชันอาจนำมาแปรรูปด้วยการทำแห้ง (Dehydration) แล้วบดเป็นผง ใช้เป็นเครื่องเทศ และใช้เป็นวัตถุเจือปนอาหารเพื่อเป็นสารให้สี และวัตถุปรุงแต่งรสอาหารที่ได้จากธรรมชาติ ซึ่งให้ความปลอดภัยมากกว่าสีสังเคราะห์ [20] และสารสำคัญในขมิ้นชันมีบทบาทที่สำคัญในฤทธิ์ทางเภสัชวิทยา [21] ได้แก่

- ฤทธิ์ด้านการเกิดแผล สมานแผลในกระเพาะอาหาร และฤทธิ์อื่นๆต่อระบบทางเดินอาหาร

ขมิ้นชันมีฤทธิ์สมานแผลในกระเพาะอาหารโดยเร่งการเจริญเติบโตของเนื้อเยื่อบริเวณที่เป็นแผลทำให้แผลหายเร็วขึ้น กระตุ้นการหลั่งมิวซิน (Mucin) มาเคลือบกระเพาะอาหาร และยับยั้งการหลั่งน้ำย่อยต่าง ๆ ซึ่งเป็นผลจากเทอร์มิโรนและเคอร์คูมินที่ให้ผลการรักษาเทียบเท่ายาลดกรด

- ฤทธิ์ต้านอาการแพ้

สารเคอร์คูมินมีฤทธิ์ต้านการแพ้โดยออกฤทธิ์ยับยั้งการหลั่งสารฮิสตามีน (Histamine) ซึ่งเป็นสารสื่อกลางที่กระตุ้นให้เกิดการแพ้

- ฤทธิ์สมานแผล

ผงขมิ้นชันที่นำมาผสมกับน้ำแล้วทาแผล พบว่าช่วยเร่งให้แผลที่ไม่ติดเชื้ของกระต่ายและหนูแรทหายไว และสามารถเร่งให้แผลที่มีการติดเชื้อของหนูแรทหายได้ไวขึ้น

- ฤทธิ์ป้องกันตับอักเสบ

สารสกัดของขมิ้นชันสามารถป้องกันการทำลายตับของหนูแรทจากยาพาราเซตามอลได้

เอกสารนี้เป็นเอกสารที่สงวนไว้สำหรับการใช้งานเพื่อการศึกษาเท่านั้น ไม่อนุญาตให้นำไปใช้ประโยชน์ด้านการค้าไม่ว่ากรณีใดๆ ทั้งสิ้น อีกทั้งห้ามมิให้ดัดแปลงเนื้อหา และต้องอ้างอิงถึงเจ้าของเอกสารทุกครั้งที่มีการนำไปใช้

- ฤทธิ์ต้านเชื้อจุลินทรีย์

ไขมันมีผลยับยั้งเชื้อแบคทีเรียและสารพิษที่สร้างโดยแบคทีเรียหลายชนิดในหลอดทดลอง เช่น *Salmonella*, *Shigella* และ *E. coli* ซึ่งเป็นสาเหตุของการติดเชื้อในระบบทางเดินอาหาร และ *Streptococcus mutans* ที่เป็นสาเหตุของฟันผุ เมื่อให้ผู้ป่วยโรคกระเพาะที่ตรวจพบเชื้อ *H. pylori* รับประทานไขมันชั้นวันละ 2 g เป็นเวลา 4 สัปดาห์ พบว่าไขมันไม่ได้มีผลแค่ฆ่าเชื้อดังกล่าว แต่ไขมันสามารถยับยั้งการเจริญเติบโตและฆ่าเชื้อราที่เป็นสาเหตุของโรคผิวหนังได้หลายชนิด โดยเฉพาะในรูปน้ำมันหอมระเหยจะมีฤทธิ์ต้านเชื้อราที่เป็นสาเหตุของโรคกลาก เช่น *Microsporum*, *Trichophyton* และ *Epidermophyton* นอกจากนี้ฤทธิ์ต้านเชื้อราในคนแล้ว น้ำมันหอมระเหยจากใบและเหง้าขมิ้นยังมีฤทธิ์ต้านเชื้อราที่เป็นสาเหตุของโรคราในข้าว 5 ชนิด คือ *Rhizoctonia solani*, *Trichochoniopsis padwickii*, *Curvularia lunata*, *Helminthosporium oryzae* และ *Fusarium moniliform* โดยน้ำมันจากใบจะมีฤทธิ์ดีกว่าน้ำมันจากเหง้า

- ฤทธิ์อื่น ๆ

ขมิ้นชั้นมีโอกาที่จะพัฒนาเพื่อใช้ในการรักษาโรคซิสติกไฟโบรซิส (Cystic Fibrosis) ที่เป็นโรคทางกรรมพันธุ์ใช้เป็นยาเฉพาะที่ใช้เป็นส่วนผสมในยาสีฟันเพื่อช่วยขจัดคราบบุหรี่ยับและลดการอักเสบ และใช้ผสมในยาจีนเพื่อการรักษาและป้องกันเนื้องอกและข้ออักเสบ

2.4 กระบวนการห่อหุ้มสารให้อยู่ในรูปของแคปซูลด้วยพอลิเมอร์ [22]

กระบวนการห่อหุ้มสาร คือ กระบวนการที่สารสำคัญถูกห่อหุ้มหรือถูกตรึงไว้ภายในแคปซูล ซึ่งส่วนใหญ่จะเป็นของเหลว แต่บางครั้งอาจเป็นของแข็งหรือแก๊ส โดยสารสำคัญที่ถูกห่อหุ้มไว้ภายใน เช่น วิตามิน ยารักษาโรค สารต้านอนุมูลอิสระ จะถูกห่อหุ้มด้วยพอลิเมอร์ให้อยู่ในรูปของแคปซูลชั้นบาง ๆ ขนาดเล็ก เพื่อประโยชน์ในการคงตัวของสารที่ถูกห่อหุ้ม เพิ่มความคงทนต่ออุณหภูมิ ความชื้น แสง และการเกิดปฏิกิริยาออกซิเดชัน อีกทั้งยังสามารถควบคุมการปลดปล่อยสารไปสู่บริเวณที่ต้องการในเวลาที่เหมาะสม จึงช่วยลดความเสี่ยงในการใช้สาร จากข้อดีดังกล่าวข้างต้น การห่อหุ้มสารให้อยู่ในรูปแคปซูลจึงถูกนำไปประยุกต์ใช้ในอุตสาหกรรมต่าง ๆ หลายชนิด ได้แก่ งานทางการเกษตร เช่น ใช้ควบคุมการปลดปล่อยสารกำจัดศัตรูพืชที่ถูกห่อหุ้มในรูปแคปซูล โดยให้ค่อย ๆ ปลดปล่อยออกมา จึงทำให้ใช้ปริมาณสารกำจัดศัตรูพืชที่น้อยลงและคงประสิทธิภาพการออกฤทธิ์ได้ยาวนานกว่า ทำให้ช่วยลดการตกค้างของสารกำจัดศัตรูพืช ลดค่าใช้จ่ายและยังช่วยรักษาสภาพแวดล้อมอันเนื่องมาจากสารพิษตกค้างอีกด้วย งานทางด้านการแพทย์และเภสัชกรรม ในอุตสาหกรรมการผลิตยาและวัคซีน ซึ่งเน้นในด้านของการควบคุมการปลดปล่อยออกจากแคปซูลให้ได้ตามเวลา และบริเวณที่ต้องการ ช่วยให้ตัวยาค่อย ๆ ถูกปลดปล่อยออกมาอย่างช้า ๆ เพื่อให้ออกฤทธิ์ได้ตรงเป้าหมายของการรักษาโรค

องค์ประกอบของแคปซูล

แคปซูลประกอบด้วย 2 ส่วนหลัก คือ สารที่ถูกห่อหุ้ม และสารที่ใช้ห่อหุ้ม สารที่ถูกห่อหุ้มมักเป็นของเหลวหรือของแข็ง เรียกว่า แกนกลาง (Core, Active, Load หรือ Internal phase) เป็นสารที่มีความไวต่อการเปลี่ยนแปลง โดยเป็นสารที่อยู่ภายในแคปซูล เช่น วิตามินต่าง ๆ เกลือแร่ ยา รักษาโรค ยาฆ่าแมลง ส่วนพอลิเมอร์ที่เป็นตัวห่อหุ้มเรียกว่า สารห่อหุ้ม (Shell, Wall, Carrier หรือ Coating material) สารที่ใช้ห่อหุ้มมีหลายชนิด ทั้งที่ได้จากธรรมชาติและจากการสังเคราะห์ขึ้น การเลือกวัสดุที่ทำหน้าที่ห่อหุ้มสารถือเป็นปัจจัยสำคัญอย่างยิ่ง เนื่องจากสารห่อหุ้มเป็นตัวกลางในการปกป้องสารแกนกลางจากสภาพแวดล้อมต่าง ๆ อีกทั้งยังทำหน้าที่ปลดปล่อยสารแกนกลาง ให้ตรงตามวัตถุประสงค์ของการใช้งานอีกด้วย โดยสมบัติของสารห่อหุ้มมีดังต่อไปนี้

- พอร์มตัวเป็นชั้นฟิล์มได้ดี
- มีความหนืดต่ำที่ปริมาณของแข็งสูง
- มีความสามารถในการกักเก็บและปลดปล่อยสารแกนกลางได้
- มีสมบัติในการยึดติดกับสารแกนกลางได้ดี ไม่ทำปฏิกิริยากับสารแกนกลาง
- สามารถป้องกันสารแกนกลางต่อการเกิดปฏิกิริยาออกซิเดชันได้

ซึ่งสารห่อหุ้มถือว่ามีความสำคัญในการกำหนดให้แคปซูลมีสมบัติตามที่ต้องการ [23]

ในการห่อหุ้มสารแกนกลางในทางการแพทย์ เช่น ยา สมุนไพร และอาหาร นิยมใช้วิธีการทำเย็นแบบเยือกแข็ง (Freeze drying) โดยอาศัยเครื่อง (Freeze dryer) ซึ่งมีข้อดีคือ การทำให้เยือกแข็งจะทำให้ปฏิกิริยาทางเคมีเกิดช้าลง และเนื่องจากกระบวนการดังกล่าวเกิดภายใต้สุญญากาศ จึงทำให้ไม่มีออกซิเจนที่จะทำให้เกิดปฏิกิริยาออกซิเดชัน การใช้อุณหภูมิที่ต่ำมากทำให้เอนไซม์และแบคทีเรียไม่สามารถเจริญเติบโตได้ หรือไม่เกิดปฏิกิริยาที่ไม่ต้องการ จึงไม่สูญเสียสารประกอบสำคัญ ผลิตภัณฑ์มีความเสียหายต่ำ ในบางผลิตภัณฑ์มีโครงสร้างที่มีรูพรุนมาก จะส่งผลให้ผลิตภัณฑ์สามารถคืนตัว (Rehydration) ได้อย่างรวดเร็ว ซึ่งช่วยรักษาสภาพของผลิตภัณฑ์ให้คงสภาพเดิม ทั้งสี รูปร่าง ขนาด รส และพื้นผิว

2.5 งานวิจัยที่เกี่ยวข้อง

งานวิจัยของ Cetinus, S.A. and Saraydin, E.D. [24] ได้ทำการศึกษาการเตรียมเม็ดโคโตซานที่ดูดซับทองแดงเพื่อตรึงเอนไซม์คะตาเลส (Catalase) โดยงานวิจัยนี้ต้องการเตรียมเม็ดโคโตซานที่เชื่อมโยงด้วยกลูตาราลดีไฮด์ (Glutaraldehyde) ด้วยการหยดโคโตซานความเข้มข้น 3% (w/v) ที่ละลายในกรดอะซิติกเข้มข้น 1% (v/v) ด้วยเข็มและหลอดฉีดยาลงในสารละลายที่มีไกลอซอลไฮเดรต (Glyoxalhydrate) เข้มข้น 4% (w/v) ผสมกับสารละลายเตตระโซเดียมไพโรฟอสเฟต (Tetrasodium pyrophosphate) เข้มข้น 3% (w/v) ในปริมาณเท่ากันโดยมี pH เท่ากับ 8 เพื่อให้เกิดการเชื่อมโยงกันเป็นเม็ด จากนั้นนำเม็ดไปล้างด้วยสารละลายฟอสเฟตบัฟเฟอร์ 200 ml ความเข้มข้น 0.05 M ที่มี pH เท่ากับ 7 แล้วจึงนำเม็ดไปเชื่อมโยงด้วยการแช่ในสารละลายกลูตาราลดีไฮด์เข้มข้น 0.05% (w/v) เป็นเวลา 1 ชั่วโมงเพื่อเพิ่มความแข็งแรง จากนั้นจึงนำเม็ดมาล้างอีกหลาย ๆ ครั้งจนเป็นเอกสารที่ล้างจนสะอาดสำหรับการใช้งานเพื่อการศึกษาเท่านั้น ไมออนุญาตให้นำไปใช้ประโยชน์อื่นใด ๆ ทั้งสิ้น อีกทั้งห้ามมิให้ดัดแปลงเนื้อหา และต้องอ้างอิงถึงเจ้าของเอกสารทุกครั้งที่มีการนำไปใช้

ครั้งด้วยสารละลายฟอสเฟตบัฟเฟอร์เย็นที่มี pH เท่ากับ 7 แล้วจึงทำให้แห้งภายใต้สุญญากาศ ต่อมานำเม็ดที่ได้ไปแช่ในสารละลายทองแดงที่มีโคโตซานความเข้มข้นต่าง ๆ ที่ pH เท่ากับ 7 ภายในขวดรูปชมพู่ที่มีการปั่นกวนเป็นเวลา 24 ชั่วโมง จากนั้นนำเม็ดโคโตซานที่มีและไม่มีทองแดงมาตรึงคะตาระสโดยใช้เวลาในการทำปฏิกิริยา 5 ชั่วโมงที่อุณหภูมิ 20°C โดยการตรึงคะตาระสของเม็ดที่ไม่มีทองแดงจะต่ำกว่าเม็ดที่มีทองแดง

งานวิจัยของ Meloni, A.C. and Maccioni, A.M. [25] ได้ทำการศึกษาการปลดปล่อยน้ำมันหอมระเหย เปปเปอร์มินต์จากเม็ดโคโตซานที่บรรจุน้ำมันหอมระเหยไว้ภายใน โดยเริ่มต้นจากการละลายโคโตซานในน้ำที่ผสมกับกรดไกลโคติก พร้อมปั่นกวนด้วยแท่งแม่เหล็กเป็นเวลา 2 ชั่วโมง จากนั้นหยดน้ำมันหอมระเหยเปปเปอร์มินต์ลงไป ทำการปั่นกวนจนเป็นเนื้อเดียวกัน หลังจากนั้นนำโคโตซานที่ได้มาหยดลงในสารเชื่อมโยง 2 ชนิดคือ โซเดียมไตรพอลิฟอสเฟต ซึ่งเกิดการเชื่อมโยงแบบไอออนิกและโซเดียมไฮดรอกไซด์ ซึ่งเกิดการเชื่อมโยงแบบ Coacervation สารเชื่อมโยงมีผลต่อการบวมของเม็ดทำให้เม็ดโคโตซานที่เตรียมจากโซเดียมไฮดรอกไซด์มีขนาดใหญ่กว่าโซเดียมไตรพอลิฟอสเฟต และมีโครงสร้างที่แตกได้ง่ายทำให้มีความสามารถการแตกของเม็ดเพื่อปลดปล่อยน้ำมันหอมระเหยเปปเปอร์มินต์สูงถึง 80% และสามารถดูดซับน้ำมันหอมระเหยเปปเปอร์มินต์ได้สูงสุด 60% ส่วนเม็ดโคโตซานที่เชื่อมโยงด้วยโซเดียมไตรพอลิฟอสเฟตมีการหดตัวสูงทำให้ปลดปล่อยน้ำมันหอมระเหยเปปเปอร์มินต์ได้ช้า

งานวิจัยของ Kumar, S. และคณะ [26] ได้ทำการศึกษาการพัฒนาโนแคปซูลอัลจินต/โคโตซาน (Alginate/Chitosan) เพื่อเพิ่มประสิทธิภาพการควบคุมการปลดปล่อยสารกำจัดศัตรูพืชอะเซตามิพริด (Acetamiprid) โดยใช้เทคนิคการเกิดเจลแบบไอออนิก (Ionic gelation) เริ่มต้นจากการละลายโซเดียมอัลจินตและโคโตซานในกรดอะซิติกทิ้งไว้ 1 คืน จากนั้นนำไปกรองและปรับค่า pH เป็น 4.9 และ 4.6 ตามลำดับ ต่อมานำอะเซตามิพริดผสมกับอัลจินตและนำไปทำอัลตราโซนิก (Ultrasonic) เป็นเวลา 15 นาที จากนั้นเติมแคลเซียมคลอไรด์ (Calcium chloride, CaCl_2) ปั่นกวนต่อ 30 นาที เติมสารละลายโคโตซาน ปั่นกวน 30 นาที จะได้เป็นคอลลอยด์ แล้วนำไปหมუნเหวี่ยงความเร็วรอบสูงเป็นเวลา 30 นาที ที่อุณหภูมิ 4°C จะได้ผลิตภัณฑ์เป็นนาโนแคปซูล จากนั้นนำตัวอย่างนาโนแคปซูลที่เตรียมได้มาทดสอบการควบคุมการปลดปล่อยอะเซตามิพริด โดยเปรียบเทียบกับสูตรทางการค้า วิเคราะห์ด้วยเครื่องมือวิเคราะห์แยกชนิดและหาปริมาณสารในสภาวะของเหลวด้วยความเร็วสูง (UHPLC) พบว่าในระบบที่ pH แตกต่างกัน ที่ pH 10 สามารถปลดปล่อยอะเซตามิพริดได้สูงที่สุดรองลงมาคือ 7 และ 4 ตามลำดับ และในระบบการปลดปล่อยในดินพบว่าสามารถปลดปล่อยอะเซตามิพริดได้สูงสุด 93% ซึ่งใช้เวลานานกว่าสูตรทางการค้า ทำให้สามารถลดการใช้สารกำจัดศัตรูพืชที่เป็นอันตรายต่อมนุษย์และสิ่งแวดล้อมได้

เอกสารนี้เป็นเอกสารที่สงวนไว้สำหรับการใช้งานเพื่อการศึกษาเท่านั้น ไม่อนุญาตให้นำไปใช้ประโยชน์ด้านการค้าไม่ว่ากรณีใดๆ ทั้งสิ้น อีกทั้งห้ามมิให้ดัดแปลงเนื้อหา และต้องอ้างอิงถึงเจ้าของเอกสารทุกครั้งที่มีการนำไปใช้

งานวิจัยของ Morris, G.A. และคณะ [27] ได้ทำการศึกษาเสถียรภาพของอนุภาคนาโนโคโตซาน/ไตรพอลิฟอสเฟตในระบบนำส่งยา โดยใช้เทคนิคการเชื่อมโยงแบบไอโอโนโทรปิก (lonotropic gelation) เริ่มต้นจากการเตรียมอนุภาคนาโนโคโตซาน/ไตรพอลิฟอสเฟตที่มีอัตราส่วนเป็น 1:6 กับสารละลายบัฟเฟอร์อะซิเตต (Acetate) pH 4.3 จะได้เป็นสารละลายสีขาวขุ่นคล้ายน้ำนมและมีขนาดอนุภาคนาโนเฉลี่ย 90-120 nm จากนั้นนำอนุภาคนาโนโคโตซาน/ไตรพอลิฟอสเฟตมาทดสอบเสถียรภาพในสภาวะอุณหภูมิที่แตกต่างกัน ได้แก่ 4 25 และ 40°C เป็นระยะเวลา 12 เดือน ผลที่ได้คือ ที่อุณหภูมิ 4 และ 25°C พบว่า สารละลายมีสีขาวขุ่นคล้ายน้ำนมเหมือนตอนแรกที่เตรียมเกิดจากการที่อนุภาคนาโนโคโตซาน/ไตรพอลิฟอสเฟตยังคงสภาพเดิมได้แต่ที่อุณหภูมิ 40°C พบว่าสารละลายเปลี่ยนเป็นใส ไม่มีสีเพียงหลังจากผ่านไปแค่ 6 เดือน เนื่องจากการที่อนุภาคนาโนโคโตซาน/ไตรพอลิฟอสเฟตเกิดปฏิกิริยาไฮโดรไลซิส (Hydrolysis) ตัดสายโซ่พอลิเมอร์ทำให้เกิดหลุดขาดออกจากกัน ส่งผลให้ขนาดของอนุภาคนาโนโคโตซาน/ไตรพอลิฟอสเฟตลดลงอย่างต่อเนื่องและย่อยสลายในที่สุด

งานวิจัยของ Wan, S. และคณะ [28] ได้ทำการศึกษาการเตรียมอนุภาคไมโครโคโตซาน/โซเดียมไตรพอลิฟอสเฟต เพื่อเพิ่มประสิทธิภาพการดูดซับไขมันชั้นโดยใช้เทคนิคการเกิดเจลแบบไอออนิก โดยละลายไขมันชั้น 0.1 g ในไดเอทิลีนไกลคอลโมโนเอทิลอีเทอร์ (Diethylene glycol monoethyl ether) 10 ml จากนั้นเติมลงในสารละลายโคโตซานที่ละลายในกรดอะซิติก นำไปปั่นกวนจนสารละลายเป็นสีเหลือง แล้วนำมาเติมสารละลายโซเดียมไตรพอลิฟอสเฟต 40 ml ที่ pH 8.6 นำไปปั่นกวนด้วยแม่เหล็ก และกรองด้วยเครื่องหมุนเหวี่ยงความเร็วรอบสูง 10000 rpm นำมาล้างด้วยน้ำกลั่น แล้วทำให้แห้งแบบเยือกแข็งเป็นเวลา 12 ชั่วโมง นำอนุภาคไมโครโคโตซาน/โซเดียม-ไตรพอลิฟอสเฟตที่ได้มาทำการทดสอบการปลดปล่อยโดยเปรียบเทียบกับไขมันชั้นบริสุทธิ์ ตรวจวัดด้วย High performance liquid chromatography (HPLC) พบว่าอนุภาคไมโครโคโตซาน/โซเดียมไตรพอลิฟอสเฟตสามารถปลดปล่อยไขมันชั้นออกมาได้ถึง 90% และยังสามารถอยู่ในร่างกายได้นานกว่าไขมันชั้นบริสุทธิ์ เนื่องจากโคโตซานมีการเชื่อมโยงกับโซเดียมไตรพอลิฟอสเฟตที่ทำหน้าที่เป็นเปลือกหุ้มส่งผลให้ป้องกันการเผาผลาญและย่อยสลายได้ดีกว่า อนุภาคไมโครโคโตซาน/โซเดียม-ไตรพอลิฟอสเฟตที่ได้มีขนาดอนุภาคเฉลี่ย 58 μm มีลักษณะเป็นทรงกลมแบบไม่สมบูรณ์มีพื้นผิวขรุขระ และมีประสิทธิภาพการห่อหุ้ม 85%

งานวิจัยของ นลินา ประไพรัชสิทธิ์ และพรรัสมิภา งามศิริ [29] ได้ทำการศึกษาองค์ประกอบที่เหมาะสมในการเตรียมเม็ดจากสูตรผสมของอัลจินเตและโคโตซานสำหรับปลดปล่อยยาอะม็อกซิซิลลินภายใต้สภาวะเลียนแบบกระเพาะอาหาร เพื่อใช้การรักษาโรคแผลในกระเพาะอาหาร (Pepticulcer) โดยละลายโคโตซานกับกรดอะซิติกที่อุณหภูมิห้อง จากนั้นเติมสารละลายแคลเซียมคลอไรด์ ปั่นกวนเป็นเวลา 2 ชั่วโมง นำอัลจินเตละลายในน้ำปั่นกวนที่อุณหภูมิห้องเป็นเวลา 24 ชั่วโมง จากนั้นเติมผงยาอะม็อกซิซิลลิน ปั่นกวนที่อุณหภูมิห้องเป็นเวลา 6 ชั่วโมง เพื่อให้ละลายเป็นเนื้อเดียวกัน ต่อมานำมาหยดลงในสารละลายโคโตซาน แช่เม็ดทิ้งไว้ 15 นาที แล้วทำให้เม็ดแห้ง โดยทิ้งไว้ที่อุณหภูมิห้อง นำมาทดสอบการปลดปล่อยยาอะม็อกซิซิลลินภายใต้สภาวะเลียนแบบ

เอกสารนี้เป็นเอกสารที่สงวนไว้สำหรับการใช้งานเพื่อการศึกษาเท่านั้น ไม่อนุญาตให้นำไปใช้ประโยชน์ด้านการค้า
ไม่ว่ากรณีใดๆ ทั้งสิ้น อีกทั้งห้ามมิให้ดัดแปลงเนื้อหา และต้องอ้างอิงถึงเจ้าของเอกสารทุกครั้งที่มีการนำไปใช้

กระเพาะอาหาร ที่ pH 1.2 อุณหภูมิ 37°C โดยมี 3 สูตรผสม คือ อัลจิเนต/ไคโตซาน (ความเข้มข้น 0.25 0.5 และ 1%) ผลการทดลองพบว่าเม็ททั้ง 3 สูตรผสมมีประสิทธิภาพการกักเก็บยามากกว่า 98% มีการบวมตัวเล็กน้อย การบวมตัวของเม็ททั้ง 3 สูตรไม่มีความแตกต่างกันอย่างมีนัยสำคัญทางสถิติและเม็ทไม่มีการแตกเมื่อเวลาผ่านไป 24 ชั่วโมง จากการทดสอบการปลดปล่อยพบว่า ที่นาที่ที่ 10 เม็ทอัลจิเนต/ไคโตซาน 0.25% สามารถปลดปล่อยยาได้ $80.51 \pm 3.40\%$ เม็ทอัลจิเนต/ไคโตซาน 0.5% สามารถปลดปล่อยยาได้ $73.79 \pm 2.10\%$ และเม็ทอัลจิเนต/ไคโตซาน 1% สามารถปลดปล่อยยาได้ $89.49 \pm 1.71\%$ ตามลำดับ ซึ่งแสดงให้เห็นว่าเม็ทอัลจิเนต/ไคโตซาน 0.5% สามารถห้วงการปลดปล่อยยาได้ดีที่สุด และประสิทธิภาพในการยึดเกาะเยื่อเมือกพบว่าที่เม็ทอัลจิเนต/ไคโตซาน 0.25% เม็ทอัลจิเนต/ไคโตซาน 0.5% และเม็ทอัลจิเนต/ไคโตซาน 1% สามารถยึดเกาะเยื่อเมือกมีค่าเท่ากับ 74.33% 80% และ 82.33% ตามลำดับ ดังนั้นเมื่อพิจารณาสมบัติในด้านต่าง ๆ ประกอบกัน จึงสรุปได้ว่าเม็ทอัลจิเนต/ไคโตซาน 0.5% มีสมบัติที่เหมาะสมในการนำมาใช้เป็นระบบนำส่งยาอะม็อกซิซิลลินเพื่อใช้ในการรักษาโรคแผลในกระเพาะอาหาร

งานวิจัยของ Das, R.K. และคณะ [30] ได้ทำการศึกษาการสังเคราะห์อนุภาคประกอบนาโนไคโตซาน/อัลจิเนต ที่บรรจุไขมันชั้นไว้ภายในเพื่อทำการนำส่งยาไปยังเซลล์มะเร็ง มีการใช้สารพลูโรนิค (Pluronic F127) เป็นสารช่วยเพิ่มการละลายของไขมันชั้น โดยใช้เทคนิคการเชื่อมโยงแบบไอโอโนโทรปิกเริ่มต้นจากการนำไขมันชั้นมาละลายในเอทานอลแล้วนำมาเติมลงในสารละลายแคลเซียมคลอไรด์พร้อมกับสารพลูโรนิคจากนั้นเติมสารละลายโซเดียมอัลจิเนตและไคโตซานตามลำดับ นำไปปั่นกวนด้วยแม่เหล็กเป็นเวลา 45 นาที นำไปหมุนเหวี่ยงด้วยความเร็วรอบสูง ต่อมาล้างด้วยน้ำกลั่นแล้วนำไปตรวจวิเคราะห์ พบว่าการใช้สารพลูโรนิคเป็นสารช่วยเพิ่มการละลายของไขมันชั้นหากไม่มีการใช้สารพลูโรนิคจะทำให้ประสิทธิภาพในการกักเก็บลดลง พบว่าไขมันชั้นที่ความเข้มข้น 0.75% มีประสิทธิภาพในการกักเก็บสูงที่สุด อนุภาคที่ได้มีลักษณะเป็นทรงกลม มีขนาด 100 ± 20 nm เมื่อนำไปทดสอบการปลดปล่อยในสารละลายฟอสเฟตบัฟเฟอร์ซาไลน์ (PBS) ที่ค่า pH 7.4 ความเข้มข้น 150 $\mu\text{g/ml}$ ที่อุณหภูมิ 37°C อนุภาคสามารถปลดปล่อยได้ 51% ใน 24 ชั่วโมง มีอัตราการปลดปล่อยคงที่ที่ 72 ชั่วโมง หลังจากนั้นอัตราการปลดปล่อยลดลงจนถึงที่ 96 ชั่วโมง อนุภาคได้ทำการปลดปล่อยออกมาเป็นสารที่มีการเรืองแสงซึ่งมีประโยชน์ในการตรวจสอบภายในเซลล์ โดยใช้เซลล์ฮีลา (Hela) ที่ความเข้มข้น 500 $\mu\text{g/ml}$ ผลการทดสอบด้วยกล้องฟลูออเรสเซนซ์พบว่าเห็นไขมันชั้นที่ถูกห่อหุ้มด้วยสารไคโตซาน/อัลจิเนตเป็นสีเขียวในเซลล์ฮีลา

งานวิจัยของ Shu, X.Z. and Zhu, K. J. [31] ได้ทำการศึกษาการสังเคราะห์เม็ทไคโตซาน/โซเดียมไตรโพลีฟอสเฟต ที่บรรจุยาฟลูออเรสซินไอโซโธโอไซยานเตเด็กซ์แทรนส์ (FITC dextran) ไว้ภายในด้วยวิธีการแบบใหม่ โดยเตรียมเม็ทโดยนำสารละลายผสมไคโตซาน 4% เจลาติน 4% และยา 1% (w/v) ปริมาตร 2 ml ที่อุณหภูมิ 37°C ใส่ในเข็มฉีดยาหยดลงในน้ำมันงา 250 ml ที่อุณหภูมิ 4°C แล้วกระตุ้นให้เกิดการแข็งตัวของเจลาตินทิ้งไว้เป็นเวลา 30 นาที จากนั้นเทน้ำมันงาทิ้งแล้วเติมสารละลายโซเดียมไตรโพลีฟอสเฟต 100 ml นำไปปั่นกวนที่อุณหภูมิ 4 ml เป็นเวลา 15 30

เอกสารนี้เป็นเอกสารที่สงวนไว้สำหรับการใช้งานเพื่อการศึกษาเท่านั้น ไม่อนุญาตให้นำไปใช้ประโยชน์ด้านการค้า
ไม่ว่ากรณีใดๆ ทั้งสิ้น อีกทั้งห้ามมิให้ดัดแปลงเนื้อหา และต้องอ้างอิงถึงเจ้าของเอกสารทุกครั้งที่มีการนำไปใช้

และ 60 นาที ต่อมากรองแยกเม็ดออกแล้วล้างด้วยน้ำกลั่น นำไปทำให้แห้งแบบสุญญากาศที่อุณหภูมิห้อง พบว่าเม็ดที่ได้มีขนาด 1.2-1.5 mm และเม็ดที่เวลา 60 นาทีนั้นมีความเป็นเนื้อเดียวกันมากที่สุด เนื่องจากระยะเวลาที่นานทำให้เกิดการเชื่อมโยงอย่างสมบูรณ์โดยมีความหนาแน่นที่บริเวณเปลือกมากที่สุดและจะลดลงไปเรื่อย ๆ ศูนย์กลางเม็ด จากนั้นนำไปทดสอบความแข็งแรงเชิงกลพบว่าเม็ดมีความแข็งแรงมากขึ้นและมีประสิทธิภาพในการบรรจุยาฟลูออเรสซินไอโซโธไซยาเนตเด็กซ์-แทรนส์สูงถึง 90% นอกจากนี้ยังมีการทดสอบการปลดปล่อยยาฟลูออเรสซินไอโซโธไซยาเนตเด็กซ์-แทรนส์ตรวจวัดด้วยเครื่อง UV-Vis พบว่า เม็ดที่มีระยะเวลาในการเชื่อมโยง 15 นาที สามารถปลดปล่อยได้ดีที่สุดคือ 91% ในระยะเวลา 10 ชั่วโมง

งานวิจัยของ Sowasod, N. และคณะ [32] ได้ทำการศึกษาการสังเคราะห์นาโนแคปซูลโคโตซานที่บรรจุน้ำมันชันไม้ภายใน ด้วยวิธีการอิมัลชัน (Emulsion) โดยมีขั้นตอนการสังเคราะห์ที่ซับซ้อน โดยเริ่มต้นจากเตรียมสารละลายโคโตซานเข้มข้น 2, 2.5 และ 3% (w/v) ในกรดอะซิติก จากนั้นเติมสารเชื่อมโยง Tween 80 ซึ่งจะอยู่ในวัฏภาคน้ำ ต่อมาละลายไขมันชันในเอทานอลที่อุณหภูมิ 60°C ซึ่งจะอยู่ในวัฏภาคน้ำมัน จากนั้นนำทั้งสองวัฏภาคมาทำให้เป็นเนื้อเดียวกันด้วยเครื่องโฮโมจีไนเซอร์ (Homogenizer) แล้วเติมน้ำมันมิเนอรัล (Mineral oil) ที่ผสมกับสารเชื่อมโยง Span 80 ลงไป นำมาเข้าเครื่องโฮโมจีไนเซอร์อีกครั้ง จากนั้นเติมสารละลายโซเดียมไตรโพลฟอสเฟต 1.5% (w/v) จะได้นาโนแคปซูลอิมัลชัน o/w/o นำไประเหยตัวทำละลายออกที่อุณหภูมิ 50°C แล้วนำไปหมุนเหวี่ยงด้วยความเร็วรอบสูงเพื่อแยกนาโนแคปซูลออกจากน้ำมันมิเนอรัล แล้วล้างด้วยสารละลายปิโตรเลียมอีเทอร์ จากนั้นนำไปทำให้แห้งแบบเยือกแข็งเพื่อกำจัดน้ำออก จากผลการวิเคราะห์พบว่าอนุภาคนาโนแคปซูลมีขนาดเฉลี่ย 253-415 nm และมีประสิทธิภาพการห่อหุ้ม 18-96% ที่โคโตซาน 2% มีขนาดอนุภาคเล็กที่สุดแต่มีประสิทธิภาพการห่อหุ้มสูงที่สุด

งานวิจัยของ Chatterjee, S. และคณะ [33] ได้ทำการศึกษาการสังเคราะห์อนุภาคไมโครโคโตซาน/โซเดียมโอดีซิลซัลเฟตที่บรรจุน้ำมันลินสีด (Linseed oil) ไว้ภายใน ด้วยวิธีการเกิดเจลแบบไอออนิก โครงสร้างของอนุภาคไมโครที่ได้จะเป็นในลักษณะไมเซลล์ ตรงกลางจะบรรจุน้ำมันลินสีดไว้ และบริเวณเปลือกของอนุภาคไมโครคือโคโตซานเริ่มต้นจากการทำอิมัลชันน้ำมันในน้ำโดยผสมน้ำมันลินสีดกับสารละลายโซเดียมโอดีซิลซัลเฟตให้เป็นเนื้อเดียวกันด้วยเครื่อง โฮโมจีไนเซอร์ 11000 rpm จากนั้นนำมาเติมสารละลายโคโตซาน 60 ml พร้อมปั่นกวนที่อุณหภูมิ 50°C พบว่าขนาดอนุภาคไมโครที่ได้มีขนาด 2-5 μm มีพื้นผิวขรุขระ และเมื่อทำการตรวจวัดด้วยเครื่องวัดค่าศักย์ซีต้า (Zeta potential measurement) พบว่าการเติมโคโตซานที่ปริมาณ 15 ml ทำให้อนุภาคไมโครมีเสถียรภาพการกระจายตัวที่ดีที่สุด และการเติมโคโตซานที่ปริมาณ 60 ml เกิดการอิมัลชันของประจุบวกโคโตซานส่งผลให้อนุภาคไมโครเกิดการรวมตัวกันเป็นกลุ่มก้อน

เอกสารนี้เป็นเอกสารที่สงวนไว้สำหรับการใช้งานเพื่อการศึกษาเท่านั้น ไม่อนุญาตให้นำไปใช้ประโยชน์ด้านการค้าไม่ว่ากรณีใดๆ ทั้งสิ้น อีกทั้งห้ามมิให้ดัดแปลงเนื้อหา และต้องอ้างอิงถึงเจ้าของเอกสารทุกครั้งที่มีการนำไปใช้

บทที่ 3

วิธีดำเนินการวิจัย

3.1 สารเคมี

1. ไคโตซาน (Chitosan) บริษัท รวมเคมี จำกัด เกรดการค้า
2. โซเดียมโดเดซิลซัลเฟต (Sodium dodecyl sulfate, SDS) บริษัท รวมเคมี จำกัด เกรดการค้า
3. โซเดียมไตรพอลิฟอสเฟต (Sodium tripolyphosphate, STPP) บริษัท รวมเคมี จำกัด เกรดการค้า
4. กรดอะซิติก (Acetic acid, CH_3COOH) บริษัท LAB-SCAN จำกัด เกรดวิเคราะห์
5. ขมิ้นชัน (Curcumin) บริษัท อภัยภูเบศร จำกัด เกรดการแพทย์
6. น้ำมันมะพร้าว (Coconut oil) บริษัท ทropicคอลลูทริชั่น จำกัด เกรดอาหาร
7. เอทานอล (Ethanol, $\text{C}_2\text{H}_6\text{O}$) บริษัท Claro Erba จำกัด เกรดวิเคราะห์
8. สารละลายจำลองสภาวะน้ำย่อยในกระเพาะอาหาร (Simulated gastric fluid, SGF)
9. โพแทสเซียมโบรไมด์ (KBr) บริษัท รวมเคมี จำกัด เกรดวิเคราะห์

3.2 เครื่องมือและอุปกรณ์

1. กระบอกฉีดยา ขนาด 5 ml
2. เข็มฉีดยา ขนาด 0.6 x 40 mm
3. ไมโครปิเปต
4. แท่งแม่เหล็กสำหรับปั่นกวน
5. เครื่องปั่นกวนสารด้วยแท่งแม่เหล็ก บริษัท IKA จำกัด รุ่น Werke Ro 5
6. เครื่องชั่งละเอียด 4 ตำแหน่ง บริษัท Denver จำกัด รุ่น SI-234
7. ตู้ดูดควัน บริษัท Flexlab จำกัด รุ่น FH120DC
8. ตู้เย็นแบบแช่แข็ง
9. เครื่องเย่าสาร
10. เครื่องทำแห้งแบบเยือกแข็ง (Freeze Dryer) บริษัท Scantvac Coolsafe จำกัด รุ่น 110-4
11. เครื่องยูวี-วิสิเบิลสเปกโตรโฟโตมิเตอร์ (UV-Visible spectrophotometer, UV-Vis) บริษัท Thermo Scientific จำกัด รุ่น Helios Omega
12. เครื่องฟูเรียรทรานสฟอร์มอินฟราเรดสเปกโตรโฟโตมิเตอร์ (Fourier transform infrared spectrophotometer, FT-IR) บริษัท PerkinElmer จำกัด รุ่น Spectrum GX

เอกสารนี้เป็นเอกสารที่สงวนไว้สำหรับการใช้งานเพื่อการศึกษาเท่านั้น ไม่อนุญาตให้นำไปใช้ประโยชน์ด้านการค้าไม่ว่ากรณีใดๆ ทั้งสิ้น อีกทั้งห้ามมิให้ดัดแปลงเนื้อหา และต้องอ้างอิงถึงเจ้าของเอกสารทุกครั้งที่มีการนำไปใช้

13. เครื่องดิฟเฟอเรนเชียลสแกนนิ่งแคลอริมิเตอร์ (Differential scanning calorimeter, DSC) บริษัท NETZECH จำกัด รุ่น DSC 204 FI

14. เครื่องวิเคราะห์การเปลี่ยนแปลงน้ำหนักของสารโดยอาศัยสมบัติทางความร้อน (Thermogravimetric analyzer, TGA) บริษัท PerkinElmer จำกัด รุ่น Pyris 1 TGA

15. กล้องจุลทรรศน์อิเล็กตรอนแบบส่องกราด (Scanning electron microscope, SEM) บริษัท Carl Zeiss จำกัด รุ่น Evo 10

3.3 การดำเนินการทดลอง

3.3.1 การเตรียมอนุภาคโคโตซานที่เชื่อมโยงด้วย STPP หรือ SDS

1. เตรียมสารละลายโคโตซานที่ความเข้มข้น 6% (w/v) โดยใช้กรดอะซิติกเข้มข้น 2% (v/v) เป็นตัวทำละลาย
2. เตรียมสารละลาย STPP หรือ SDS ที่ความเข้มข้น 3 4 5 และ 6% (w/v) โดยใช้ น้ำกลั่นเป็นตัวทำละลาย
3. ใช้กระบอกฉีดยาดูดสารละลายโคโตซานปริมาณ 2 mm
4. หยดสารละลายโคโตซานผ่านเข็มฉีดยาขนาดเส้นผ่านศูนย์กลาง 0.6 mm ลงในสารละลาย STPP หรือ SDS ที่ความเข้มข้น 3 4 5 และ 6% (w/v)
5. ตั้งทิ้งไว้เป็นเวลา 10 นาทีเพื่อให้เกิดอนุภาคโคโตซานที่สมบูรณ์
6. แยกอนุภาคโคโตซานออกจากสารละลาย ใส่จานเพาะเชื้อ และล้างด้วยน้ำกลั่น 2 รอบ
7. นำไปแช่แข็งเป็นเวลา 1 คืน
8. นำไปทำให้แห้งด้วยเครื่องทำแห้งแบบเยือกแข็งเป็นเวลา 48 ชั่วโมง

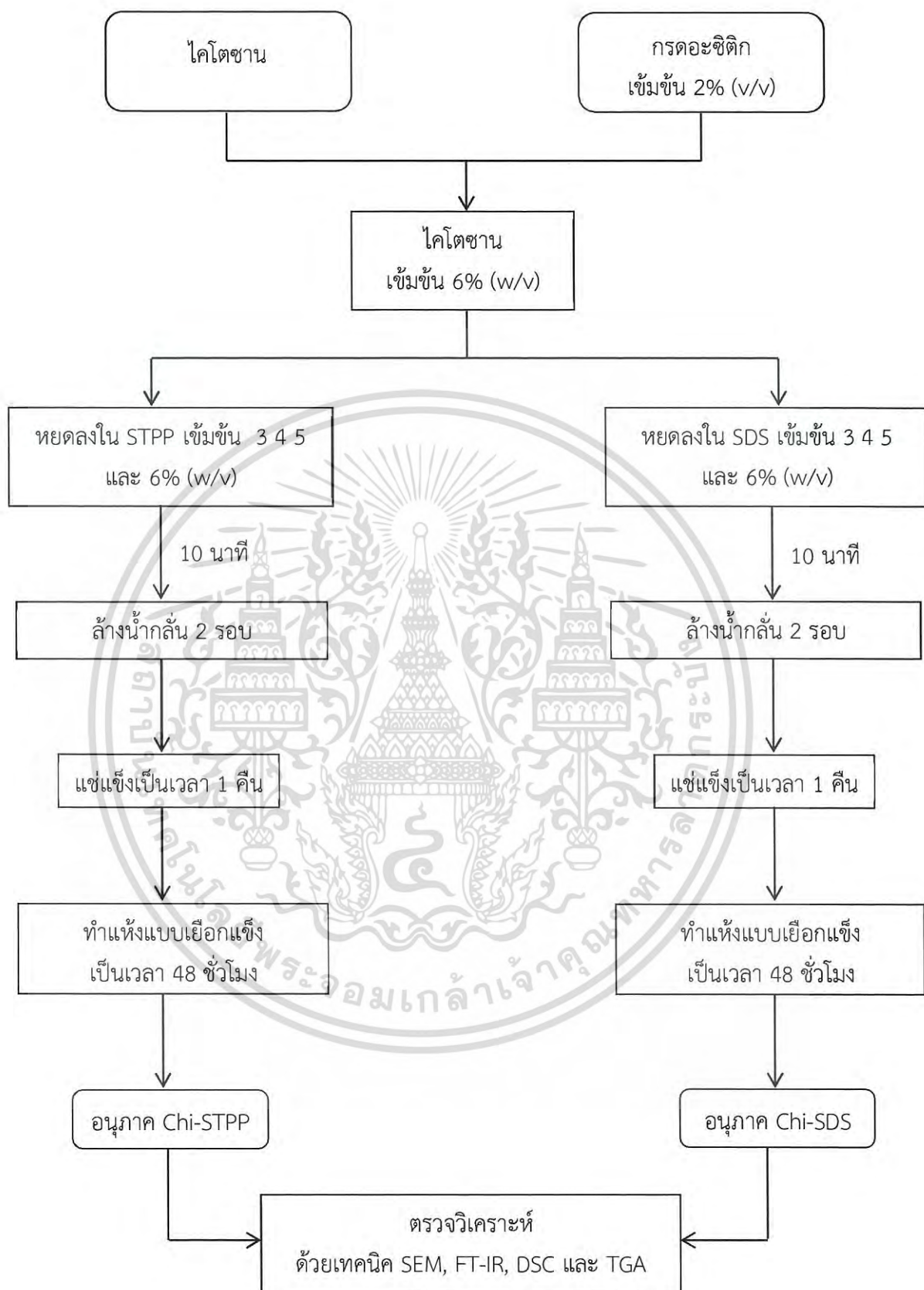
สภาวะการเตรียมอนุภาคโคโตซานสรุปได้ดังตารางที่ 3.1 และขั้นตอนการเตรียมดังแสดงในรูปที่ 3.1

ตารางที่ 3.1 ตัวอย่างอนุภาคโคโตนที่เชื่อมโยงด้วย STPP หรือ SDS

ชื่อตัวอย่าง	ปริมาตรของ สารละลายโคโตน (ml)	ปริมาณของสารละลาย เชื่อมโยง (ml)		ความเข้มข้นของสารละลาย เชื่อมโยง (% w/v)	
		STPP	SDS	STPP	SDS
Chi-T3	2	20	-	3	-
Chi-T4	2	20	-	4	-
Chi-T5	2	20	-	5	-
Chi-T6	2	20	-	6	-
Chi-S3	2	-	20	-	3
Chi-S4	2	-	20	-	4
Chi-S5	2	-	20	-	5
Chi-S6	2	-	20	-	6



เอกสารนี้เป็นเอกสารที่สงวนไว้สำหรับการใช้งานเพื่อการศึกษาเท่านั้น ไม่อนุญาตให้นำไปใช้ประโยชน์ด้านการค้า
ไม่ว่ากรณีใดๆ ทั้งสิ้น อีกทั้งห้ามมิให้ดัดแปลงเนื้อหา และต้องอ้างอิงถึงเจ้าของเอกสารทุกครั้งที่มีการนำไปใช้



รูปที่ 3.1 แผนภาพแสดงการเตรียมอนุภาคโคโตะซานที่เชื่อมโยงโดย STPP หรือ SDS

เอกสารนี้เป็นเอกสารที่สงวนไว้สำหรับใช้ภายในเพื่อการศึกษาเท่านั้น ไม่อนุญาตให้นำไปใช้ประโยชน์ทางการค้า
ไม่ว่ากรณีใดๆ ทั้งสิ้น อีกทั้งห้ามมิให้ดัดแปลงเนื้อหา และต้องอ้างอิงถึงเจ้าของเอกสารทุกครั้งที่มีการนำไปใช้

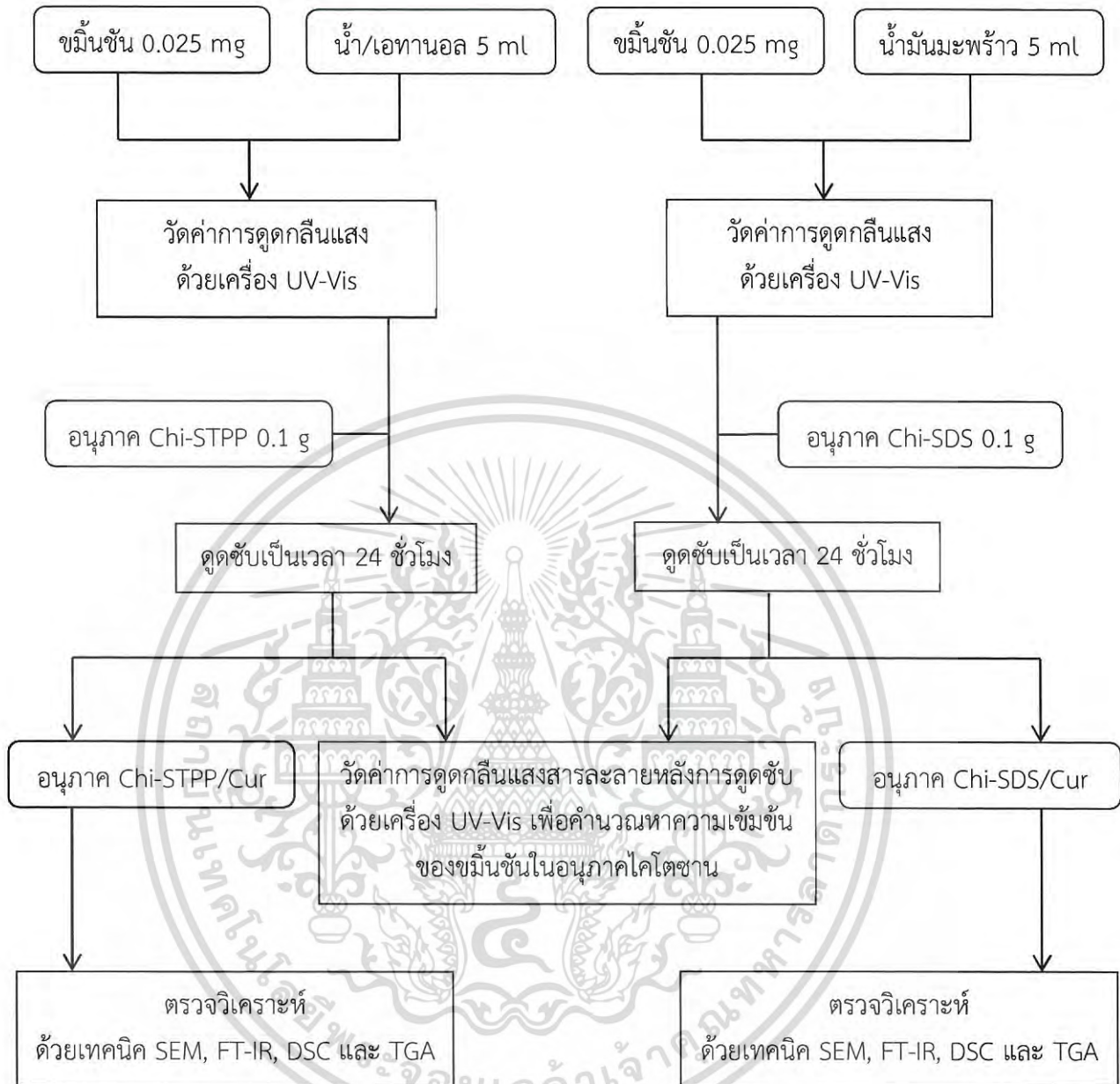
3.3.2 การบรรจุขมิ้นชันในอนุภาคไคโตซาน

ในการศึกษาเบื้องต้นโดยทำการทดลองแช่อนุภาค Chi-STPP และ Chi-SDS ลงทั้งในสารละลายขมิ้นชันที่มีฟสมเอทานอล และน้ำมันมะพร้าวเป็นตัวทำละลาย พบว่า อนุภาค Chi-STPP สามารถบรรจุขมิ้นชันที่มีน้ำฟสมเอทานอลเป็นตัวทำละลายได้ดีกว่า เนื่องจากอนุภาค Chi-STPP มีโครงสร้างแบบโครงร่างตาข่ายที่น้ำสามารถแทรกตัวได้ ส่วนอนุภาค Chi-SDS สามารถบรรจุขมิ้นชันที่มีน้ำฟสมเอทานอลเป็นตัวทำละลายได้ดีกว่า เนื่องจากอนุภาค Chi-SDS มีโครงสร้างเป็นแบบไมเซลล์ที่หันส่วนหางที่ไม่มีขั้วเข้าสู่ภายในทำให้ขมิ้นชันที่มีตัวทำละลายเป็นน้ำมันมะพร้าวซึ่งมีลักษณะไม่มีขั้ว สามารถบรรจุเข้าสู่อนุภาค Chi-SDS ได้ดี งานวิจัยนี้จึงทำการบรรจุขมิ้นชันลงในอนุภาค Chi-STPP ด้วยสารละลายขมิ้นชันที่มีน้ำฟสมเอทานอลเป็นตัวทำละลาย และทำการบรรจุขมิ้นชันลงในอนุภาค Chi-SDS ด้วยสารละลายขมิ้นชันที่มีน้ำมันมะพร้าวเป็นตัวทำละลาย

ซึ่งมีการเตรียมกราฟมาตรฐานของสารละลายขมิ้นชันที่มีตัวทำละลาย 2 ชนิด โดยทำการละลายขมิ้นชันที่มีความเข้มข้น 10 20 30 40 และ 50 mg/l ในตัวทำละลายน้ำฟสมเอทานอล และน้ำมันมะพร้าว จากนั้นนำไปตรวจวัดค่าการดูดกลืนแสง (Absorbance, Abs) ด้วยเครื่อง UV-Vis เพื่อทำการสร้างกราฟมาตรฐานที่มีแกน X เป็นปริมาณของขมิ้นชัน และแกน Y เป็นค่าการดูดกลืนแสง โดยสมการเส้นตรงที่ได้จากกราฟมาตรฐานนี้จะสามารถนำมาคำนวณหาปริมาณของขมิ้นชันจากค่าการดูดกลืนแสงได้

1. เตรียมสารละลายขมิ้นชันที่มีความเข้มข้น 50 mg/l โดยใช้ น้ำฟสมเอทานอล หรือน้ำมันมะพร้าวเป็นตัวทำละลาย
2. วัดค่าการดูดกลืนแสงของสารละลายขมิ้นชันเริ่มต้น ด้วยเครื่อง UV-Vis
3. นำอนุภาคไคโตซานทั้ง 2 ระบบ มาแช่ในสารละลายขมิ้นชัน ในอัตราส่วนของอนุภาคไคโตซานต่อสารละลายขมิ้นชัน 0.1 g/5 ml เป็นเวลา 24 ชั่วโมงโดยมีการเขย่าสารตลอดเวลา
4. เมื่อครบกำหนดเวลาที่ต้องการ นำอนุภาคไคโตซานแยกออกจากสารละลายขมิ้นชัน
5. นำสารละลายขมิ้นชันหลังการแช่มาวัดค่าการดูดกลืนแสงด้วยเครื่อง UV-Vis
6. นำค่าการดูดกลืนแสงที่ได้ไปคำนวณเป็นความเข้มข้นจากสมการเส้นตรงที่ได้จากกราฟมาตรฐาน แล้วนำไปเทียบกับความเข้มข้นของสารละลายขมิ้นชันเริ่มต้น เพื่อหาปริมาณของขมิ้นชันในอนุภาคไคโตซาน

ขั้นตอนการบรรจุขมิ้นชันในอนุภาคไคโตซานดังแสดงในรูปที่ 3.2



รูปที่ 3.2 แผนภาพแสดงการบรรจุไขมันชันในอนุภาคไคโตซาน

เอกสารนี้เป็นเอกสารที่สงวนไว้สำหรับการใช้งานเพื่อการศึกษาเท่านั้น ไม่อนุญาตให้นำไปใช้ประโยชน์ด้านการค้า
ไม่ว่ากรณีใดๆ ทั้งสิ้น อีกทั้งห้ามมิให้ดัดแปลงเนื้อหา และต้องอ้างอิงถึงเจ้าของเอกสารทุกครั้งที่มีการนำไปใช้

3.3.3 การปลดปล่อยไขมันชั้นจากอนุภาคโคโตซานบรรจุไขมันชั้น

นำอนุภาคโคโตซานบรรจุไขมันชั้นมาแช่ในสารละลายจำลองสภาวะน้ำย่อยในกระเพาะอาหาร (SGF) ที่มีค่า pH 1.2 ที่เตรียมได้ (ใช้โซเดียมคลอไรด์ 2.5 g ละลายในกรดไฮโดรคลอริก เข้มข้น 1 M ปริมาตร 500 ml ปรับค่า pH เท่ากับ 1.2) โดยแช่ที่อุณหภูมิ 37°C แล้วทำการเปลี่ยนสารละลายใหม่เมื่อระยะเวลาการแช่เป็น 1 3 5 และ 7 ชั่วโมง จากนั้นทิ้งไว้จนครบ 24 ชั่วโมง โดยสารละลาย SGF ที่แยกออกมาในช่วงเวลาต่าง ๆ จะถูกนำไปวัดค่าการดูดกลืนแสงที่ความยาวคลื่น 417 nm ด้วยเทคนิค UV-Vis เพื่อนำมาคำนวณหาปริมาณในการปลดปล่อยของไขมันชั้นจากกราฟมาตรฐานของสารละลายไขมันชั้น

3.3.4 การตรวจวิเคราะห์อนุภาคโคโตซานก่อนและหลังบรรจุไขมันชั้น

- การทดสอบด้วยเครื่องดิฟเฟอเรนเชียลสแกนนิ่งแคลอริมิเตอร์ (DSC)

นำอนุภาคโคโตซานทั้ง 2 ระบบมาตรวจวิเคราะห์การเชื่อมโยงโดยมีสภาวะดังนี้ อุณหภูมิที่ใช้วิเคราะห์ คือ 40 ถึง 400°C อัตราการให้ความร้อน และอัตราการเย็นตัว 10°C/min และอัตราการไหลของแก๊สไนโตรเจน 20 ml/min

- การทดสอบด้วยเครื่องวิเคราะห์การเปลี่ยนแปลงน้ำหนักของสารโดยอาศัยคุณสมบัติทางความร้อน (TGA)

นำอนุภาคโคโตซาน 2 ระบบมาตรวจวิเคราะห์ด้วยเทคนิค TGA โดยวิเคราะห์ในช่วงอุณหภูมิตั้งแต่ 50 ถึง 700°C โดยมีอัตราการให้ความร้อน 10°C/min และอัตราการไหลของแก๊สไนโตรเจน 20 ml/min

- การทดสอบด้วยกล้องจุลทรรศน์อิเล็กตรอนแบบส่องกราด (SEM)

นำอนุภาคโคโตซาน และอนุภาคโคโตซานบรรจุไขมันชั้นมาตรวจวิเคราะห์ลักษณะทางกายภาพ และลักษณะทางสัณฐานวิทยา ด้วยกล้องจุลทรรศน์อิเล็กตรอนแบบส่องกราด (SEM) เพื่อให้ทราบถึงลักษณะพื้นผิวภายในและภายนอกของอนุภาคโคโตซาน

- การทดสอบด้วยเครื่องฟูเรียรทรานสฟอร์มอินฟราเรดสเปกโทรโฟโตมิเตอร์ (FT-IR)

นำอนุภาคโคโตซาน และอนุภาคโคโตซานบรรจุไขมันชั้นมาตรวจวิเคราะห์ด้วยวิธี Disc diffusion โดยนำอนุภาคโคโตซาน และอนุภาคโคโตซานบรรจุไขมันชั้นอัดรวมกับผงโพแทสเซียมโบรไมด์ (KBr) เพื่อเตรียมเป็นแผ่น จากนั้นวัดการดูดกลืนอินฟราเรดในช่วงคลื่น 400–4000 cm^{-1}

บทที่ 4

ผลการทดลองและการอภิปรายผล

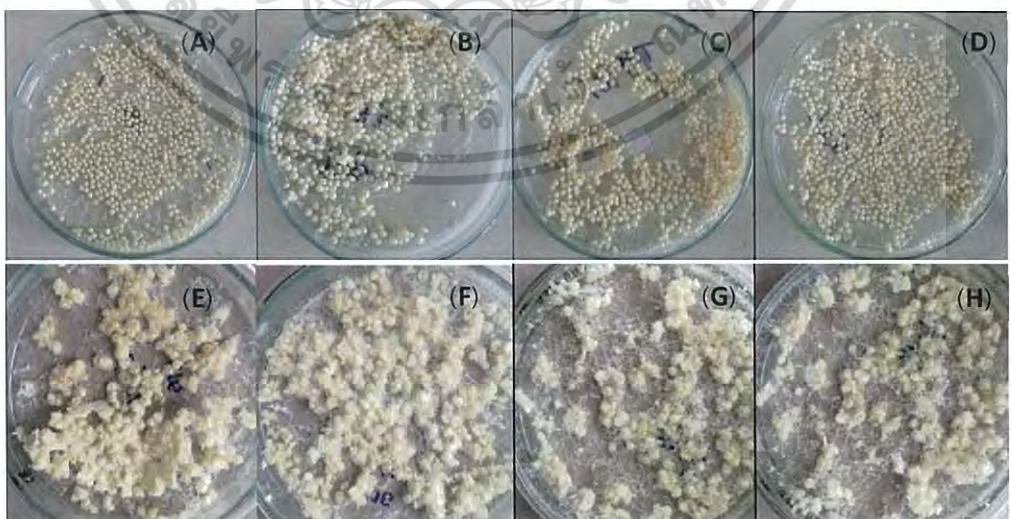
4.1 การเตรียมอนุภาคโคโตซาน

ในโครงการพิเศษนี้ได้ทำการเตรียมอนุภาคโคโตซาน โดยปรับเปลี่ยนชนิดสารเชื่อมโยง และความเข้มข้นของสารเชื่อมโยงที่ใช้ในการเตรียมอนุภาคโคโตซาน แล้วนำมาวิเคราะห์ลักษณะทางกายภาพและสมบัติทางเคมีบางประการ ด้วยเทคนิคต่าง ๆ และทำการทดสอบความสามารถในการบรรจุไขมันชั้นในอนุภาคโคโตซาน และปลดปล่อยไขมันชั้นออกจากอนุภาคโคโตซานที่เตรียมได้ในสภาวะที่เหมาะสม

การเตรียมอนุภาคโคโตซานสามารถเตรียมได้ โดยการหยดสารละลายโคโตซานลงในสารละลายเชื่อมโยง 2 ระบบ คือ โซเดียมโดเดซิลซัลเฟต ($\text{NaC}_{12}\text{H}_{25}\text{SO}_4$, SDS) และ โซเดียมไตรพอลิฟอสเฟต ($\text{Na}_5\text{P}_3\text{O}_{10}$, STPP) ที่มีความเข้มข้นของสารเชื่อมโยงแตกต่างกัน โดยอนุภาคโคโตซานที่ได้จะมีลักษณะเป็นเม็ดทรงกลมขนาดเล็กเส้นผ่านศูนย์กลางประมาณ 2.4 ± 1.2 μm โดยจะนำอนุภาคโคโตซานที่เตรียมได้จากทั้ง 2 ระบบมาศึกษาลักษณะทางกายภาพและสัณฐานวิทยา ดังแสดงในหัวข้อ 4.1.1

4.1.1 ลักษณะทางกายภาพและสัณฐานวิทยาของอนุภาคโคโตซาน

ลักษณะทางกายภาพของอนุภาคโคโตซานที่สังเคราะห์ได้หลังจากการทำแห้งแบบเยือกแข็งอนุภาคโคโตซานที่เตรียมได้จะมีลักษณะ ดังแสดงในรูปที่ 4.1



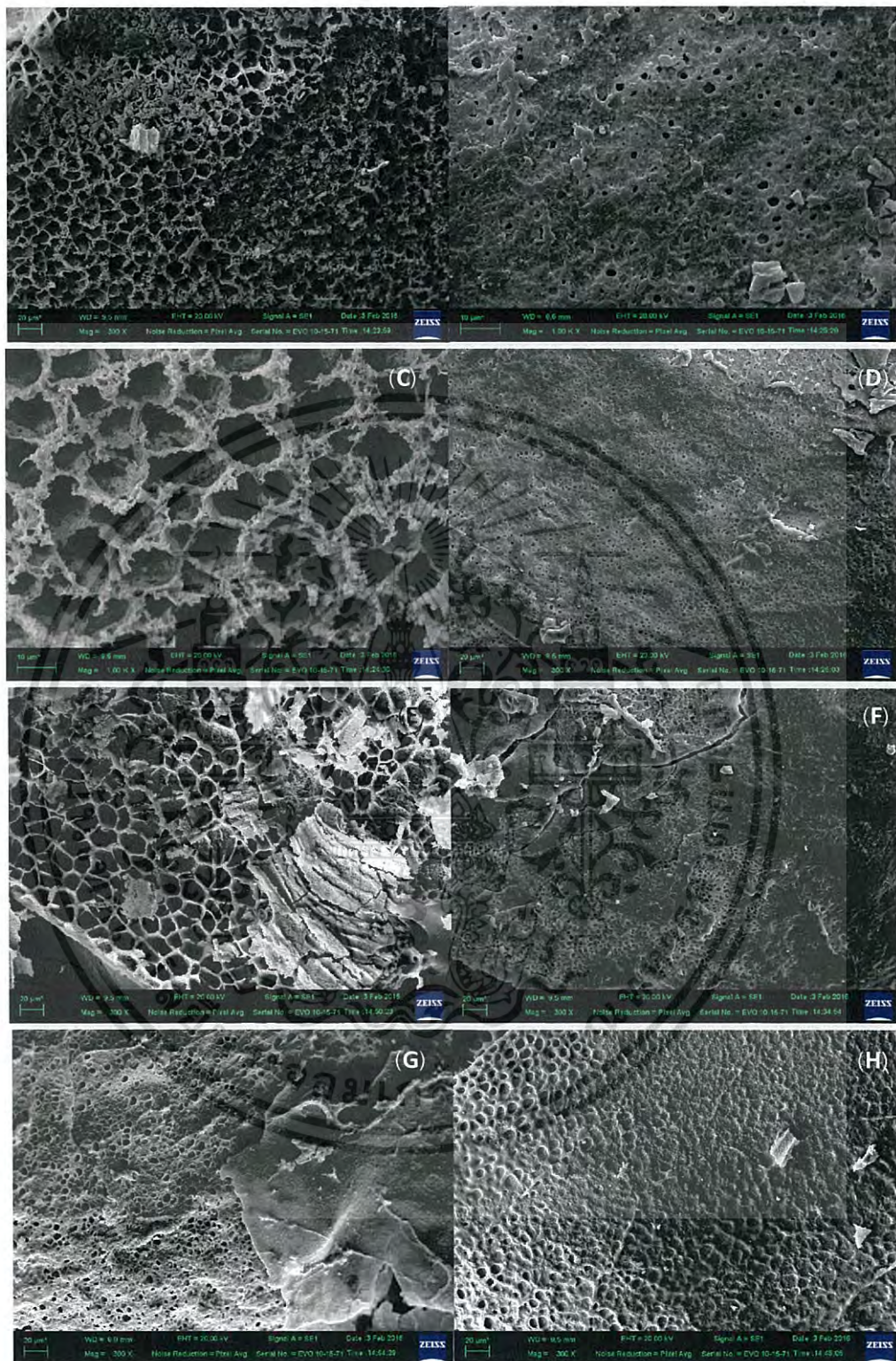
รูปที่ 4.1 ลักษณะทางกายภาพหลังจากการทำแห้งแบบเยือกแข็งของ (A) Chi-T3, (B) Chi-T4, (C)

Chi-T5, (D) Chi-T6, (E) Chi-S3, (F) Chi-S4, (G) Chi-S5 และ (H) Chi-S6

ไม่ว่ากรณีใดๆ ทั้งสิ้น อีกทั้งห้ามมิให้ดัดแปลงเนื้อหา และต้องอ้างอิงถึงเจ้าของเอกสารทุกครั้งที่มีการนำไปใช้

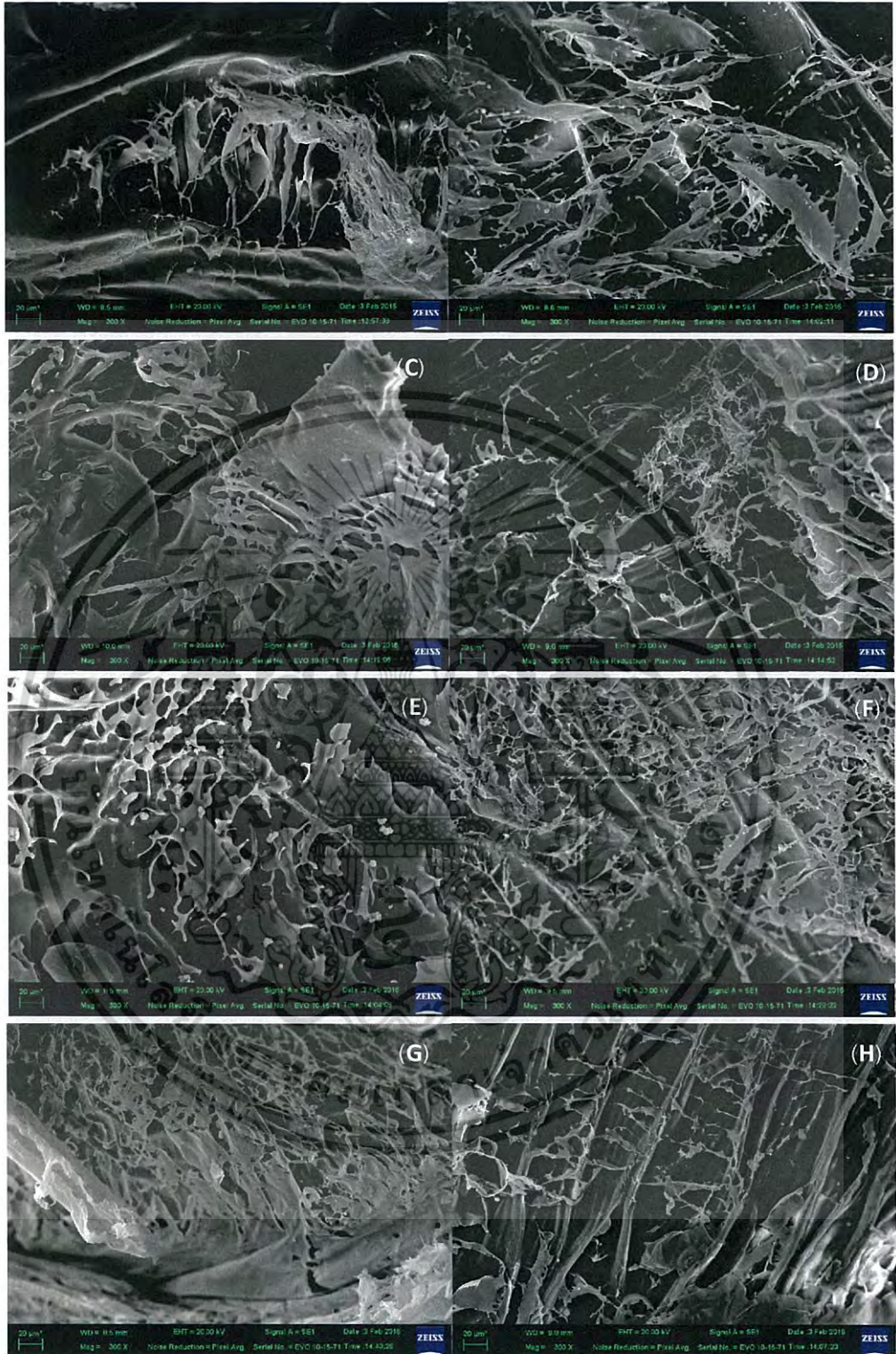
จากรูปที่ 4.1 แสดงลักษณะทางกายภาพของอนุภาคโคโตซานที่เตรียมได้โดยใช้ระบบสารเชื่อมโยงที่แตกต่างกันหลังจากการทำแห้งแบบเยือกแข็ง เมื่อพิจารณาจากรูปที่ 4.1 (A-D) ซึ่งแสดงลักษณะทางกายภาพของอนุภาคโคโตซานจากระบบที่ใช้สารเชื่อมโยง STPP เข้มข้น 3 4 5 และ 6% (w/v) ตามลำดับ มีลักษณะเป็นเม็ดทรงกลม สีขาวเหลืองขุ่น ขนาดเล็ก และมีความคงตัวของรูปร่าง ในขณะที่รูปที่ 4.1 (E-H) ซึ่งแสดงลักษณะทางกายภาพของอนุภาคโคโตซานจากระบบที่ใช้สารเชื่อมโยง SDS เข้มข้น 3 4 5 และ 6% (w/v) ตามลำดับ มีลักษณะค่อนข้างเป็นทรงกลม แต่ไม่สมบูรณ์ มีการจับกันเป็นกลุ่มก้อน และมีบางส่วนมีลักษณะเป็นแผ่นฟิล์มบางเชื่อมอนุภาคทรงกลมเข้าด้วยกัน อนุภาคมีสีเหลืองอ่อน ไม่มีความคงตัวของรูปร่าง จากผลข้างต้นแสดงให้เห็นว่าอนุภาคโคโตซานที่เตรียมโดยใช้สารเชื่อมโยงต่างชนิดกัน เมื่อใช้สังเคราะห์อนุภาคโคโตซาน จะเกิดการพอร์มตัวในลักษณะที่ต่างกัน โดยสันนิษฐานว่า STPP นั้นจะมีลักษณะการเชื่อมโยงเป็นโครงร่างตาข่าย ส่วน SDS มีลักษณะการเชื่อมโยงเป็นแบบไมเซลล์ (Micelle) เมื่อพิจารณาจากอนุภาคโคโตซานเบื้องต้นโดยทำการทดสอบความแข็งแรงของอนุภาคด้วยวิธีการบีบกดอนุภาคที่ได้หลังจากการทำแห้งแบบเยือกแข็ง พบว่า Chi-T6 มีความแข็งแรง และแตกยากกว่า Chi-T3 เล็กน้อย ส่วน Chi-S6 ก็มีความแข็งแรง ความยืดหยุ่น และแตกยากกว่า Chi-S3 เล็กน้อยเช่นกัน จึงสรุปได้ว่า เมื่อความเข้มข้นของสารเชื่อมโยงที่เพิ่มมากขึ้นจะส่งผลต่อความแข็งแรงของอนุภาค โคโตซานที่สังเคราะห์ได้ ทำให้ความหนาแน่นภายในของอนุภาคโคโตซานเพิ่มมากขึ้น แต่ลักษณะภายนอกของอนุภาคโคโตซานไม่ได้มีความแตกต่างกันมากอย่างชัดเจน

เมื่อนำอนุภาคโคโตซานที่เตรียมได้ มาศึกษาลักษณะสัณฐานวิทยาด้วยกล้องจุลทรรศน์อิเล็กตรอนแบบส่องกราด เพื่อดูลักษณะพื้นผิวภายในและภายนอกของอนุภาคโคโตซานที่เตรียมได้จากสารเชื่อมโยง STPP และ SDS ดังแสดงในรูปที่ 4.2 และ 4.3 ตามลำดับ



รูปที่ 4.2 ลักษณะทางสัณฐานวิทยาจากกล้องจุลทรรศน์อิเล็กตรอนแบบส่องกราด (SEM) โดยแสดงพื้นผิวภายในและภายนอกของ (A-B) Chi-T3, (C-D) Chi-T4, (E-F) Chi-T5 และ (G-H) Chi-T6 ตามลำดับ

เอกสารนี้เป็นเอกสารที่สงวนไว้สำหรับการใช้งานเพื่อการศึกษาเท่านั้น ไม่อนุญาตให้นำไปใช้ประโยชน์ด้านการค้าไม่ว่ากรณีใดๆ ทั้งสิ้น อีกทั้งห้ามมิให้ดัดแปลงเนื้อหา และต้องอ้างอิงถึงเจ้าของเอกสารทุกครั้งที่มีการนำไปใช้

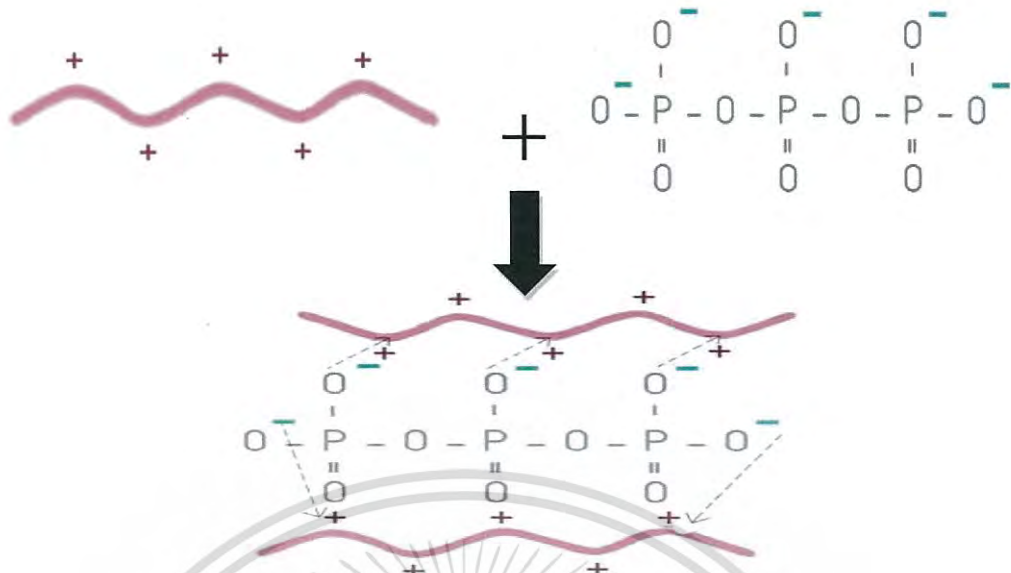


รูปที่ 4.3 ลักษณะทางสัณฐานวิทยาจากกล้องจุลทรรศน์อิเล็กตรอนแบบส่องกราด (SEM) โดยแสดงพื้นผิวภายในและภายนอกของ (A-B) Chi-S3, (C-D) Chi-S4, (E-F) Chi-S5 และ (G-H) Chi-S6 ตามลำดับ

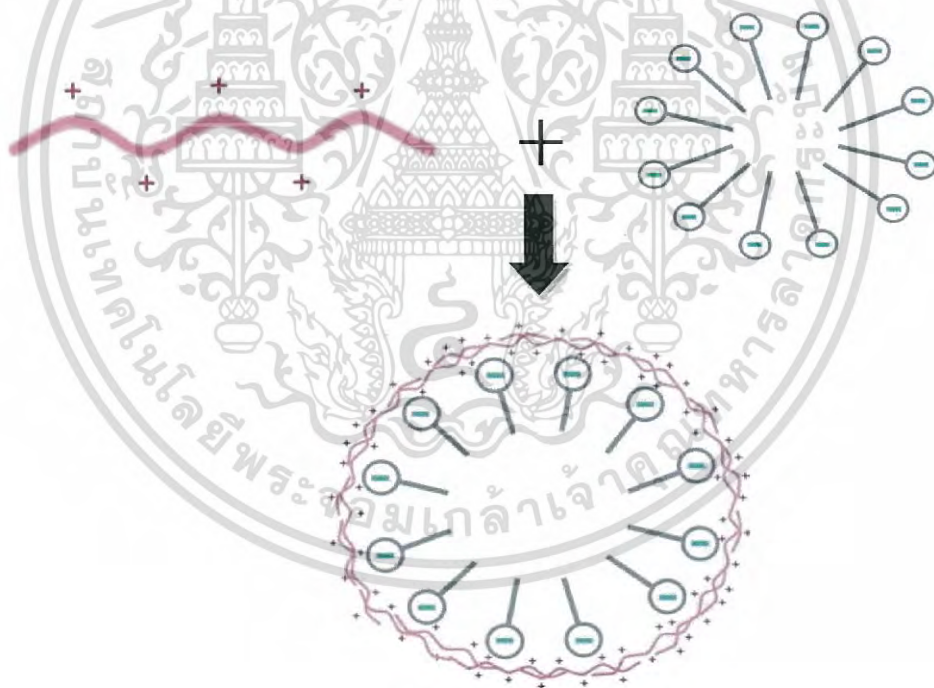
เอกสารนี้เป็นเอกสารที่สงวนไว้สำหรับการใช้งานเพื่อการศึกษาเท่านั้น ไม่อนุญาตให้นำไปใช้ประโยชน์ด้านการค้า ไม่ว่าจะกรณีใดๆ ทั้งสิ้น อีกทั้งห้ามมิให้ดัดแปลงเนื้อหา และต้องอ้างอิงถึงเจ้าของเอกสารทุกครั้งที่มีการนำไปใช้

จากรูปที่ 4.2 จะเห็นได้ว่าอนุภาคโคโตซานที่ใช้สารเชื่อมโยง STPP มีลักษณะเป็น รุพุนจำนวนมากทั้งภายในและภายนอก ทั้งนี้รุพุนจำนวนมากที่เกิดขึ้นในอนุภาคโคโตซาน ที่เชื่อมโยงด้วย STPP ที่ความเข้มข้นต่าง ๆ เป็นผลจากในการเตรียมอนุภาคโคโตซานที่ใช้การหดย สารละลายโคโตซานลงในสารเชื่อมโยง ดังนั้นอนุภาคโคโตซานที่เตรียมได้จะมีน้ำแทรกอยู่ใน โครงสร้าง และเมื่อนำอนุภาค Chi-STPP ที่ได้ไปทำแห้งแบบเยือกแข็ง น้ำจะถูกดึงออกจากอนุภาค โคโตซาน ทำให้เกิดเป็นรุพุนในปริมาณมาก และเมื่อพิจารณารูปที่ 4.2 (A-B), (C-D), (E-F) และ (G-H) ซึ่งแสดงลักษณะพื้นผิวภายในและภายนอกของอนุภาคโคโตซานที่ใช้สารเชื่อมโยง STPP เข้มข้น 3 4 5 และ 6% (w/v) ตามลำดับ จะพบว่าพื้นผิวอนุภาคโคโตซานที่ภายนอกและภายในมี รุพุนเป็นจำนวนมาก การเพิ่มความเข้มข้นของสารเชื่อมโยงไม่ส่งผลให้เกิดความแตกต่างทางสัณฐาน วิทยาของอนุภาคโคโตซานที่เตรียมได้ ทั้งนี้อาจเป็นผลเนื่องมาจากความเข้มข้นในช่วงดังกล่าวไม่ แตกต่างกันมากนัก จึงไม่ส่งผลอย่างชัดเจน

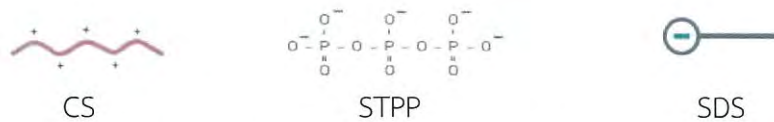
จากรูปที่ 4.3 แสดงพื้นผิวภายในและภายนอกของอนุภาคโคโตซานที่ใช้สาร เชื่อมโยง SDS เมื่อพิจารณาพบว่าลักษณะพื้นผิวทั้งภายนอกและภายในค่อนข้างเป็นเนื้อเมทริกซ์ ต่อเนื่อง จะมีลักษณะบางส่วนเป็นแผ่นเยื่อคล้ายเส้นใยซึ่งสร้างรุพุนขนาดใหญ่ ซึ่งโครงสร้างลักษณะ ดังกล่าวสันนิษฐานว่า เนื่องมาจากการเกิดอนุภาคโคโตซานจากการเชื่อมโยงของ SDS ในลักษณะ ไมเซลล์ โดยการหันส่วนหางที่ไม่มีขั้วไว้ภายใน ส่งผลให้ภายในอนุภาค Chi-SDS ไม่มีน้ำแทรกอยู่ โดย พื้นผิวภายนอกและภายในจะมีลักษณะหนาแน่น แต่ ตรงกลางจะมีช่องว่างภายในโครงสร้างของ ไมเซลล์ ซึ่งแตกต่างจากรุพุนของอนุภาค Chi-STPP ที่เกิดจากการสูญเสียน้ำ ดังนั้นเมื่อนำอนุภาค Chi-SDS ไปทำแห้งแบบเยือกแข็งจึงไม่มีรุพุนที่เกิดจากการสูญเสียน้ำ และเมื่อพิจารณารูปที่ 4.3 (A-B), (C-D), (E-F) และ (G-H) ซึ่งแสดงลักษณะพื้นผิวภายในและภายนอกของอนุภาคโคโตซานที่ ใช้สารเชื่อมโยง SDS เข้มข้น 3 4 5 และ 6% (w/v) ตามลำดับ จะพบว่าลักษณะสัณฐานวิทยาทั้ง ภายนอกและภายในไม่มีความแตกต่างกันอย่างชัดเจน แสดงให้เห็นว่าความเข้มข้นของ SDS ที่ปรับ เปลี่ยนในช่วงดังกล่าว ไม่ส่งผลต่อสัณฐานวิทยาของอนุภาค Chi-SDS อย่างมีนัยสำคัญ



(A) กรณีใช้ STPP เป็นสารเชื่อมโยง



(B) กรณีใช้ SDS เป็นสารเชื่อมโยง



รูปที่ 4.4 แผนภาพแสดงกลไกในการก่อตัวของอนุภาคโคโตซานทั้ง 2 ระบบที่ใช้สารเชื่อมโยง

(A) STPP และ (B) SDS

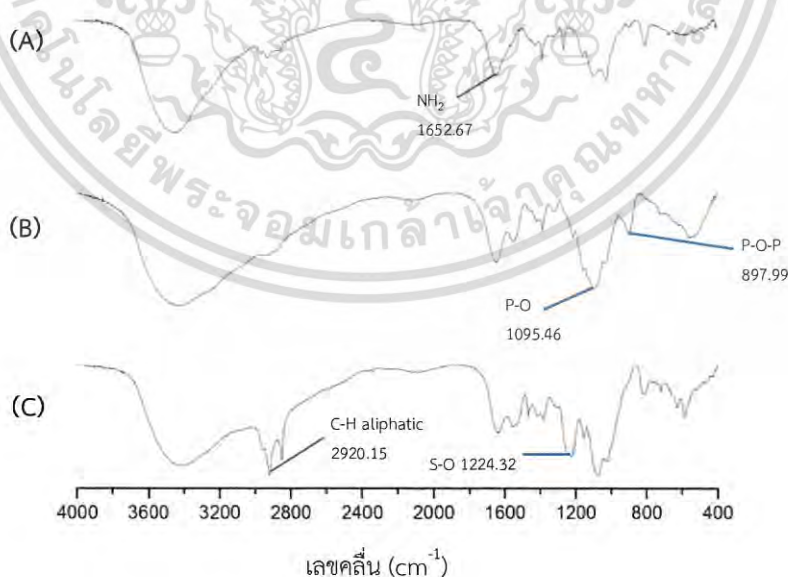
เอกสารนี้เป็นเอกสารที่สงวนลิขสิทธิ์ไว้สำหรับการใช้งานเพื่อการศึกษาเท่านั้น ไม่อนุญาตให้นำไปใช้ประโยชน์ด้านการค้า
ไม่ว่ากรณีใดๆ ทั้งสิ้น อีกทั้งห้ามมิให้ดัดแปลงเนื้อหา และต้องอ้างอิงถึงเจ้าของเอกสารทุกครั้งที่มีการนำไปใช้

จากรูปที่ 4.4 แสดงกลไกในการก่อตัวของอนุภาคโคโตซานทั้ง 2 ระบบที่ใช้สารเชื่อมโยง STPP และ SDS เมื่อพิจารณาจากกรณีที่ใช้ STPP เป็นสารเชื่อมโยงในการสังเคราะห์อนุภาคโคโตซาน โมเลกุลโคโตซานจะเกิดการเชื่อมโยงระหว่างหมู่ NH_3^+ ของโคโตซาน กับหมู่ PO_4^{3-} ของ STPP ด้วยพันธะไอออนิก ทำให้เกิดโครงสร้างแบบโครงร่างตาข่าย 3 มิติ ที่มีโครงสร้างที่ซับซ้อนและค่อนข้างเสถียร โดยจะมีการแทรกตัวของน้ำ และเมื่อนำอนุภาคโคโตซานไปทำแห้งแบบเยือกแข็ง จะเกิดรูพรุนจำนวนมากที่สามารถนำไปบรรจุไขมันชั้นได้ โดยสันนิษฐานว่าไขมันชั้นจะเกิดการแทรกตัวอยู่ภายในรูพรุนของ Chi-STPP ส่วนกรณีที่ใช้ SDS เป็นสารเชื่อมโยงในการสังเคราะห์อนุภาคโคโตซาน โมเลกุลของ SDS ที่ละลายอยู่ในน้ำจะก่อตัวอยู่ในรูปของไมเซลล์ โดยส่วนที่มีขั้วจะหันออกหาตัวทำละลายน้ำภายนอก เป็นผลให้หมู่ SO_3^- จะไปจับกับหมู่ NH_3^+ ของโคโตซาน เกิดเป็นชั้นโคโตซานห่อหุ้มไมเซลล์ซึ่งมีส่วนที่ไม่มีขั้วของ SDS ที่หันเข้าภายใน ซึ่งสันนิษฐานว่าส่วนที่ไม่มีขั้วภายในจะเป็นส่วนที่สามารถนำไปบรรจุไขมันชั้นได้

4.1.2 การตรวจวิเคราะห์อนุภาคโคโตซานด้วยเทคนิคต่าง ๆ

- การศึกษาหมู่ฟังก์ชันทางเคมีที่สำคัญของอนุภาคโคโตซาน

เมื่อนำอนุภาคโคโตซานเชื่อมโยงด้วย STPP และ อนุภาคโคโตซานที่เชื่อมโยงด้วย SDS ที่เตรียมโดยใช้ความเข้มข้นของสารเชื่อมโยงเท่ากับ 3% (w/v) มาวิเคราะห์ด้วยเทคนิค FT-IR เพื่อศึกษาโครงสร้าง และหมู่ฟังก์ชันทางเคมีที่สำคัญเทียบกับโคโตซานตั้งต้นได้ผลดังแสดงในรูปที่ 4.5



รูปที่ 4.5 สเปกตรา FT-IR ของ (A) โคโตซานเริ่มต้น (B) อนุภาคโคโตซาน Chi-T3 และ (C) อนุภาคโคโตซาน Chi-S3

เอกสารนี้เป็นเอกสารที่สงวนไว้สำหรับการใช้งานเพื่อการศึกษาเท่านั้น ไม่อนุญาตให้นำไปใช้ประโยชน์ด้านการค้าไม่ว่ากรณีใดๆ ทั้งสิ้น อีกทั้งห้ามมิให้ดัดแปลงเนื้อหา และต้องอ้างอิงถึงเจ้าของเอกสารทุกครั้งที่มีการนำไปใช้

จากรูปที่ 4.5 (A) พบว่าไคโตซานที่เป็นสารตั้งต้น มีพิกสำคัญของโครงสร้างในส่วนของหมู่ฟังก์ชันเอมีน ($-NH_2$) และไฮดรอกซิล ($-OH$) โดยที่หมู่ $-OH$ มีพิกอยู่ในช่วง $3500-3400\text{ cm}^{-1}$ ส่วนหมู่ $-NH_2$ มีพิกในช่วง $1655-1600\text{ cm}^{-1}$ เมื่อนำอนุภาคไคโตซาน Chi-T3 ที่ได้จากระบบที่ใช้สารเชื่อมโยง STPP มาวิเคราะห์ที่ได้ผลดังรูป 4.5 (B) พบว่าพิกสำคัญของหมู่ $-NH_2$ มีการเปลี่ยนแปลงตำแหน่งไปยังเลขคลื่นที่ต่ำกว่าของไคโตซานที่เป็นสารตั้งต้น ทั้งนี้เป็นผลเนื่องมาจากการเตรียมสารละลายไคโตซานในกรดอะซิติกเป็นผลให้หมู่ $-NH_2$ ถูกโปรตอนเตเป็น $-NH_3^+$ ซึ่งเกิดการเชื่อมโยงกับหมู่ PO_4^{3-} เป็นผลให้เกิดการเลื่อนทางเคมีของพิก $-NH_2$ ไปยังเลขคลื่นที่ต่ำลง (1647 cm^{-1}) นอกจากนี้ยังมีการปรากฏพิกของหมู่ฟังก์ชัน P-O ของหมู่ PO_4^{3-} ของ STPP ที่เลขคลื่นในช่วง $1050-1000\text{ cm}^{-1}$ ซึ่งจากการเชื่อมโยงดังกล่าวจะให้พิกของ P-O ต่ำกว่าของ STPP ที่ไม่ได้เชื่อมโยงกับไคโตซาน

ส่วนอนุภาค Chi-S3 ที่ได้จากระบบที่ใช้สารเชื่อมโยง SDS ได้ผลการวิเคราะห์ดังแสดงในรูปที่ 4.5 (C) พบว่าพิกสำคัญของหมู่ $-NH_2$ มีการเปลี่ยนแปลงตำแหน่งไปยังเลขคลื่นที่ต่ำกว่าของไคโตซานที่เป็นสารตั้งต้นเช่นเดียวกับระบบ STPP ทั้งนี้เป็นผลเนื่องมาจากการถูกโปรตอนเตในตัวทำละลายกรดอะซิติกเป็น $-NH_3^+$ ซึ่งหมู่ดังกล่าวเกิดการเชื่อมโยงกับหมู่ SO_3^- เป็นผลให้เกิดการเลื่อนทางเคมีของพิกไปยังเลขคลื่นที่ต่ำลง (1638 cm^{-1}) นอกจากนี้ยังมีการปรากฏพิกการสั่น S-O ของหมู่ SO_3^- ของ SDS ที่เลขคลื่นในช่วง $1380-1200\text{ cm}^{-1}$ ซึ่งการเชื่อมโยงดังกล่าวส่งผลให้พิกของ S-O มีการเลื่อนตำแหน่งเลขคลื่นจากสเปกตรัมของสารตั้งต้น SDS และพบว่าเลขคลื่นของหมู่เอมีนและหมู่ S-O เกิดขึ้นที่ตำแหน่งใกล้เคียงกัน โดยเลขคลื่นของพิกสำคัญของไคโตซาน และอนุภาคไคโตซานจะแสดงในตารางที่ 4.1

ตารางที่ 4.1 ตำแหน่งเลขคลื่นแสดงพิกการสั่นของหมู่ฟังก์ชันสำคัญของอนุภาคไคโตซาน

ชื่อตัวอย่าง	เลขคลื่น (cm^{-1})				
	$-NH_2$	P-O	P-O-P	C-H aliphatic	S-O
CS	1652	-	-	-	-
Chi-T3	1646	1095	897	-	-
Chi-S3	1638	-	-	2920	1224

- การศึกษาอุณหภูมิและปริมาณความร้อนของการหลอมเหลวของอนุภาคไคโตซาน

เมื่อนำอนุภาคไคโตซาน 2 ระบบที่เชื่อมโยงด้วย STPP และ SDS มาวิเคราะห์ด้วยเทคนิค DSC ตั้งแต่อุณหภูมิ 40 ถึง 400°C โดยมีอัตราการให้ความร้อน และอัตราการเย็นตัว $10^\circ\text{C}/\text{min}$ ภายใต้บรรยากาศไนโตรเจน ได้ผลการวิเคราะห์ซึ่งแสดงค่าอุณหภูมิการหลอมเหลว (T_m) และค่าพื้นที่ใต้พิก ซึ่งค่าพื้นที่ใต้พิกของ T_m จะบ่งบอกถึงปริมาณความร้อนหรือพลังงานที่ใช้เพื่อให้ตัวอย่างเกิดการหลอมเหลว ดังแสดงในตารางที่ 4.2 นี้ ไม่นอญูตให้นำไปใช้ประโยชน์ด้านการค้าไม่ว่ากรณีใดๆ ทั้งสิ้น อีกทั้งห้ามมิให้ดัดแปลงเนื้อหา และต้องอ้างอิงถึงเจ้าของเอกสารทุกครั้งที่มีการนำไปใช้

ตารางที่ 4.2 อุณหภูมิหลอมเหลว (T_m) และพื้นที่ใต้พีคของอนุภาคโคโตซาน

สารตัวอย่าง	T_m ($^{\circ}\text{C}$)	พื้นที่ใต้พีค (J/g)
Chi-T3	253	42.16
Chi-T4	254	44.92
Chi-T5	253	41.97
Chi-T6	255	42.05
Chi-S3	249	34.75
Chi-S4	250	29.90
Chi-S5	251	29.04
Chi-S6	250	28.55

* Chi-TX, Chi-STPP คือ อนุภาคโคโตซานที่เกิดจากสารเชื่อมโยง STPP

Chi-SX, Chi-SDS คือ อนุภาคโคโตซานที่เชื่อมโยงกับสารละลาย SDS

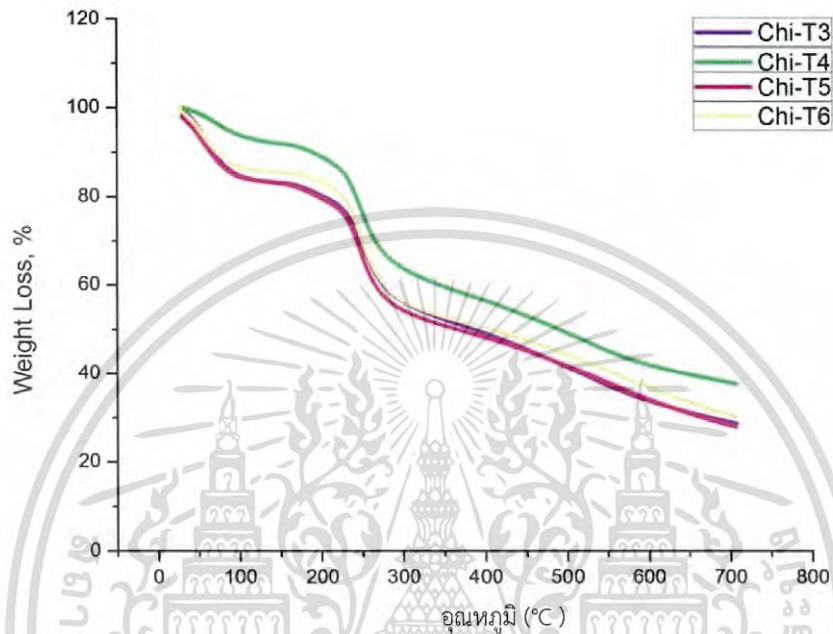
** X คือ ความเข้มข้นของสารละลาย STPP หรือ SDS (% w/v)

จากตารางที่ 4.2 เมื่อพิจารณาผลการทดลองจากการนำอนุภาคโคโตซานที่มีการปรับเปลี่ยนความเข้มข้นของสารเชื่อมโยงที่ 3 4 5 และ 6% (w/v) พบว่าค่า T_m อนุภาคโคโตซานที่เชื่อมโยงด้วย STPP (Chi-STPP) มีค่าอยู่ในช่วง 253-255 $^{\circ}\text{C}$ และอนุภาคโคโตซานที่เชื่อมโยงด้วย SDS (Chi-SDS) มีค่าอยู่ในช่วง 249-251 $^{\circ}\text{C}$ นอกจากนี้การปรับเปลี่ยนความเข้มข้นของสารเชื่อมโยงไม่ส่งผลต่อการเปลี่ยนแปลงพื้นที่ใต้กราฟของพีค T_m จากผลดังกล่าวแสดงให้เห็นว่าความเข้มข้นของสารเชื่อมโยงไม่ได้ส่งผลต่อการเปลี่ยนแปลงสมบัติทางความร้อนของอนุภาคโคโตซานอย่างมีนัยสำคัญ

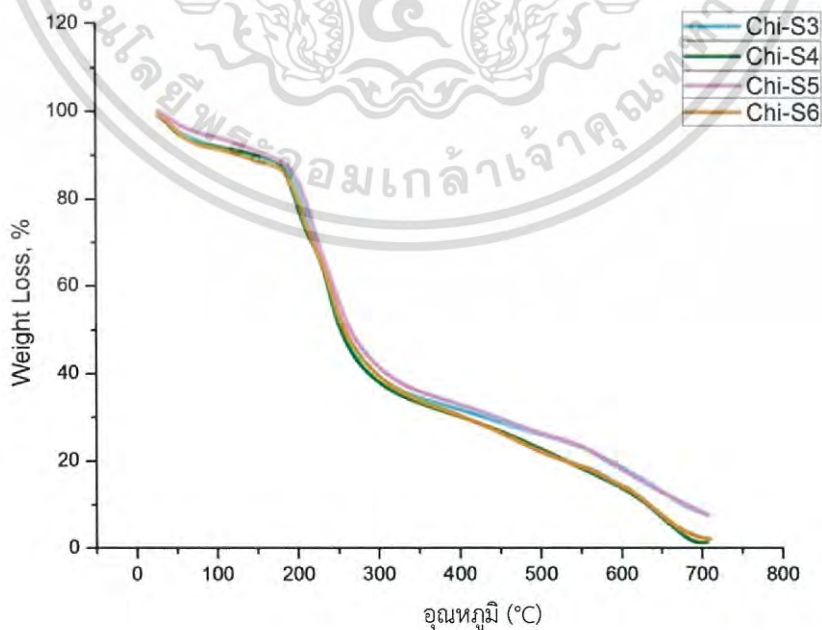
เมื่อเปรียบเทียบสมบัติทางความร้อนของอนุภาคโคโตซานที่เกิดจากการใช้สารเชื่อมโยง 2 ระบบคือ STPP และ SDS พบว่าค่า T_m และพื้นที่ใต้พีคการหลอมเหลวของ Chi-STPP มีค่าสูงกว่า Chi-SDS สันนิษฐานว่าเนื่องจาก Chi-STPP เป็นการเชื่อมโยงตาข่ายแบบ 3 มิติ จึงมีโครงสร้างที่เสถียรกว่า Chi-SDS ที่มีลักษณะการเชื่อมโยงเป็นแบบไมเซลล์ ซึ่งมีความเสถียรต่ำ Chi-STPP จึงจำเป็นต้องใช้พลังงานในหลอมเหลวโครงสร้างสูงกว่าพลังงานที่ใช้ในการหลอมเหลวโครงสร้างของ Chi-SDS

- ศึกษาสมบัติทางความร้อน (Thermal property)

เมื่อนำอนุภาคโคโตซาน 2 ระบบที่ใช้สารเชื่อมโยง STPP และ SDS มาศึกษาการสลายตัวทางความร้อนด้วยเทคนิค TGA ตั้งแต่อุณหภูมิ 50 ถึง 700°C โดยมีอัตราการให้ความร้อน 10°C/min ภายใต้บรรยากาศไนโตรเจน ได้ผลดังแสดงในรูปที่ 4.6 และ 4.7



รูปที่ 4.6 TGA เทอร์โมแกรมของอนุภาคโคโตซานที่เชื่อมโยงด้วย STPP



เอกสารนี้เป็นเอกสารรูปที่ 4.7 TGA เทอร์โมแกรมของอนุภาคโคโตซานที่เกิดจากสารเชื่อมโยง SDS ด้านการค้าไม่ว่ากรณีใดๆ ทั้งสิ้น อีกทั้งห้ามมิให้ดัดแปลงเนื้อหา และต้องอ้างอิงถึงเจ้าของเอกสารทุกครั้งที่มีการนำไปใช้

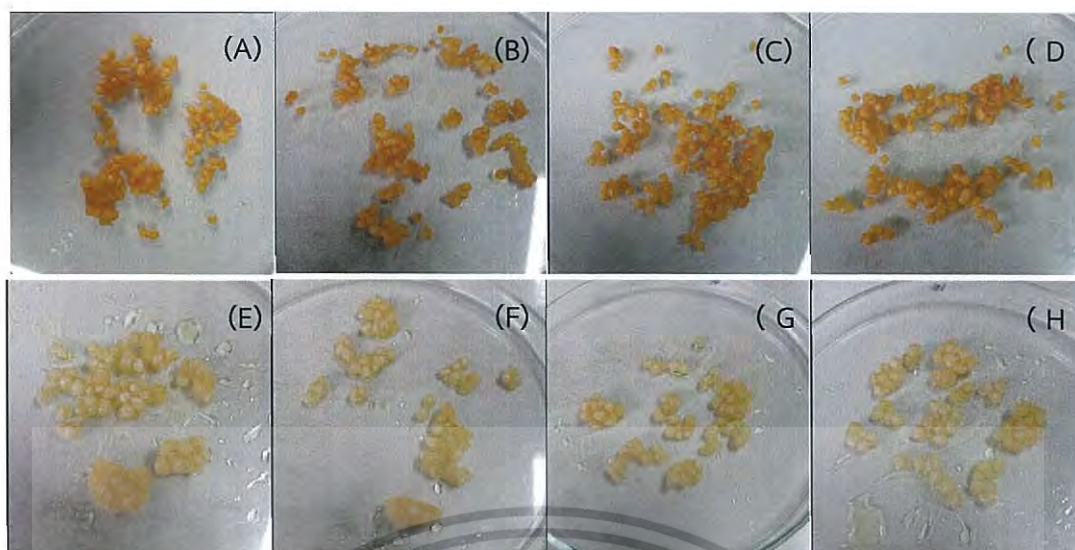
จากรูปที่ 4.6 TGA เทอร์โมแกรมของอนุภาค Chi-STPP พบว่ามีช่วงอุณหภูมิในการสลายตัว 2 ช่วง คือ ช่วงอุณหภูมิ 44 ถึง 150°C มีการเปลี่ยนแปลงน้ำหนักเนื่องจากการระเหยตัวของน้ำ และช่วงที่สองคือ ช่วงอุณหภูมิ 200 ถึง 360°C เป็นอุณหภูมิการที่มีการเปลี่ยนแปลงน้ำหนักเนื่องจากการสลายตัวของโคโตซาน และหมู่ไฮโดรคาร์บอนของสารเชื่อมโยง STPP ในระบบนี้เหลือปริมาณสารภายหลังการเผาไหม้ในช่วง 30-40% โดยน้ำหนักของสารประกอบฟอสเฟตจาก STPP

จากรูปที่ 4.7 TGA เทอร์โมแกรมของอนุภาค Chi-SDS มีช่วงอุณหภูมิในการสลายตัว 3 ช่วง คือ ช่วงอุณหภูมิ 35 ถึง 100°C มีการเปลี่ยนแปลงน้ำหนักเนื่องจากการระเหยตัวของน้ำ ช่วงที่สองคือ ช่วงอุณหภูมิ 150 ถึง 230°C มีการเปลี่ยนแปลงน้ำหนัก เนื่องจากการสลายตัวของหมู่ SO_3^- ของสารเชื่อมโยง SDS และช่วงที่สามคือช่วงอุณหภูมิ 230 ถึง 350°C เป็นอุณหภูมิที่มีการเปลี่ยนแปลงน้ำหนักเนื่องจากการสลายตัวของโคโตซานในระบบนี้เหลือปริมาณสารที่ไม่ถูกเผาไหม้ต่ำกว่า 10% โดยน้ำหนัก

จากการวิเคราะห์พบว่าระบบของสารเชื่อมโยงและปริมาณสารเชื่อมโยงที่ใช้ไม่ส่งผลต่อเสถียรภาพทางความร้อนของอนุภาคโคโตซานที่เตรียมได้อย่างมีนัยสำคัญ

4.2 การบรรจุไขมันชั้นในอนุภาคโคโตซาน

เมื่อนำอนุภาคโคโตซานที่เตรียมได้โดยใช้สารเชื่อมโยงทั้ง 2 ระบบ มาแช่ลงในสารละลายไขมันชั้นเข้มข้น 50 mg/l โดยระบบของอนุภาค Chi-STPP จะแช่ในสารละลายไขมันชั้นที่ใช้น้ำและเอทานอลเป็นตัวทำละลาย ส่วนอนุภาค Chi-SDS จะแช่ในสารละลายไขมันชั้นที่ใช้น้ำมันมะพร้าวเป็นตัวทำละลาย เนื่องจากสภาพขั้วของอนุภาคโคโตซานนั้นแตกต่างกัน โดยลักษณะภายนอกของอนุภาคโคโตซานที่บรรจุไขมันชั้นดังแสดงในรูปที่ 4.8 และผลการบรรจุไขมันชั้นที่วิเคราะห์ได้จะแสดงในตารางที่ 4.3



รูปที่ 4.8 ลักษณะทางกายภาพอนุภาคไคโตซานบรรจุไขมันชั้นของ (A) Chi-T3, (B) Chi-T4, (C) Chi-T5, (D) Chi-T6, (E) Chi-S3, (F) Chi-S4, (G) Chi-S5 และ (H) Chi-S6

ตารางที่ 4.3 ปริมาณไขมันชั้นที่บรรจุในอนุภาคไคโตซาน

สารตัวอย่าง	ไขมันชั้นในอนุภาคไคโตซาน	
	ร้อยละเมื่อเทียบกับไขมันชั้นเริ่มต้น	ความเข้มข้นไขมันชั้นในอนุภาค (mg/g)
Chi-T3	81.80±5.00	2.05±0.20
Chi-T4	87.90±5.00	2.20±0.20
Chi-T5	85.20±5.00	2.13±0.20
Chi-T6	87.30±5.00	2.19±0.20
Chi-S3	8.80±0.20	0.22±0.05
Chi-S4	6.10±0.20	0.15±0.05
Chi-S5	7.80±0.20	0.20±0.05
Chi-S6	7.30±0.20	0.19±0.05

* Chi-TX คือ อนุภาคไคโตซานที่เชื่อมโยงกับสารละลาย STPP

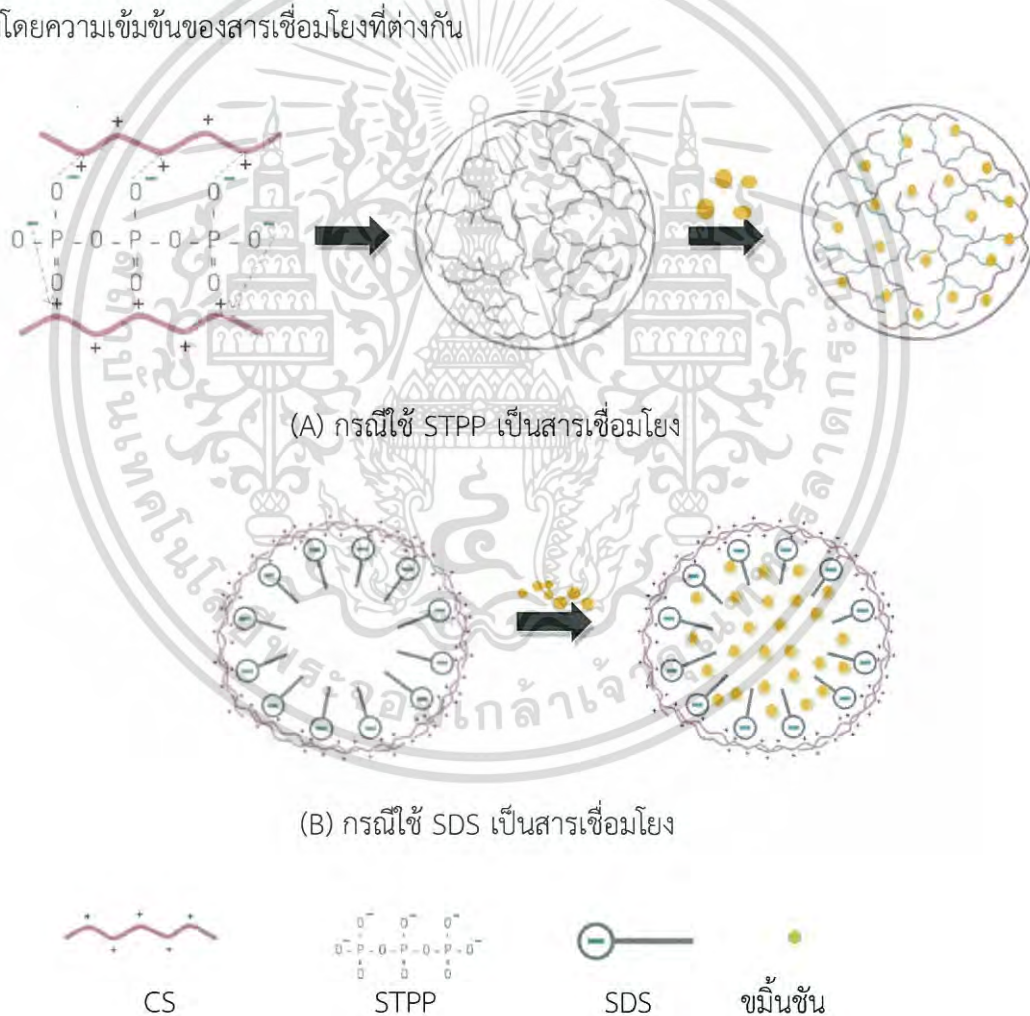
Chi-SX คือ อนุภาคไคโตซานที่เกิดจากสารเชื่อมโยง SDS

** X คือ ความเข้มข้นของสารละลาย STPP หรือ SDS (% w/v) ที่ใช้ในการเตรียมอนุภาคไคโตซาน

จากตารางที่ 4.3 แสดงผลการบรรจุไขมันชั้นในอนุภาคไคโตซาน พบว่าอนุภาค Chi-STPP มีความสามารถในการบรรจุไขมันชั้นได้มากกว่าอนุภาค Chi-SDS ซึ่งการที่อนุภาค Chi-STPP สามารถบรรจุไขมันชั้นได้มากกว่า อาจเป็นเพราะว่าภายในโครงสร้างของอนุภาค Chi-STPP มีปริมาณรูพรุนอยู่เป็นจำนวนมาก และมีโครงสร้างที่ค่อนข้างเสถียร ทำให้ไขมันชั้นถูกดูดซับได้อย่างรวดเร็ว ส่วนเอกสารนี้เป็นเอกสารที่สงวนไว้สำหรับการใช้งานเพื่อการศึกษาเท่านั้น ไม่อนุญาตให้นำไปใช้ประโยชน์ด้านการค้า ไม่ว่าจะกรณีใดๆ ทั้งสิ้น อีกทั้งห้ามมิให้ดัดแปลงเนื้อหา และต้องอ้างอิงถึงเจ้าของเอกสารทุกครั้งที่มีการนำไปใช้

อนุภาค Chi-SDS ที่มีโครงสร้างเป็นแบบไมเซลล์ มีลักษณะโครงสร้างภายนอกค่อนข้างหนาแน่นทำให้ไขมันชั้นแทรกตัวเข้าไปภายในได้ยาก จากลักษณะโครงสร้างทางกายภาพของอนุภาคที่แตกต่างกันของ Chi-STPP และ Chi-SDS จึงเป็นผลให้เมื่อแช่ในสารละลายไขมันชั้นเป็นเวลา 24 ชั่วโมง จะมีความเข้มข้นของไขมันชั้นภายในอนุภาค Chi-STPP มากกว่า Chi-SDS

เมื่อเปรียบเทียบอนุภาคโคโตซานที่เตรียมโดยใช้ความเข้มข้นของสารเชื่อมโยงทั้ง 2 ระบบแตกต่างกัน พบว่าความสามารถในการบรรจุไขมันชั้นของอนุภาคโคโตซานไม่แตกต่างกันอย่างมีนัยสำคัญ แม้จะใช้ความเข้มข้นของสารเชื่อมโยงที่ต่างกันทั้ง 2 ระบบ ทั้งนี้สันนิษฐานว่าเนื่องจากในขั้นตอนการเชื่อมโยงด้วยวิธีการหยดสารละลายโคโตซานลงในสารเชื่อมโยงจะเกิดการเชื่อมโยงได้อย่างเต็มที่เฉพาะที่พื้นผิวภายนอกของอนุภาค การแพร่ของสารเชื่อมโยงเข้าไปทำปฏิกิริยากับสารที่อยู่ภายในอนุภาคเกิดได้น้อย จึงเป็นผลให้ความหนาแน่นของเนื้อสารภายในอนุภาคไม่แตกต่างกันมากอย่างมีนัยสำคัญ ดังนั้นการดูดซับไขมันชั้นในปริมาณพอ ๆ กันเข้าไปภายในอนุภาคโคโตซานที่เตรียมด้วยความเข้มข้นของสารเชื่อมโยงที่ต่างกัน



รูปที่ 4.9 แผนภาพแสดงกลไกการบรรจุไขมันชั้นของอนุภาคโคโตซานทั้ง 2 ระบบที่ใช้สารเชื่อมโยง (A) STPP และ (B) SDS

เอกสารนี้เป็นเอกสารที่สงวนไว้สำหรับการใช้งานเพื่อการศึกษาเท่านั้น ไม่อนุญาตให้นำไปใช้ประโยชน์ด้านการค้า ไม่ว่าจะกรณีใดๆ ทั้งสิ้น อีกทั้งห้ามมิให้ดัดแปลงเนื้อหา และต้องอ้างอิงถึงเจ้าของเอกสารทุกครั้งที่มีการนำไปใช้

จากรูปที่ 4.9 แสดงกลไกการบรรจุไขมันชั้นของอนุภาคโคโตซานทั้ง 2 ระบบที่ใช้สารเชื่อมโยง STPP และ SDS เมื่อพิจารณาจากอนุภาคโคโตซาน STPP ที่มีโครงสร้างแบบโครงร่างตาข่าย 3 มิติ เป็นโครงสร้างที่ซับซ้อน และค่อนข้างเสถียร โดยเมื่อนำไปบรรจุไขมันชั้นด้วยการเชื่อมอนุภาคในสารละลายที่มีไขมันชั้นละลายอยู่ ไขมันชั้นจะเข้าไปแทรกตัวอยู่ในช่องว่างของโครงสร้างที่มีลักษณะเป็นรูพรุน ส่วนอนุภาคโคโตซาน SDS ที่มีโครงสร้างอยู่ในรูปไมเซลล์ เมื่อนำไปบรรจุไขมันชั้นด้วยการเชื่อมอนุภาคในสารละลายน้ำมันมะพร้าวที่มีไขมันชั้นละลายอยู่ เนื่องจากภายในอนุภาคโคโตซาน SDS เป็นส่วนหางที่ไม่มีขั้ว ไขมันชั้นซึ่งละลายในน้ำมันมะพร้าวที่ไม่มีขั้ว ทำให้ไขมันชั้นจะเข้าไปแทรกอยู่ในช่องว่างของไมเซลล์

4.3 การปลดปล่อยไขมันชั้นของอนุภาคโคโตซาน

ในการศึกษาความสามารถในการปลดปล่อยไขมันชั้นของอนุภาคโคโตซานที่เตรียมโดยใช้สารเชื่อมโยง 2 ระบบ คือ STPP และ SDS โดยนำอนุภาคโคโตซานอนุภาคโคโตซานทั้ง 2 ระบบแช่ลงในสารละลายจำลองสภาวะน้ำย่อยในกระเพาะอาหาร (Simulated gastric fluid, SGF) โดยแช่ที่อุณหภูมิ 37°C แล้วทำการเปลี่ยนสารละลายใหม่เมื่อระยะเวลาการแช่เป็น 1 3 5 และ 7 ชั่วโมง จากนั้นทิ้งไว้จนครบ 24 ชั่วโมง โดยสารละลาย SGF ที่แยกออกมาในช่วงเวลาต่าง ๆ จะถูกนำไปวัดค่าการดูดกลืนแสงที่ความยาวคลื่น 417 nm ด้วยเทคนิค UV-Vis เพื่อนำมาคำนวณหาปริมาณในการปลดปล่อยของไขมันชั้นโดยใช้สมการเส้นตรงจากกราฟมาตรฐานของสารละลายไขมันชั้นที่แสดงในรูปที่ 4.10 โดยจะใช้สมการ $y = 0.01348x - 0.01107$ ในกรณีที่ใช้ STPP เป็นสารเชื่อมโยง และใช้สมการ $y = 0.0168x - 0.0231$ ในกรณีที่ใช้ SDS เป็นสารเชื่อมโยง โดยผลของการปลดปล่อยไขมันชั้นแสดงในตารางที่ 4.4

ตารางที่ 4.4 การปลดปล่อยไขมันชั้นจากอนุภาคโคโตซานในสารละลาย SGF ที่ใช้สารเชื่อมโยงต่างชนิดกัน 2 ระบบ ที่เวลาต่าง ๆ

สารตัวอย่าง	การปลดปล่อยไขมันชั้นจากอนุภาคโคโตซาน (mg/g)				
	1 ชั่วโมง	3 ชั่วโมง	5 ชั่วโมง	7 ชั่วโมง	24 ชั่วโมง
Chi-T3	0.010	0.011	0.015	0.015	0.031
Chi-T4	0.010	0.014	0.019	0.018	0.031
Chi-T5	0.014	0.016	0.018	0.017	0.044
Chi-T6	0.011	0.014	0.014	0.010	0.025
Chi-S3	0.012	0.021	0.020	0.025	0.040
Chi-S4	0.010	0.011	0.015	0.015	0.038
Chi-S5	0.013	0.015	0.018	0.021	0.046
Chi-S6	0.011	0.012	0.017	0.016	0.038

เอกสารนี้เป็นเอกสารที่สงวนไว้สำหรับการใช้งานเพื่อการศึกษาเท่านั้น ไม่อนุญาตให้นำไปใช้ประโยชน์ด้านการค้าไม่ว่ากรณีใดๆ ทั้งสิ้น อีกทั้งห้ามมิให้ดัดแปลงเนื้อหา และต้องอ้างอิงถึงเจ้าของเอกสารทุกครั้งที่มีการนำไปใช้

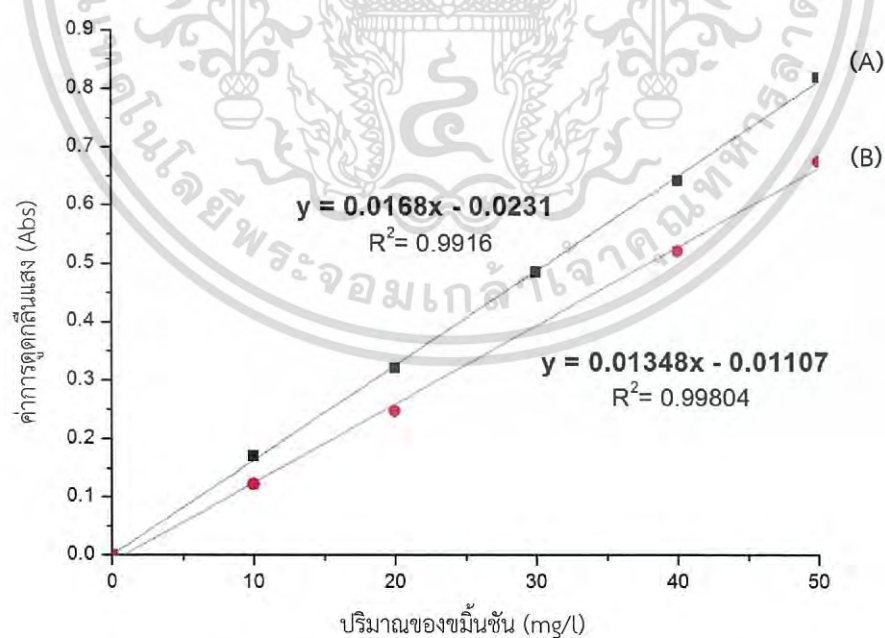
ตารางที่ 4.5 การปลดปล่อยไขมันชั้นจากอนุภาคโคโตซานในสารละลาย SGF ที่ใช้สารเชื่อมโยงต่างชนิดกัน 2 ระบบ เมื่อรวมระยะเวลา 24 ชั่วโมง

สารตัวอย่าง	ปริมาณไขมันชั้นจากอนุภาคโคโตซาน (mg/g)		คิดเป็น % ของการปลดปล่อยไขมันชั้น
	ไขมันชั้นที่มีในอนุภาค	ไขมันชั้นที่ปลดปล่อยได้	
Chi-T3	2.05	0.08	3.98
Chi-T4	2.20	0.09	4.19
Chi-T5	2.13	0.10	4.66
Chi-T6	2.19	0.07	3.41
Chi-S3	0.22	0.12	53.98
Chi-S4	0.15	0.09	58.74
Chi-S5	0.20	0.11	57.55
Chi-S6	0.19	0.09	51.14

* Chi-TX, Chi-STPP คือ อนุภาคโคโตซานที่เชื่อมโยงกับสารละลาย STPP

Chi-SX, Chi-SDS คือ อนุภาคโคโตซานที่เกิดจากสารเชื่อมโยง SDS

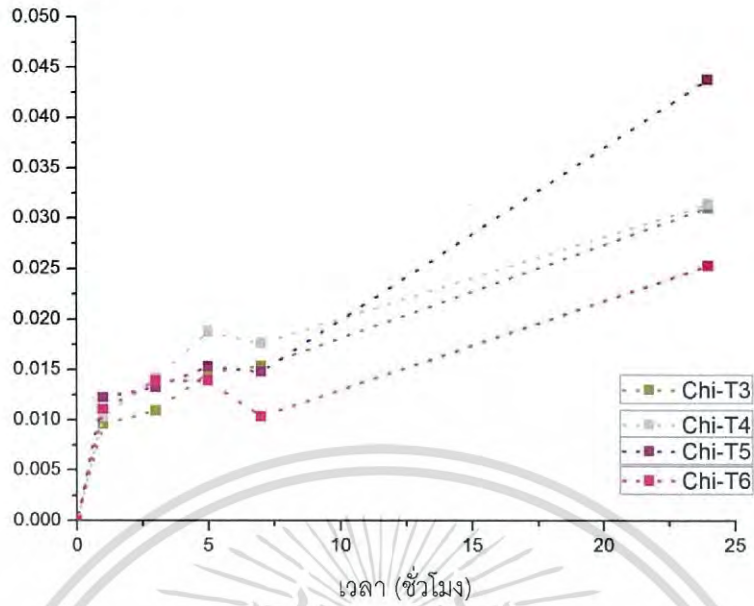
** X คือ ความเข้มข้นของสารละลาย STPP หรือ SDS (% w/v)



รูปที่ 4.10 กราฟมาตรฐานไขมันชั้นของ (A) ไขมันชั้นที่ละลายในน้ำมันมะพร้าว และ (B) ไขมันชั้นที่ละลายในน้ำผสมเอทานอล

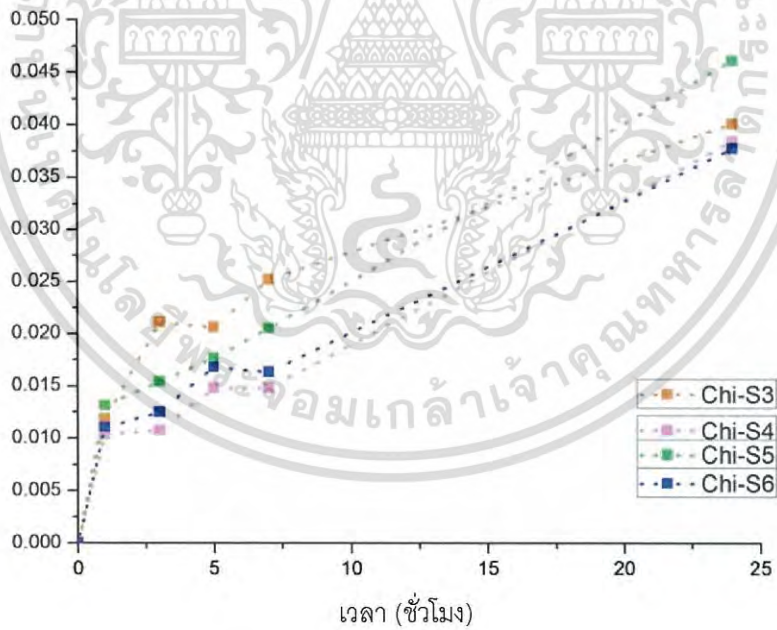
เอกสารนี้เป็นเอกสารที่สงวนไว้สำหรับการใช้งานเพื่อการศึกษาเท่านั้น ไม่อนุญาตให้นำไปใช้ประโยชน์ด้านการค้าไม่ว่ากรณีใดๆ ทั้งสิ้น อีกทั้งห้ามมิให้ดัดแปลงเนื้อหา และต้องอ้างอิงถึงเจ้าของเอกสารทุกครั้งที่มีการนำไปใช้

ปริมาณการปลดปล่อยไขมันชั้น (mg/g)



รูปที่ 4.11 การปลดปล่อยไขมันในสารละลาย SGF ของอนุภาคไคโตซานในระบบที่ใช้ STPP

ปริมาณการปลดปล่อยไขมันชั้น (mg/g)



รูปที่ 4.12 การปลดปล่อยไขมันในสารละลาย SGF ของอนุภาคไคโตซานในระบบที่ใช้ SDS

เอกสารนี้เป็นเอกสารที่สงวนไว้สำหรับการใช้งานเพื่อการศึกษาเท่านั้น ไม่อนุญาตให้นำไปใช้ประโยชน์ด้านการค้า ไม่ว่าจะกรณีใดๆ ทั้งสิ้น อีกทั้งห้ามมิให้ดัดแปลงเนื้อหา และต้องอ้างอิงถึงเจ้าของเอกสารทุกครั้งที่มีการนำไปใช้

จากรูปที่ 4.11 และรูปที่ 4.12 พบว่าการแช่อนุภาค Chi-STPP และ Chi-SDS ในสารละลาย SGF ปริมาณการปลดปล่อยไขมันชั้นในชั่วโมงแรกมีค่าค่อนข้างสูง และการปลดปล่อยในช่วงชั่วโมงที่ 1 3 5 7 มีแนวโน้มเพิ่มขึ้นอย่างต่อเนื่องเมื่อแช่อนุภาค Chi-STPP และ Chi-SDS ต่อไปจนครบ 24 ชั่วโมงพบว่าปริมาณการปลดปล่อยไขมันชั้นเพิ่มขึ้นในช่วงเวลาดังกล่าวอย่างชัดเจน จากผลดังกล่าวสันนิษฐานว่าการปลดปล่อยในช่วงชั่วโมงแรกน่าจะเป็นไขมันชั้นที่อยู่ใกล้พื้นผิวของอนุภาคโคโตซานจึงหลุดออกมาได้ง่าย การปลดปล่อยไขมันชั้นในชั่วโมงถัดมามีค่าเพิ่มขึ้นเพียงเล็กน้อยหรือลดลงในบางตัวอย่าง ทั้งนี้ น่าจะเนื่องมาจากโคโตซานที่ถูกดูดซับอยู่ภายในค้อย ๆ แพร่ออกมา อย่างไรก็ตามเมื่อแช่อนุภาคโคโตซานในสารละลาย SGF จากชั่วโมงที่ 8-24 โดยไม่มีการเปลี่ยนแปลงสารละลายอาจส่งผลให้อนุภาคโคโตซานเกิดการบวมตัวและ/หรือเกิดการกร่อนจึงเป็นผลให้ปริมาณการปลดปล่อยไขมันชั้นเพิ่มขึ้นอย่างต่อเนื่องจนถึงชั่วโมงที่ 24 เมื่อเปรียบเทียบการปลดปล่อยไขมันชั้นจาก Chi-STPP กับ Chi-SDS พบว่าปริมาณการปลดปล่อยไขมันชั้นในแต่ละช่วงของทั้ง 2 ระบบมีค่าใกล้เคียงกัน แต่เมื่อเทียบกับปริมาณไขมันชั้นเริ่มต้นในอนุภาค จึงเห็นได้ว่า Chi-SDS ปลดปล่อยไขมันชั้นออกมาได้มากกว่า Chi-STPP ทั้งนี้เป็นผลเนื่องมาจาก Chi-STPP มีลักษณะการเชื่อมโยงเป็นร่างตาข่าย 3 มิติที่ค่อนข้างเสถียรจึงทำให้บวมตัวได้น้อย การปลดปล่อยไขมันชั้นจากภายในอนุภาคจึงเกิดได้ยากกว่า Chi-SDS ที่มีลักษณะการก่อตัวเป็นไมเซลล์ เมื่อความหนาแน่นของโครงสร้างภายนอกเกิดการบวมตัวและ/หรือกร่อนจากการแช่อนุภาค Chi-SDS ในสาร SGF เป็นระยะเวลาหนึ่งไขมันชั้นที่บรรจุอยู่จึงหลุดออกมาจากโครงสร้างได้

จากผลของงานวิจัยนี้ทำให้เราสรุปได้ว่า ควรนำอนุภาค Chi-SDS ไปพัฒนาต่อยอดมากกว่า Chi-STPP เนื่องจากมีความสามารถในการปลดปล่อยที่ดีกว่า และหากนำไปรับประทานเพื่อรักษาโรคภายในกระเพาะอาหารจะช่วยให้ไขมันชั้นถูกดูดซึมเข้าสู่ร่างกายเพื่อไปใช้ประโยชน์ได้ดีกว่า เพราะไขมันชั้นโดยทั่วไปจะไม่มีความสามารถในการละลายน้ำที่ตินัก แต่หากอยู่ในอนุภาค Chi-SDS ซึ่งไขมันชั้นที่อยู่ภายในจะมีลักษณะที่ไม่มีขั้ว จะสามารถถูกดูดซึมเข้าสู่ร่างกายพร้อมกับสารอาหารจำพวกกรดไขมันได้

สรุปผลการวิจัยและข้อเสนอแนะ

5.1 สรุปผลการวิจัย

ในงานวิจัยนี้สามารถเตรียมอนุภาคโคโตซานโดยใช้สารเชื่อมโยง 2 ชนิด คือ โซเดียมไตรพอลิฟอสเฟต ($\text{Na}_5\text{P}_3\text{O}_{10}$, STPP) และโซเดียมโดเดซิลซัลเฟต ($\text{NaC}_{12}\text{H}_{25}\text{SO}_4$, SDS) เข้มข้น 3 4 5 และ 6% (w/v) อนุภาคโคโตซานที่เชื่อมโยงด้วยโซเดียมไตรพอลิฟอสเฟต (Chi-STPP) มีลักษณะเป็นเม็ดทรงกลม สีขาวเหลืองขุ่น ขนาดเล็ก และมีความคงตัวของรูปร่างลักษณะพื้นผิวภายในและภายนอก มีรูพรุนอยู่เป็นจำนวนมาก ส่วนอนุภาคโคโตซานที่เกิดจากสารเชื่อมโยงโซเดียมโดเดซิลซัลเฟต (Chi-SDS) มีลักษณะอนุภาคค่อนข้างเป็นทรงกลมแต่ไม่เป็นสมบูรณ์และมีการจับกันเป็นกลุ่มก้อน บางส่วนมีลักษณะเป็นแผ่นฟิล์มบางเชื่อมอนุภาคทรงกลมเข้าด้วยกัน อนุภาคมีสีเหลืองอ่อน ไม่คงตัว พื้นผิวภายนอกมีลักษณะหนาแน่น แต่ภายในจะเป็นช่องว่างการเพิ่มความเข้มข้นของสารเชื่อมโยงไม่ส่งผลให้เกิดความแตกต่างทางสัณฐานวิทยาของอนุภาคโคโตซานที่เตรียมได้

การบรรจุไขมันชั้นในอนุภาคโคโตซาน ซึ่งอนุภาค Chi-STPP มีความสามารถในการบรรจุไขมันชั้นในได้มากกว่าอนุภาค Chi-SDS เนื่องจากชนิดของสารเชื่อมโยงที่ส่งผลให้มีลักษณะโครงสร้างทางกายภาพของอนุภาคที่แตกต่างกันของ Chi-STPP และ Chi-SDS

การปลดปล่อยไขมันชั้นในจากอนุภาคโคโตซานในสารละลายจำลองสภาวะน้ำย่อยในกระเพาะอาหารค่า pH 1.2 ที่อุณหภูมิ 37°C เป็นเวลา 24 ชั่วโมง พบว่า Chi-STPP สามารถปลดปล่อยไขมันชั้นในออกมาได้ ~5% เทียบกับปริมาณเริ่มต้น ในขณะที่ Chi-SDS สามารถปลดปล่อยออกมาได้มากกว่าถึง ~50% เทียบกับปริมาณเริ่มต้น

5.2 ข้อเสนอแนะ

1. ควรปรับเปลี่ยนปริมาณของไขมันชั้นในที่ใช้ในการเตรียม เพื่อเพิ่มขีดจำกัดในการบรรจุไขมันชั้นในของอนุภาคโคโตซานทั้ง 2 ระบบ
2. ควรปรับเปลี่ยนตัวทำละลายไขมันชั้นในให้เหมาะสมมากขึ้นเพื่อเพิ่มประสิทธิภาพในการบรรจุไขมันชั้นใน ของอนุภาคโคโตซาน
3. ควรปรับเปลี่ยนวิธีการสังเคราะห์ให้เหมาะสม เนื่องจากการหยดโคโตซานอาจจะทำให้เกิดปฏิกิริยาการเชื่อมโยงที่ไม่สม่ำเสมอ
4. ควรศึกษาปัจจัยในการสังเคราะห์อนุภาคอื่น ๆ เช่น ความเข้มข้นของโคโตซาน อุณหภูมิ ระหว่างการสังเคราะห์อนุภาค
5. หากเลือกอนุภาค Chi-SDS บรรจุไขมันชั้นในในการทำเป็นยารักษาโรค ควรที่จะรับประทานเป็นยาหลังอาหาร เพื่อให้ไขมันชั้นในถูกดูดซึมพร้อมกรดไขมันที่อยู่ในอาหาร

เอกสารนี้เป็นเอกสารที่สงวนไว้สำหรับการใช้งานเพื่อการศึกษาเท่านั้น ไม่อนุญาตให้นำไปใช้ประโยชน์ด้านการค้าไม่ว่ากรณีใดๆ ทั้งสิ้น อีกทั้งห้ามมิให้ดัดแปลงเนื้อหา และต้องอ้างอิงถึงเจ้าของเอกสารทุกครั้งที่มีการนำไปใช้

เอกสารอ้างอิง

- [1] สำนักงานพัฒนาวิทยาศาสตร์และเทคโนโลยีแห่งชาติ. 2557. เทคโนโลยีระบบนำส่งกับการประยุกต์ใช้. [online]. Available : <http://www.nstda.or.th/stda-knowledge/22-knowledge/17128-nac2014-drug-delivery-system>. เข้าถึงเมื่อวันที่ 30 ตุลาคม 2558
- [2] กฤษณา ศิริเลิศมุกด. 2540. พอลิเมอร์กับระบบนำส่งยา. [online]. Available : <http://www.material.chula.ac.th/RADIO45/February/radio2-4.htm>. เข้าถึงเมื่อวันที่ 30 ตุลาคม 2558
- [3] กัมปนาท หวลบุตตา และ ธนิกานต์ แสงน้อม. 2556. “การประยุกต์ใช้พอลิเมอร์ที่ได้จากทรัพยากรทางทะเลในทางเภสัชกรรม.” *วารสารวิทยาศาสตร์บูรพา*. 18(2) : 263-273.
- [4] สุธิดา คงทอง. 2552. “ไคติน-ไคโตซาน (Chitin-Chitosan).” *วารสารวิชาการอุตสาหกรรมศึกษา*. 3(1) : 1-7.
- [5] ปิยทิพย์ พัวพันธ์. 2550. ขมิ้นชัน (Turmeric). [Online]. Available : <http://edtech.ipst.ac.th?p=1210>. เข้าถึงเมื่อวันที่ 17 ตุลาคม 2558
- [6] สาวิกา กัลปพฤกษ์, ผกายวรรณ กีก้อง, และสิทธิ กุหลาบทอง. 2556. “ไคโตซานในการเพาะเลี้ยงสัตว์น้ำ.” *วารสารวิชาการ Veridian E-Journal*. 6(2) : 984-993.
- [7] วิภา สุจินต์, พนิดา ชันแก้วหล้า และ Albert Schulte. 2557. *Electrochemical Biosensor Applications of Polysaccharides Chitin and Chitosan*. [Online]. Available : http://ird.sut.ac.th/irdnew/index.php?view=article&catid=22%3A%20news&id=624%3A2557&format=pdf&option=com_content&Itemid=164&lang=th. เข้าถึงเมื่อวันที่ 16 ตุลาคม 2558
- [8] ยุวพร อุปปะ. 2549. “การเตรียมอนุภาคทรงกลมของไคโตซานระดับไมครอนจากเปลือกกุ้งเพื่อใช้ในการงานทางโครมาโทกราฟี.” วิทยานิพนธ์วิทยาศาสตร์มหาบัณฑิต สาขาเคมีวิเคราะห์ ภาควิชาเคมี คณะวิทยาศาสตร์, สถาบันเทคโนโลยีพระจอมเกล้าเจ้าคุณทหารลาดกระบัง.
- [9] ณัฐกานต์ เจริญทรัพย์, วิสา บินมะหะหมัด, และสุวิตตรา แซ่มชื่น. 2548. “การผลิตแผ่นฟิล์มไคโตซานสำหรับปิดแผล.” โครงการพิเศษ สาขาเทคโนโลยีชีวภาพ คณะวิทยาศาสตร์, สถาบันเทคโนโลยีพระจอมเกล้าเจ้าคุณทหารลาดกระบัง.
- [10] สยามเคมี. 2549. *ไคโตซาน/ไคติน*. [online]. Available : <http://www.siamchemi.com/%E0%B9%84%E0%B9%82%E0%B8%95%E0%B8%8B%E0%B8%B2%E0%B8%99/>. เข้าถึงเมื่อวันที่ 16 ตุลาคม 2558
- [11] น้อย นิยมสา. 2556. “อนุภาคระดับไมโครของไคโตซานสำหรับใช้เป็นระบบนำส่งยาแบบควบคุมการปลดปล่อย.” *วารสารวิทยาศาสตร์บูรพา*. 18 : 281-287. เติมนำไปใช้ประโยชน์ด้านการค้าไม่ว่ากรณีใดๆ ทั้งสิ้น อีกทั้งห้ามมิให้ดัดแปลงเนื้อหา และต้องอ้างอิงถึงเจ้าของเอกสารทุกครั้งที่มีการนำไปใช้

- [12] วิทยา โชติรังสียากุล. 2545. โซเดียมไตรพอลิฟอสเฟต (STPP-Sodium tripolyphosphat). [Online]. Available : http://www.foodsolution.com/products/myproducts1index/chemical/chemical_000044.php. เข้าถึงเมื่อวันที่ 1 พฤศจิกายน 2558
- [13] Benrr101. 2015. Sodium tripolyphosphate. [Online]. Available : https://en.wikipedia.org/wiki/Sodium_triposphate. เข้าถึงเมื่อวันที่ 1 พฤศจิกายน 2558
- [14] วิชา ภูจินดา. 2549. มารู้อัจฉารลดแรงตึงผิวกันดีกว่า. [Online]. Available : <http://www.chemtrack.org/News-Detail.asp?TID=4&ID=3>. เข้าถึงเมื่อวันที่ 4 พฤศจิกายน 2558
- [15] จู. 2015. Sodium dodecyl sulfate. [Online]. Available : https://en.wikipedia.org/wiki/Sodium_dodecyl_sulfate. เข้าถึงเมื่อวันที่ 4 พฤศจิกายน 2558
- [16] จารุวรรณ ศรีอาภา. 2550. โครงสร้างทางเคมีของสารลดแรงตึงผิว. [Online]. Available : <http://olweb.pharm.su.ac.th/Chemistry-in-Life/d030.htm>. เข้าถึงเมื่อวันที่ 4 พฤศจิกายน 2558
- [17] เสาวนีย์ จักรพิทักษ์. 2532. สารชีวโมเลกุล. [Online]. Available : http://www.nakhamwit.ac.th/pingpong_web/BioMolecular.htm. เข้าถึงเมื่อวันที่ 4 พฤศจิกายน 2558
- [18] ปิยทิพย์ พัวพันธ์. 2557. ขมิ้นชัน (Turmeric). [Online]. Available : <http://edtech.ipst.ac.th/?p=1210>. เข้าถึงเมื่อวันที่ 15 พฤศจิกายน 2558
- [19] สมใจ ขจรชีพันธุ์งาม. 2549. อิทธิพลของอุณหภูมิ เวลา และตัวทำละลายที่มีต่อการสกัดสารเคอร์คูมินจากขมิ้นชัน. [Online]. Available : <http://www.en.kku.ac.th/enjournal/th/images/stories/files/published/33No3-3.pdf>. เข้าถึงเมื่อวันที่ 23 พฤศจิกายน 2558
- [20] พิมพ์เพ็ญ พรเฉลิมพงศ์ และนิธิยา รัตนาปนนท์. 2536. Turmeric/ขมิ้น. [Online]. Available : <http://www.foodnetworksolution.com/wiki/word/1889>. เข้าถึงเมื่อวันที่ 23 พฤศจิกายน 2558
- [21] โสมนัส ศิริจารุกุล. 2550. “การศึกษาประสิทธิภาพและผลข้างเคียงของขมิ้นชันเปรียบเทียบกับยา Ranitidine ในผู้ป่วย Uninvestigated Dyspepsia.” วิทยานิพนธ์เภสัชศาสตร์ มหาวิทยาลัยศิลปากร. ภาควิชาเภสัชกรรมคลินิก คณะเภสัชศาสตร์, มหาวิทยาลัยศิลปากร.

เอกสารนี้เป็นเอกสารที่สงวนไว้สำหรับการใช้งานเพื่อการศึกษาเท่านั้น ไม่อนุญาตให้นำไปใช้ประโยชน์ด้านการค้า
ไม่ว่ากรณีใดๆ ทั้งสิ้น อีกทั้งห้ามมิให้ดัดแปลงเนื้อหา และต้องอ้างอิงถึงเจ้าของเอกสารทุกครั้งที่มีการนำไปใช้

- [22] บัณฑิต พรหมรักษา, เตือนจิต คำพิทักษ์, ประณิธิ หงสประภาส และพัชรี บุญศิริ. 2557. **เทคนิคไมโครเอนแคปซูเลชันและบทบาททางการแพทย์.** [Online]. Available : http://www.smj.ejnal.com/ejournal/showdeail/showpdf.php?file_pdf=1845_13_Bundit.pdf&art_id=1845. เข้าถึงเมื่อวันที่ 30 พฤศจิกายน 2558
- [23] ศรัญญา พันปี. 2553. “การกักเก็บน้ำมันตะไคร้ด้วยไฮโดรเจลที่ตรึงด้วยวิธีการอบแห้งแบบพ่นฝอย.” วิทยานิพนธ์วิศวกรรมศาสตรบัณฑิต ภาควิชาวิศวกรรมเคมี, จุฬาลงกรณ์มหาวิทยาลัย.
- [24] Cetinus, S.A. and Saraydin, E.D. 2009. “Preparation of Cu(II) Adsorbed Chitosan Beads for Catalase Immobilization.” *Food Chemistry*. 114 : 962-969.
- [25] Meloni, A.C. and Maccioni, A.M. 2006. “Chitosan Beads Loaded with Essential Oils in Cosmetic Formulations.” *Journal of Cosmetic Science*. 57 : 205-214.
- [26] Kumar, S. Chauhan, N. Gopal, M. Kumar, R. and Dilbaghi. N. 2015. “Development and Evaluation of Alginate-chitosan Nanocapsules for Controlled Release of Acetamidiprid.” *International Journal of Biological Macromolecules*. 81 : 631-637.
- [27] Morris, G.A. Castile, J. Smith, A. Adums, G.G. and Harding, S.E. 2010. “The Effect of Prolonged Storage at Different Temperatures on The Particle Size Distribution of Tripolyphosphate (TPP) Chitosan Nanoparticles.” *Carbohydrate Polymer*. 84 : 1430-1434.
- [28] Wan, S. Sun, Y. Sun, L. and Tan, F. 2011. “Chitosan Microparticles for Oral Bioavailability Improvement of The Hydrophobic Drug Curcumin.” *Pharmia*. 67 : 525-528.
- [29] นลินา ประไพรักษ์สิทธิ์, และพริมา งามศิริ. 2550. “การเตรียมและศึกษาการปลดปล่อยแบบควบคุมของยาอะมิออกซิซิลลินจากปิดแอลจินต-ไคโตซาน.” *วารสารวิทยาศาสตร์ มศว*. 23(2) : 39-52.
- [30] Das, R.K. Kasoju, N. and Bpra, U. 2010. “Encapsulation of Curcumin in Alginate-Chitosan-pluronic Composite Nanoparticles for Delivery to Cancer Cells.” *Nanomedicine*. 6(1) : 153-160.
- [31] Shu, X.Z. and Zhu, K.J. 2000. “A Novel Approach to Prepare Tripolyphosphate/chitosan Complex Beads for Controlled Release Drug Delivery.” *International Journal of Pharmaceutics*. 201(1) : 51-58.

เอกสารนี้เป็นเอกสารที่สงวนไว้สำหรับการใช้งานเพื่อการศึกษาเท่านั้น ไม่อนุญาตให้นำไปใช้ประโยชน์ด้านการค้า ไม่ว่าจะกรณีใดๆ ทั้งสิ้น อีกทั้งห้ามมิให้ดัดแปลงเนื้อหา และต้องอ้างอิงถึงเจ้าของเอกสารทุกครั้งที่มีการนำไปใช้

- [32] Sowasod, N. Charinpanitkul, T. and Tanthapaichakoon, W. 2006. "Nanoencapsulation of Curcumin in Biodegradable Chitosan Via Multiple Emulsion/Solvent Evaporation." in **Thailand Material Science and Technology Conference 4th**. Bangkok : Chulalongkorn University.
- [33] Chatterjee, S. Salaun, F. Campagne, C. Vaupre, S. Beirao, A. and Achari. A.E. 2014. "Synthesis and Characterization of Chitosan Droplet Particles by Ionic Geletion and Phase Coecervation." *Polymer Bulletin*. 71(4) : 1001-1013.



เอกสารนี้เป็นเอกสารที่สงวนไว้สำหรับการใช้งานเพื่อการศึกษาเท่านั้น ไม่อนุญาตให้นำไปใช้ประโยชน์ด้านการค้า
ไม่ว่ากรณีใดๆ ทั้งสิ้น อีกทั้งห้ามมิให้ดัดแปลงเนื้อหา และต้องอ้างอิงถึงเจ้าของเอกสารทุกครั้งที่มีการนำไปใช้